



สมรรถนะของระบบอุปแห่งพลังงานแสงอาทิตย์แบบใช้ตู้อุบแห่งแบบคาดและแฝงรับรังสีดวงอาทิตย์ที่
เป็นหลังคาโรงเรือน

โดย
นายอาทิตย์ สารสมบูรณ์

วิทยานิพนธ์นี้เป็นส่วนหนึ่งของการศึกษาตามหลักสูตรปริญญาวิทยาศาสตรมหาบัณฑิต
สาขาวิชาพิสิกส์
ภาควิชาพิสิกส์
บัณฑิตวิทยาลัย มหาวิทยาลัยศิลปากร
ปีการศึกษา 2551
ลิขสิทธิ์ของบัณฑิตวิทยาลัย มหาวิทยาลัยศิลปากร

สมรรถนะของระบบอุปกรณ์พัฒนาและส่งอาทิตย์แบบใช้ตู้อบแห้งแบบภาคและแผงรับรังสีดวงอาทิตย์ที่
เป็นหลังคาโรงเรือน

โดย
นายอาทิตย์ สารสมบูรณ์

วิทยานิพนธ์นี้เป็นส่วนหนึ่งของการศึกษาตามหลักสูตรปริญญาวิทยาศาสตรมหาบัณฑิต
สาขาวิชาฟิสิกส์
ภาควิชาฟิสิกส์
บัณฑิตวิทยาลัย มหาวิทยาลัยศิลปากร
ปีการศึกษา 2551
ลิขสิทธิ์ของบัณฑิตวิทยาลัย มหาวิทยาลัยศิลปากร

**PERFORMANCE OF A SOLAR DRYING SYSTEM USING TRAY TYPE DRYING
CABINET AND ROOF - INTEGRATED SOLAR COLLECTOR**

By

Arthit Sansomboon

A Thesis Submitted in Partial Fulfillment of the Requirements for the Degree
MASTER OF SCIENCE
Department of Physics
Graduate School
SILPAKORN UNIVERSITY
2008

49306209 : สาขาวิชาฟิสิกส์

คำสำคัญ : พลังงานแสงอาทิตย์ / ระบบอบแห้งพลังงานแสงอาทิตย์ / แ朋รับรังสีคิวของอาทิตย์

อาทิตย์ สารสมบูรณ์ : สมรรถนะของระบบอบแห้งพลังงานแสงอาทิตย์แบบใช้ตู้อบแห้งแบบถูกต้องและแ朋รับรังสีคิวของอาทิตย์ที่เป็นหลักการโรงเรือน. อาจารย์ที่ปรึกษาวิทยานิพนธ์ : รศ. ดร.เสริม จันทร์ฉาย. 110 หน้า.

ในงานวิจัยนี้ ผู้วิจัยได้ทำการศึกษาสมรรถนะของระบบอบแห้งพลังงานแสงอาทิตย์แบบใช้ตู้อบแบบถูกต้องและแ朋รับรังสีคิวของอาทิตย์ที่เป็นหลักการโรงเรือน ตู้อบมีพื้นที่สำหรับวางผลิตภัณฑ์ 25.2 ตารางเมตร ส่วนแ朋รับรังสีคิวของอาทิตย์เป็นแบบแผ่นราบใช้อากาศเป็นตัวพาความร้อนและมีแผ่นโพลีคาร์บอเนตปิดด้านบน โดยแ朋รับรังสีคิวของอาทิตย์ซึ่งมีพื้นที่รวม 144 ตารางเมตรจะแบ่งเป็นสองແควาງอยู่บนโครงสร้างของหลังคารองเรือนที่มีพื้นที่ใช้สอยเท่ากับ 108 ตารางเมตร แ朋รับรังสีคิวของอาทิตย์ดังกล่าวทำหน้าที่เป็นหลักของโรงเรือนด้วย อากาศร้อนจากแ朋รับรังสีคิวของอาทิตย์ จะถูกดูดด้วยพัดลม 2 ตัว และเป่าเข้าไปยังตู้อบแห้งซึ่งวางอยู่ในโรงเรือน ดังกล่าว พัดลมดูดอากาศใช้กำลังไฟจากแ朋โซลาร์เซลล์ขนาด 50 วัตต์ 6 แผง ผู้วิจัยได้ทดสอบสมรรถนะของระบบอบแห้งดังกล่าวโดยการอบแห้งกาแฟจำนวน 3 ครั้งและอบแห้งพริกจำนวน 2 ครั้ง ผลการทดลองพบว่าเวลาที่ใช้ในการอบแห้งผลิตภัณฑ์ดังกล่าวเร็วกว่าการตากแดดตามธรรมชาติ และผลิตภัณฑ์ที่ได้มีคุณภาพดี นอกจากนี้พบว่าแ朋รับรังสีคิวของอาทิตย์ทำงานได้ดีทั้งในด้านการผลิตอากาศร้อนสำหรับอบแห้งและการเป็นหลักการโรงเรือน สุดท้ายผู้วิจัยได้ทำการสร้างแบบจำลองทางคณิตศาสตร์ของแ朋รับรังสีคิวของอาทิตย์และตู้อบแห้ง และนำแบบจำลองดังกล่าวมาคำนวณอุณหภูมิที่ออกจากแ朋รับรังสีคิวของอาทิตย์และความชื้นของผลิตภัณฑ์โดยพบว่าผลการคำนวณสอดคล้องกับผลที่ได้จากการทดลอง

49306209 : MAJOR : PHYSICS

KEY WORD : SOLAR ENERGY / SOLAR DRYER / SOLAR COLLECTOR

ARTHIT SANSOMBOON : PERFORMANCE OF A SOLAR DRYING SYSTEM USING TRAY TYPE DRYING CABINET AND ROOF - INTEGRATED SOLAR COLLECTOR. THESIS ADVISOR : ASSOC.PROF.SERM JANJAI, Ph.D. 110 pp.

In this work, the performance of a solar crop drying system comprising a drying tray cabinet and roof-integrated solar collectors was investigated. The drying cabinet is a parallel-flow tray type dryer with a drying area of 25.2 m^2 . Two arrays of the solar collectors with the total area of 144 m^2 were placed on the roof structure of a building with a working area of 108 m^2 . The solar collectors serve as both a roof of the building and solar air heaters of the drying system. The solar collectors supply hot air to the drying cabinet placed inside the building. Two dc-fans powered by six 50-watt solar cell modules were used to suck air from the solar collectors to the drying cabinet. Field-level tests for drying coffee and chili demonstrated that drying these products in this system resulted in a significant reduction of drying time as compared to natural sun drying. In addition, the solar collectors performed well both as the roof of the building and the solar air heaters. Finally, simulation models of the solar collectors and the drying cabinet were developed. The simulated air temperature at the outlet of the solar collectors agreed well with the measured temperature. The predicted and the observed moisture contents were also in good agreement.

กิตติกรรมประกาศ

ในการทำวิทยานิพนธ์นี้ ผู้วิจัยได้รับทุนผู้ช่วยวิจัยจากห้องปฏิบัติการวิจัยพลังงานแสงอาทิตย์ ซึ่งผู้วิจัยขอขอบคุณไว้ ณ ที่นี่เป็นอย่างสูง

ผู้วิจัยขอขอบคุณรองศาสตราจารย์ ดร. เสริม จันทร์ฉาย ซึ่งเป็นอาจารย์ที่ปรึกษาที่ได้ให้คำแนะนำในด้านวิชาการและจัดทำอุปกรณ์ที่ใช้ในการดำเนินงาน และขอขอบคุณรองศาสตราจารย์ จำนรงค์ ธรรมรงมาศ หัวหน้าภาควิชาฟิสิกส์ ที่ช่วยในการอำนวยความสะดวก สนับสนุนในด้านเครื่องมือและงานธุรการต่างๆ

ผู้วิจัยขอขอบคุณ รองศาสตราจารย์ ดร. ศิริชัย เทพา ที่กรุณาสละเวลาไปเป็นกรรมการสอบวิทยานิพนธ์

ผู้วิจัยขอขอบคุณ คุณ นิรุช ล้ำเลิศ และ คุณ ยุทธศักดิ์ บุญรอด ที่ช่วยแนะนำในการวัดและแบบจำลอง สุดท้ายนี้ ผู้วิจัยขอขอบคุณ คุณพ่อ คุณแม่ พี่ และญาติๆ ที่สนับสนุนและให้กำลังใจในการทำวิทยานิพนธ์ จนทำให้งานวิทยานิพนธ์นี้สำเร็จลุล่วงไปด้วยดี

สารบัญ

	หน้า
บทคัดย่อภาษาไทย.....	๑
บทคัดย่อภาษาอังกฤษ.....	๑
กิตติกรรมประกาศ.....	๗
สารบัญรูป.....	๘
สัญลักษณ์.....	๙
บทที่	
1 บทนำ.....	1
1.1 ความสำคัญและความเป็นมาของปัญหา.....	1
1.2 วัตถุประสงค์ของงานวิจัย.....	2
2 หลักการทางวิชาการและงานวิจัยที่เกี่ยวข้อง.....	3
2.1 หลักการพื้นฐานของเทคโนโลยีการอบแห้ง.....	3
2.1.1 สมบัติของวัตถุชีน.....	3
2.1.1.1 ความชื้นของวัตถุชีน.....	3
2.1.1.2 ลักษณะการเกาะตัวของน้ำบนวัตถุชีน.....	4
2.1.1.3 ความชื้นสมดุล	4
2.1.1.4 ความร้อนแห้ง.....	5
2.1.2 สมบัติของอากาศชีน	6
2.1.3 การอบแห้ง.....	7
2.1.4 ผลของตัวแปรต่างๆ ที่มีผลต่อการอบแห้ง.....	10
2.1.5 ประเภทของการอบแห้ง.....	11
2.2 การอบแห้งด้วยพลังงานแสงอาทิตย์	12
2.2.1 เครื่องอบแห้งแบบพาความร้อนตามธรรมชาติ.....	12
2.2.2 เครื่องอบแห้งแบบพาความร้อนโดยบังคับอากาศ.....	14
2.3 งานวิจัยและพัฒนาเครื่องอบแห้งพลังงานแสงอาทิตย์ที่ผ่านมา	15

บทที่

3 การดำเนินงานวิจัย.....	26
3.1 รายละเอียดของระบบอนแท้ 3.1.1 แรงรับรังสีคิวตอทิตี 3.1.2 ตู้อบแท้ 3.1.3 ระบบบายอากาศ.....	26 26 31 33
3.2 การทดสอบสมรรถนะเครื่องอบแท้..... 3.2.1 อุปกรณ์การวัดและบันทึกข้อมูล..... 3.2.2 วิธีการทดลอง..... 3.2.3 ผลการทดลอง..... ก) การทดลองอบกาแฟครั้งที่ 1 ข) การทดลองอบกาแฟครั้งที่ 2..... ค) การทดลองอบกาแฟครั้งที่ 3..... ง) การทดลองอบพริกครั้งที่ 1.... จ) การทดลองอบพริกครั้งที่ 2..... 3.3.4 สรุปผลการทดลอง.....	38 34 39 41 41 45 49 53 56 60
4 การทดสอบระบบอบแท้และการพัฒนาแบบจำลองทางคณิตศาสตร์..... 4.1 การสร้างแบบจำลองทางคณิตศาสตร์..... 4.1.1 แบบจำลองของแรงรับรังสีคิวตอทิตี..... 4.1.2 แบบจำลองของตู้อบแท้.....	61 61 72
4.2 การทดสอบแบบจำลอง.....	78
5 สรุป.....	85
บรรณานุกรม.....	87
ภาคผนวก.....	90
ประวัติผู้วิจัย.....	119

สารบัญรูป

รูปที่		หน้า
2.1	แสดงแผนภูมิน้ำประเกทต่างๆ ในวัตถุชิ้น.....	4
2.2	แสดง sorption isotherm ของผลิตผลการเกษตรทั่วไป.....	5
2.3	แสดงการเปรียบเทียบความร้อนแห้งของผลิตผลการเกษตร.....	5
2.4	แสดงแผนภูมิอากาศชิ้น และการเปลี่ยนแปลงสมบัติของอากาศที่ใช้ในการอบแห้ง....	7
2.5	แสดงการถ่ายเทmv และความร้อนในการอบแห้ง.....	8
2.6	แสดงการลดลงของความชื้นในการอบแห้งผลิตผลการเกษตรทั่วไป.....	9
2.7	แสดงอัตราการแห้งของผลิตผลการเกษตรระหว่างการอบแห้ง.....	9
2.8	แสดงเครื่องอบแห้งแบบรับแสงอาทิตย์โดยตรง.....	13
2.9	แสดงเครื่องอบแห้งแบบรับพลังงานแสงอาทิตย์ทางอ้อม.....	13
2.10	แสดงเครื่องอบแห้งแบบรับพลังงานแสงอาทิตย์โดยตรง และใช้พัดลมดูดอากาศ.....	14
2.11	แสดงเครื่องอบแห้งแบบรับพลังงานแสงอาทิตย์ทางอ้อมและใช้พัดลมดูดอากาศ.....	15
2.12	แสดงเครื่องอบแห้งที่พัฒนาขึ้นโดย Exell และ Kornnsakoo (1976).....	16
2.13	แสดงเครื่องอบแห้งที่พัฒนาโดย Wibulsawas และคณะ (1977).....	16
2.14	แสดงเครื่องอบแห้งแบบตู้ที่พัฒนาโดย Wibulsawas และ Thaina (1980).....	17
2.15	แสดงโรงบ่มใบยาสูบซึ่งใช้พลังงานแสงอาทิตย์เป็นพลังงานเสริม (Boon-Long et al., 1984).....	18
2.16	แสดงเครื่องอบแห้งที่พัฒนาโดย Thongprasert และคณะ (1985).....	18
2.17	แสดงชุดเก็บและอบแห้งข้าวซึ่งพัฒนาขึ้นโดย Soponronnarit และคณะ (1986).....	19
2.18	แสดงชุดเก็บและอบแห้งข้าวที่พัฒนาขึ้นโดย Praditwong และ Janjai (1990).....	20
2.19	แสดงเครื่องอบแห้งที่พัฒนาขึ้นโดย Rakwichian และ Sudaprasert (1990).....	21
2.20	แสดงแสดงโรงอบแห้งที่พัฒนาขึ้นโดย Exell (1990).....	21
2.21	แสดงเครื่องอบแห้งที่พัฒนาขึ้นโดย ณัฐวุฒิ คุณวี (2534).....	22
2.22	แสดงเครื่องอบแห้งพลังงานแสงอาทิตย์ที่พัฒนาขึ้นโดย Janjai และ Tung (2005).....	23
2.23	แสดงโครงสร้างระบบอบแห้งแบบใช้ความร้อนจากแสงรั่วสีดวงอาทิตย์ส่วนที่เป็น หลังคาโรงเรือน.....	24
2.24	แสดงตู้อบแห้งภายในโรงอบแห้ง.....	25

รูปที่	หน้า
3.2 แสดงลักษณะของภายในแพงรับรังสีคิววอทิตย์ที่ใช้ประกอบเป็นหลังคาโรงเรือน.....	27
3.3 แสดงลักษณะส่วนประกอบแพงรับรังสีคิววอทิตย์ที่ใช้ประกอบเป็นหลังคาโรงเรือน	28
3.4 แพงรับรังสีคิววอทิตย์ที่อยู่บนโครงสร้างของโรงอบแห้ง	28
3.5 แสดงภาพถ่ายของห้องอากาศที่แนววรรณของแพงรับรังสีคิววอทิตย์ทั้งสองด้าน.....	29
3.6 แสดงขนาดและตำแหน่งของพื้นที่ใช้สอยในโรงอบแห้ง	29
3.7 แสดงลักษณะของโรงอบแห้ง.....	30
3.8 แสดงภาพถ่ายลักษณะของโรงอบแห้ง.....	30
3.9 แสดงลักษณะของตู้อบแบบถาด.....	31
3.10 แสดงภาพถ่ายของตู้อบแบบและถาดวางผลิตภัณฑ์.....	32
3.10 แสดงภาพถ่ายของตู้อบแห้งที่อยู่ภายใต้ภายในโรงอบ	32
3.11 แสดงห้องอากาศของระบบอบแห้งและทิศทางการไหลของอากาศ.....	33
3.12 แสดงภาพถ่ายของแพงโซล่าเซลล์ที่ติดตั้งบริเวณชายคาของโรงอบแห้ง.....	34
3.13 แสดงตำแหน่งของจุดที่ทำการวัดอุณหภูมิบันแพงรับรังสีคิววอทิตย์.....	35
3.14 แสดงตำแหน่งของจุดที่ทำการวัดอุณหภูมิและความชื้นสัมพัทธ์ภายในเครื่องอบ	35
3.15 แสดงภาพถ่ายเครื่องวัดความชื้นสัมพัทธ์ยี่ห้อ Electronik รุ่น EE23	36
3.16 แสดงภาพถ่ายเครื่องวัดความเร็วลมแบบ hot wire ยี่ห้อ Airflow รุ่น TA5	37
3.17 แสดงภาพถ่ายไฟโรโนมิเตอร์ ยี่ห้อ KIPP&ZONEN รุ่น CM3	37
3.18 แสดงภาพถ่ายเครื่องบันทึกข้อมูล ยี่ห้อ Yokogawa รุ่น DC100	39
3.19 แสดงภาพถ่ายตู้อบไฟฟ้า ยี่ห้อ Fisher Scientific รุ่น ISOTEMP	39
3.20 แสดงภาพถ่ายเครื่องซึ่งน้ำหนักแบบดิจิตอล ยี่ห้อ Sartorius รุ่น E2000 D	40
3.21 แสดงการประค่าความเข้มรังสีคิววอทิตย์ของแพงรับรังสีคิววอทิตย์บนหลังคาด้าน ทิศเหนือและใต้จากการทดลองครั้งที่ 1 ระหว่างวันที่ 9-10 ธันวาคม พ.ศ.2550 .	41
3.22 แสดงการประค่าของอุณหภูมิอากาศเวคลีล์ และอุณหภูมิอากาศที่ออกจากการแพงรับ รังสีคิววอทิตย์ทางด้านทิศใต้	42
3.23 แสดงการประค่าของอุณหภูมิอากาศเวคลีล์ และอุณหภูมิอากาศที่ออกจากการแพงรับ รังสีคิววอทิตย์ทางด้านทิศเหนือ	42

รูปที่		หน้า
3.24	แสดงการแปรค่าของอุณหภูมิที่เข้าและออกจากตู้อบแห้ง	43
3.25	แสดงการแปรค่าความชื้นสัมพัทธ์ของอากาศแวดล้อม อากาศที่ไอลเข้าตู้อบและอากาศที่ไอลออกจากตู้อบแห้ง	43
3.26	แสดงการเปรียบเทียบความชื้นกับเวลาของการไฟที่อบโดยตู้อบแห้งและตากแดด ตามธรรมชาติ.....	44
3.27	แสดงการแปรค่าของความชื้นรังสีคงอาทิตย์ของแผงรับรังสีคงอาทิตย์บนหลังคา ด้านทิศเหนือและใต้	46
3.28	แสดงการแปรค่าของอุณหภูมิอากาศแวดล้อม และอุณหภูมิอากาศที่ออกจากแผงรับ รังสีคงอาทิตย์ทางด้านทิศใต้	46
3.29	แสดงการแปรค่าของอุณหภูมิอากาศแวดล้อม และอุณหภูมิอากาศที่ออกจากแผงรับ รังสีคงอาทิตย์ทางด้านทิศเหนือ	47
3.30	แสดงการแปรค่าของอุณหภูมิที่เข้าและออกจากตู้อบแห้ง	47
3.31	แสดงการแปรค่าความชื้นสัมพัทธ์ของอากาศแวดล้อม อากาศที่ไอลเข้าตู้อบ และอากาศที่ไอลออกจากตู้อบแห้ง	48
3.32	แสดงการเปรียบเทียบความชื้นกับเวลาของการไฟที่อบโดยตู้อบแห้งและตากแดด ตามธรรมชาติ.....	48
3.33	แสดงการแปรค่าของความชื้นรังสีคงอาทิตย์ของแผงรับรังสีคงอาทิตย์บนหลังคา ด้านทิศเหนือและใต้	50
3.34	แสดงการแปรค่าของอุณหภูมิอากาศแวดล้อม และอุณหภูมิอากาศที่ออกจากแผงรับ รังสีคงอาทิตย์ทางด้านทิศใต้	50
3.35	แสดงการแปรค่าของอุณหภูมิอากาศแวดล้อม และอุณหภูมิอากาศที่ออกจากแผง รับรังสีคงอาทิตย์ทางด้านทิศเหนือ	51
3.36	แสดงการแปรค่าของอุณหภูมิที่เข้าและออกจากตู้อบแห้ง	51
3.37	แสดงการแปรค่าความชื้นสัมพัทธ์ของอากาศแวดล้อม อากาศที่ไอลเข้าตู้อบ และอากาศที่ไอลออกจากตู้อบแห้ง.....	52
3.38	แสดงการเปรียบเทียบความชื้นกับเวลาของการไฟที่อบโดยตู้อบแห้งและตากแดด ตามธรรมชาติ.....	52

รูปที่		หน้า
3.39	แสดงการแปรค่าของอุณหภูมิอากาศแวดล้อม และอุณหภูมิอากาศที่ออกจากเพง รับรังสีคงอาทิตย์ทางด้านทิศเหนือและใต้	53
3.40	แสดงการแปรค่าของอุณหภูมิอากาศแวดล้อม และอุณหภูมิอากาศที่ออกจากเพง รับรังสีคงอาทิตย์ทางด้านทิศเหนือ	54
3.41	แสดงการแปรค่าของอุณหภูมิที่เข้าและออกจากตู้อบแห้ง	54
3.42	แสดงการแปรค่าความชื้นสัมพัทธ์ของอากาศแวดล้อม อากาศที่ไอลเข้าตู้อบแห้ง และอากาศที่ไอลออกจากตู้อบแห้ง.....	55
3.43	แสดงการเปรียบเทียบความชื้นกับเวลาของกาแฟที่อบโดยตู้อบแห้งและตาดคเดค ตามธรรมชาติ.....	55
3.44	แสดงการแปรค่าของความเข้มรังสีคงอาทิตย์ของแสงรับรังสีคงอาทิตย์บนหลังคา ด้านทิศเหนือและใต้	57
3.45	แสดงการแปรค่าของอุณหภูมิอากาศแวดล้อม และอุณหภูมิอากาศที่ออกจากเพงรับ รังสีคงอาทิตย์ทางด้านทิศใต้	57
3.46	แสดงการแปรค่าของอุณหภูมิอากาศแวดล้อม และอุณหภูมิอากาศที่ออกจากเพงรับ รังสีคงอาทิตย์ทางด้านทิศเหนือ	58
3.47	แสดงการแปรค่าของอุณหภูมิที่เข้าและออกจากตู้อบแห้ง.....	58
3.48	แสดงการแปรค่าความชื้นสัมพัทธ์ของอากาศแวดล้อม อากาศที่ไอลเข้าตู้อบแห้ง และอากาศที่ไอลออกจากตู้อบแห้ง.....	59
3.49	แสดงเปรียบเทียบความชื้นกับเวลาของพริกที่อบในตู้อบแห้งและตาดคเดคตามธรรมชาติ	59
4.1	แสดงการส่งผ่านความร้อนในเพงรับรังสีคงอาทิตย์ของระบบอบแห้ง	62
4.2	แสดงการแบ่งองค์ประกอบของเพงรับรังสีออกเป็นส่วนย่อยตามทิศทางการไอล ของอากาศ	69
4.3	แสดงแผนภูมิขั้นตอนการทำงานของโปรแกรมคอมพิวเตอร์สำหรับส่วนเพงรับรังสี.	71
4.4	แสดงการถ่ายเทความร้อนและมวลภายในตู้อบแห้ง.....	72
4.5	แสดงการแปรค่าอุณหภูมิอากาศบริเวณทางออกของเพงรับรังสีคงอาทิตย์ที่ได้จากแบบ จำลองและจากผลการทดลองของกาแฟระหว่างวันที่ 9-10 ธันวาคม 2550.....	76
4.6	แสดงการแปรค่าอุณหภูมิอากาศบริเวณทางออกของเพงรับรังสีคงอาทิตย์ที่ได้จากแบบ จำลองและจากผลการทดลองของกาแฟระหว่างวันที่ 16-17 ธันวาคม 2550.....	77

รูปที่	หน้า
4.7 แสดงการแปรค่าอุณหภูมิอากาศบริเวณทางออกของแพงรับรังสีดวงอาทิตย์ที่ได้จากแบบ จำลองและจากผลการทดลองอนภาคแฟร์ระหว่างวันที่ 19-20 ธันวาคม 2550.....	77
4.8 แสดงการแปรค่าอุณหภูมิอากาศ บริเวณทางออกของแพงรับรังสีดวงอาทิตย์ที่ได้จากแบบ จำลองและจากผลการทดลองอนพิริยะระหว่างวันที่ 17-19 กันยายน 2550.....	78
4.9 แสดงการแปรค่าอุณหภูมิอากาศบริเวณทางออกของแพงรับรังสีดวงอาทิตย์ที่ได้จากแบบ จำลองและจากผลการทดลองอนพิริยะระหว่างวันที่ 22-24 ธันวาคม 2550	78
4.10 แสดงผลการคำนวณความชื้นของผลิตภัณฑ์ (กาแฟ) ที่อบแห้ง โดยอาศัยแบบจำลอง เมื่อเปรียบเทียบกับค่าที่ได้จากการวัด ในช่วงวันที่ 9-10 ธันวาคม 2550	79
4.11 ผลการคำนวณความชื้นของผลิตภัณฑ์ (กาแฟ) ที่อบแห้ง โดยอาศัยแบบจำลอง เมื่อเปรียบเทียบกับค่าที่ได้จากการวัด ในช่วงวันที่ 16-17 ธันวาคม 2550	79
4.12 แสดงตัวอย่างผลการคำนวณความชื้นของผลิตภัณฑ์ (กาแฟ) ที่อบแห้ง โดยอาศัยแบบ จำลองเมื่อเปรียบเทียบกับค่าที่ได้จากการวัดในช่วงวันที่ 19-20 ธันวาคม 2550	80
4.13 ผลการคำนวณความชื้นของผลิตภัณฑ์(พริก)ที่อบแห้ง โดยอาศัยแบบจำลอง เมื่อเปรียบเทียบกับค่าที่ได้จากการวัด ในช่วงวันที่ 17-19 กันยายน 2550	80
4.14 แสดงตัวอย่างผลการคำนวณความชื้นของผลิตภัณฑ์(พริก)ที่อบแห้งโดยอาศัยแบบ จำลองเมื่อเปรียบเทียบกับค่าที่ได้จากการวัด ในช่วงวันที่ 22-24 กันยายน 2550	81

ສัญลักษณ์

A_c	=	พื้นที่รับแสงของแผงรับรังสีความอาทิตย์ [m ²]
A_N	=	ขนาดพื้นที่แผงรับรังสีความอาทิตย์ด้านทิศเหนือ [m ²]
A_s	=	ขนาดพื้นที่แผงรับรังสีความอาทิตย์ด้านทิศใต้ [m ²]
C_a	=	ความร้อนจำเพาะของอากาศแวดล้อม [kJ/kg°C]
C_b	=	ความจุความร้อนจำเพาะของแผ่นดูดกลืนรังสี [kJ/kg°C]
C_c	=	ความจุความร้อนจำเพาะของแผ่นผวนวนโปร่งแสง [kJ/kg°C]
C_f	=	ความจุความร้อนจำเพาะของอากาศภายในแผงรับรังสี [kJ/kg°C]
C_p	=	ความร้อนจำเพาะของผลิตภัณฑ์ [kJ/kg°C]
C_v	=	ความจุความร้อนจำเพาะของไอน้ำ [kJ/kg°C]
C_w	=	ความร้อนจำเพาะของน้ำ [kJ/kg°C]
D_c	=	ระยะระหว่างแผ่นดูดกลืนรังสีกับแผ่นผวนวนโปร่งแสง [m]
G_c	=	อัตราการไหลต่อพื้นที่ของอากาศภายในแผงรับรังสี [kg/s-m ²]
G_d	=	อัตราการไหลต่อพื้นที่ของอากาศภายในตู้อบ [kg/s-m ²]
H	=	อัตราส่วนความชื้นของอากาศอบแห้ง [kg/kg]
$h_{c,b-f}$	=	สัมประสิทธิ์การพาความร้อนระหว่างแผ่นดูดกลืนรังสีกับอากาศอบแห้ง [W/m ² -K]
$h_{c,c-f}$	=	สัมประสิทธิ์การพาความร้อนระหว่างผวนวนโปร่งแสงกับอากาศอบแห้ง [W/m ² -K]
$h_{c,p-f}$	=	สัมประสิทธิ์การพาความร้อนระหว่างผลิตภัณฑ์กับอากาศอบแห้ง [W/m ² -K]
h_{fg}	=	ความร้อนแห้งของการกลایเป็นไอน้ำ [kJ/kg]
$h_{r,b-c}$	=	สัมประสิทธิ์การแผ่รังสีระหว่างแผ่นดูดกลืนรังสีกับผวนวนโปร่งแสง [W/m ² -K]
$h_{r,c-s}$	=	สัมประสิทธิ์การแผ่รังสีจากผวนวนโปร่งแสงไปยังห้องฟ้า [W/m ² -K]
h_w	=	สัมประสิทธิ์การสูญเสียความร้อนเนื่องจากลม [W/m ² -K]
I_N	=	ความเข้มแสงอาทิตย์ที่ต่อกกระถินนแผงรับรังสีด้านทิศเหนือ [W/m ²]
I_s	=	ความเข้มแสงอาทิตย์ที่ต่อกกระถินนแผงรับรังสีด้านทิศใต้ [W/m ²]

I_t	=	ความเข้มรังสีดูองอาทิตย์ที่เวลาใดๆ [W/m ²]
k	=	ค่าสภาพการนำความร้อนของอากาศ [W/m-K]
L_p	=	ความร้อนแห่งของการก่อลายเป็นไอกองน้ำในผลิตภัณฑ์ [J/kg]
M	=	อัตราส่วนความชื้นของผลิตภัณฑ์ [%]
M_d	=	ความชื้นฐานแห้ง [kg/kg]
M_e	=	ความชื้นสมดุลของผลิตภัณฑ์ [%]
M_0	=	ความชื้นเริ่มต้นของผลิตภัณฑ์ [%]
M_w	=	ความชื้นฐานเปียก [kg/kg]
$M(t)$	=	ความชื้นขณะเวลาใดๆ [%]
m_w	=	ปริมาณน้ำที่ต้องการระเหย [kg]
m	=	อัตราการไหลของมวลอากาศ [kg/s]
$P_{v,sur}$	=	ความดันของไอน้ำที่ผิวติดตู [Pa]
P_v	=	ความดันไอน้ำในอากาศ [Pa]
S	=	พื้นที่หน้าตัดของตู้อบที่ตั้งฉากกับทิศการไหลของอากาศ [m]
t	=	เวลา [s]
T_a	=	อุณหภูมิของอากาศแวดล้อม [K]
T_b	=	อุณหภูมิของแผ่นดูดกลืนรังสี [K]
T_c	=	อุณหภูมิของแผ่นชนวนโปรดร่วงแสง [K]
T_{fc}	=	อุณหภูมิของอากาศภายในแพลงรับรังสี [K]
T_{fa}	=	อุณหภูมิของอากาศภายในตู้อบ [K]
T_p	=	อุณหภูมิของผลิตภัณฑ์ [K]
T_s	=	อุณหภูมิห้องพื้น [K]
ΔT	=	ผลต่างของอุณหภูมิที่ไหลออกจากการแพลงรับรังสีดูองอาทิตย์กับอุณหภูมิที่ไหลเข้าแพลงรับรังสีดูองอาทิตย์ [K]
v	=	ความเร็วลม [m/s]
W_c	=	ความกว้างของแพลงรับรังสี [m]
W_d	=	ความยาวของคาด (m)
η	=	ค่าประสิทธิภาพของแพลงรับรังสีดูองอาทิตย์ (%)

α_c	=	สัมประสิทธิ์การดูดกลืนรังสีของแผ่นชนวน ไปร่องแสง [decimal]
δ_b	=	ความหนาของแผ่นดูดกลืนรังสี [m]
δ_c	=	ความหนาของแผ่นชนวน ไปร่องแสง [m]
ρ	=	ความหนาแน่นของอากาศ [kg/m^3]
ρ_b	=	ความหนาแน่นของแผ่นดูดกลืนรังสี [kg/m^3]
ρ_c	=	ความหนาแน่นของแผ่นชนวน ไปร่องแสง [kg/m^3]
$\rho_{s,p}$	=	ความหนาแน่นเชิงพื้นที่ของผลิตภัณฑ์แห้ง [$\text{kg}_{\text{solid}}/\text{m}^2$]
σ	=	ค่าคงที่สเตฟานไอลต์มานน์
ε_c	=	สัมประสิทธิ์การแผ่รังสีของแผ่นชนวน ไปร่องแสง [decimal]
ε_b	=	สัมประสิทธิ์การแผ่รังสีของแผ่นดูดกลืนรังสี [decimal]

บทที่ 1

บทนำ

1.1 ความสำคัญและความเป็นมาของปัจจุบัน

ประเทศไทยในแถบเอเชียตะวันออกเฉียงใต้เป็นผู้ผลิตและส่งออกผลิตภัณฑ์การเกษตร เขตร้อนที่สำคัญของโลก ผลิตภัณฑ์การเกษตรที่สำคัญได้แก่ ข้าวพืช ผักและผลไม้เมืองร้อนรวมถึง เครื่องเทศและสมุนไพร ผลิตภัณฑ์การเกษตรเหล่านี้ส่วนใหญ่ต้องแปรรูปด้วยการตากแห้งหรือ อบแห้งก่อนการบริโภคก่อนส่งไปจำหน่ายในประเทศหรือต่างประเทศ เกษตรกรและผู้ประกอบการส่วนใหญ่ในประเทศไทยเหล่านี้ยังคงใช้วิธีตากแดดผลิตผลตามธรรมชาติ ถึงแม้ว่าวิธีการ ตากแห้งดังกล่าวจะไม่เสียค่าใช้จ่ายหรือมีค่าใช้จ่ายเพียงเล็กน้อย แต่ผลิตภัณฑ์จะเสียหายระหว่าง การตากแห้ง เนื่องจากการเปียกฝน การรบกวนจากสัตว์และแมลงต่างๆ ทำให้ผลิตภัณฑ์ตากแห้งที่ได้มีคุณภาพต่ำ และบางครั้งอาจเกิดเชื้อราและสารพิษจำพวกฟองหอกซิล ซึ่งเป็นอันตรายต่อ สุขภาพ ถึงแม้ว่าในบางประเทศเริ่มมีการใช้เครื่องอบแห้งเชิงกล (mechanical dryer) แต่เครื่อง อบแห้งดังกล่าวมักมีราคาแพงและต้องใช้น้ำมันหรือแก๊สเป็นเชื้อเพลิงซึ่งมีราคาเพิ่มขึ้นเรื่อยๆ นอกจากนี้การใช้เชื้อเพลิงดังกล่าวยังก่อให้เกิดมลพิษกับสิ่งแวดล้อมด้วย

เนื่องจากประเทศไทยในแถบเอเชียตะวันออกเฉียงใต้ตั้งอยู่ในแถบศูนย์สูตรจึงได้รับ พลังงานแสงอาทิตย์ค่อนข้างสูง (Janjai et al, 2005; Janjai, 2007; Janjai, 2008) ดังนั้นการใช้ เทคโนโลยีอบแห้งพลังงานแสงอาทิตย์จึงมีความเป็นไปได้ทั้งเชิงเทคนิคและเชิงเศรษฐศาสตร์ ก่อนข้างสูงเมื่อเปรียบเทียบการพัฒนาเทคโนโลยีการอบแห้งพลังงานแสงอาทิตย์ในประเทศไทย เอเชียตะวันออกเฉียงใต้ ประเทศไทยถือว่าเป็นประเทศที่มีความก้าวหน้าทางด้านพลังงาน แสงอาทิตย์มากกว่าประเทศอื่นๆ ดังนั้นในโครงการความร่วมมือระหว่างประเทศไทยกับประเทศไทย สาธารณรัฐประชาชนดีปัตย์ประชาชนลาว (สปป.ลาว) ด้านพลังงานทดแทนและอนุรักษ์พลังงาน กรมพัฒนาพลังงานทดแทนจึงได้ร่วมมือกับมหาวิทยาลัยศิลปากรทำการพัฒนาระบบอบแห้ง พลังงานแสงอาทิตย์เพื่อสาขางานในประเทศไทย สปป.ลาว โดยในโครงการดังกล่าวมีมหาวิทยาลัย ศิลปากรทำการจัดสร้างระบบอบแห้งพลังงานแสงอาทิตย์แบบใช้ตู้อบแห้งแบบคาดและแผงรับรังสี ดวงอาทิตย์ที่เป็นหลักการเรียนที่วิทยาลัยเกษตรและป่าไม้จำปาสัก เมืองปากเซ แขวงจำปาสัก ประเทศไทย สปป.ลาว ผู้วิจัยได้ทำการทดสอบสมรรถนะและสร้างแบบจำลองทางคณิตศาสตร์ของ ระบบอบแห้งดังกล่าว ซึ่งจะได้นำเสนอในวิทยานิพนธ์นี้

1.2 วัตถุประสงค์ของงานวิจัย

- 1) เพื่อทดสอบสมรรถนะของระบบอุปกรณ์พลังงานแสงอาทิตย์แบบใช้ศูนย์แห้งแบบดาด
และแ朋รับรังสีดวงอาทิตย์ที่เป็นหลักการโรงเรือน
- 2) เพื่อสร้างแบบจำลองทางคณิตศาสตร์ของระบบอุปกรณ์ดังกล่าว

บทที่ 2

หลักการทางวิชาการและงานวิจัยที่เกี่ยวข้อง

ในบทนี้จะกล่าวถึงหลักการทางวิชาการพื้นฐานของเทคโนโลยีการอบแห้งผลิตผลทางการเกษตร และงานวิจัยพัฒนาเครื่องอบแห้งพลังงานแสงอาทิตย์ที่ผ่านๆ มาตามรายละเอียดดังนี้

2.1 หลักการพื้นฐานของเทคโนโลยีการอบแห้ง

2.1.1 สมบัติของวัตถุชื้น (properties of moist materials)

2.1.1.1 ความชื้นของวัตถุชื้น

วัตถุชื้นประกอบด้วยของแข็ง (solid materials) และความชื้น โดยทั่วไปเป็นน้ำในสถานะของเหลว เราสามารถคบกปริมาณความชื้นของวัตถุชื้นในรูปของความชื้นมาตรฐานเปียกหรือมาตรฐานแห้ง ดังนี้

$$M_w = \frac{m_w}{m_w + m_s} \quad (2.1)$$

$$M_d = \frac{m_w}{m_s} \quad (2.2)$$

เมื่อ M_w = ความชื้นมาตรฐานเปียก [kg/kg]

M_d = ความชื้นมาตรฐานแห้ง [kg/kg]

m_w = มวลของของน้ำ ในปริมาตรที่พิจารณา [kg]

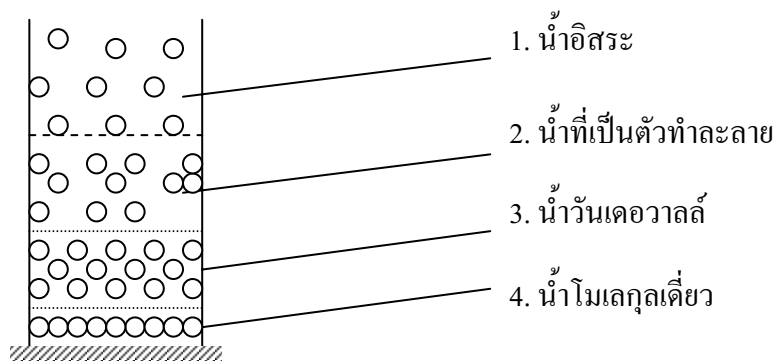
m_s = มวลของของแข็ง ในปริมาตรที่พิจารณา [kg]

ความชื้นมาตรฐานเปียกมักนิยมใช้ในทางการค้า และสำหรับความชื้นมาตรฐานแห้ง มักใช้ในการคำนวณ และการศึกษาในเชิงวิทยาศาสตร์

2.1.1.2 สักษณะการเกาะตัวของน้ำในวัตถุชิ้น

น้ำที่เกาะตัวกับของแข็งในวัตถุชิ้นสามารถแบ่งได้เป็น 4 ชนิด คือ

- 1) น้ำอิสระ (free water)
- 2) น้ำที่เป็นตัวทำละลาย (solvent water)
- 3) น้ำที่เกาะตัวโดยแรงดึงดูดวาล์ล์ (water attached with Van de Waal force)
- 4) น้ำโมเลกุลเดี่ยว (mono-molecular water)

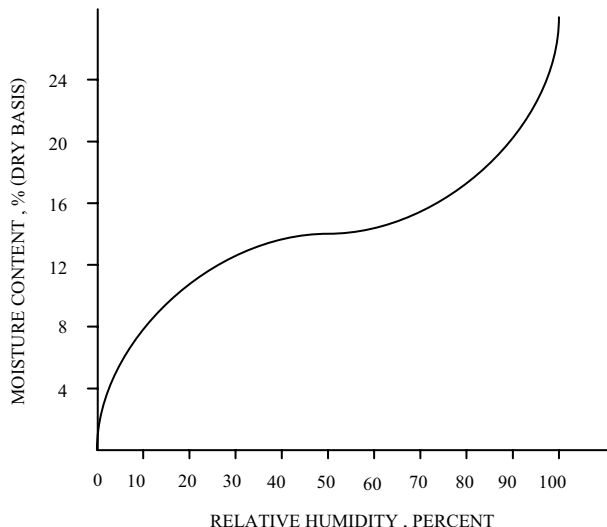


รูปที่ 2.1 แผนภูมิน้ำประเกทต่างๆ ในวัตถุชิ้น

การเกาะของน้ำอิสระจะอยู่ที่ชั้นนอกสุดของผิวดองแข็ง ส่วนน้ำแบบอื่นจะอยู่ถัดลงมาจนถึงน้ำแบบน้ำโมเลกุลเดี่ยว ซึ่งอยู่ที่บริเวณผิวสัมผัสของของแข็ง ในการแยกน้ำแบบอิสระจะใช้พลังงานน้อยที่สุด ส่วนน้ำแบบโมเลกุลเดี่ยวต้องใช้พลังงานในการแยกน้ำออกจากวัตถุชิ้นมากที่สุด

2.1.1.3 ความชื้นสมดุล (equilibrium moisture content)

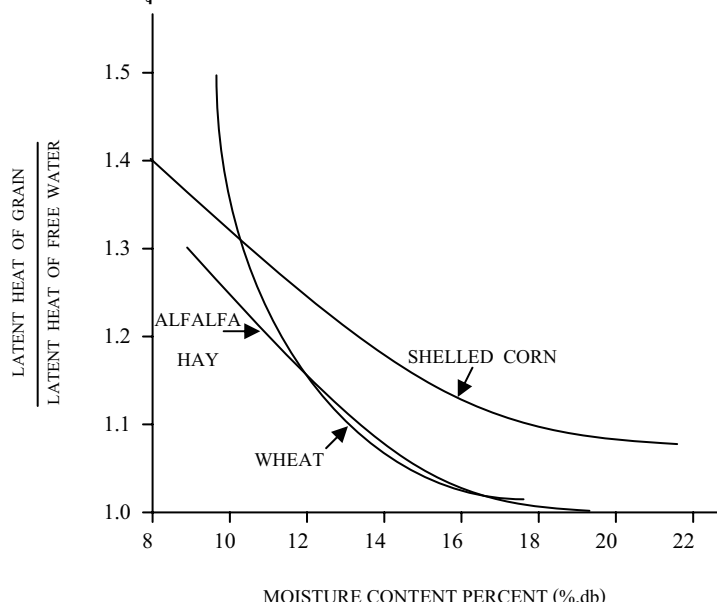
วัตถุชิ้นจะมีการดูดและปล่อยความชื้นจากอากาศรอบๆ จนกระทั่งความชื้นมีค่าคงที่หรืออยู่ในสภาวะสมดุลกับอากาศแล้วล้มเรียกว่าความชื้นที่平衡 (equilibrium moisture content) ความชื้นสมดุลจะขึ้นกับธรรมชาติของวัตถุ อุณหภูมิ และความชื้นสัมพันธ์ของอากาศ ซึ่งสามารถหาได้โดยการทดลอง โดยทั่วไปกราฟที่แสดงความสัมพันธ์ระหว่างความชื้นสมดุลกับความชื้นสัมพันธ์ของอากาศในสภาวะสมดุลที่อุณหภูมิก็ที่ จะเรียกว่า sorption isotherm ซึ่งของผลิตผลการเกษตรส่วนใหญ่จะมีลักษณะเป็นกราฟรูป sigmoid ดังตัวอย่างในรูปที่ 2.2



รูปที่ 2.2 กราฟแสดง sorption isotherm ของผลิตผลการเกษตรทั่วไป

2.1.1.4 ความร้อนแฝง (latent heat)

ความร้อนแฝง คือปริมาณความร้อนที่ต้องใช้ในการระเหยน้ำออกจากวัตถุซึ่งมีค่า
ขึ้นกับชนิดและความชื้นของวัตถุ ตัวอย่างความร้อนแฝงของผลิตผลการเกษตร แสดงในรูปที่ 2.3



รูปที่ 2.3 กราฟแสดงการเปลี่ยนแปลงของความร้อนแฝงของผลิตผลการเกษตร (Sodha et al., 1987)

ความร้อนแฝงของผลิตผลการเกษตรสามารถเปลี่ยนในรูปของสูตรเอ็นไพริกัลได้ดังนี้

$$\frac{L}{L'} = 1 + a \exp(-bM_d) \quad (2.3)$$

เมื่อ L = ความร้อนแฝงของวัตถุชิ้น [J/kg]

L' = ความร้อนแฝงของน้ำ [J/kg]

M_d = ความชื้นของวัตถุมาตรฐานแห้ง [%]

a,b = ค่าคงที่ ขึ้นกับชนิดของวัตถุ

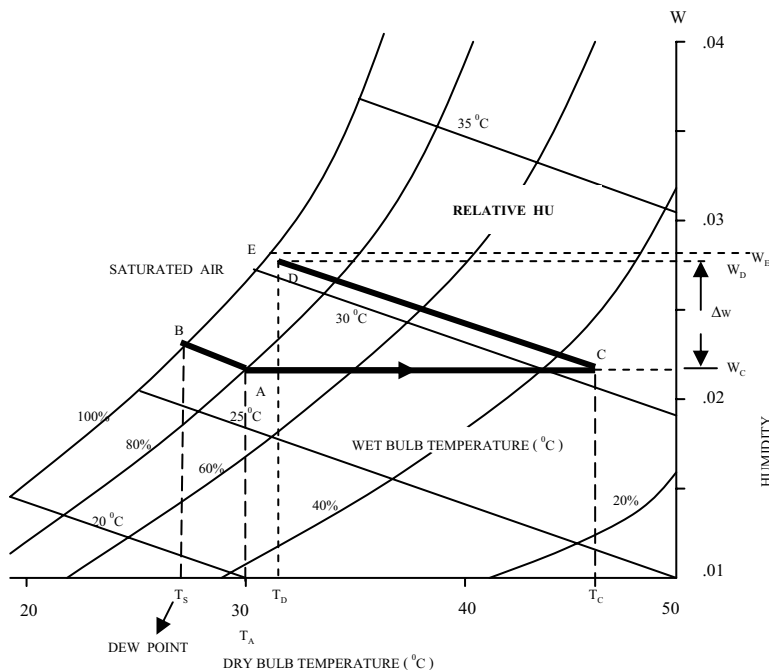
นอกจากนี้ยังมีสมบัติความร้อนอื่นๆ ของวัตถุชิ้นที่มีผลต่อการอบแห้ง เช่น ความร้อนจำเพาะ (specific heat) สภาพนำความร้อน (heat conductivity) สัมประสิทธิ์การพาความร้อน (convective heat transfer coefficient) และพื้นที่ผิวต่อปริมาตรวัตถุ เป็นต้น สมบัติเหล่านี้มักจะขึ้นกับความชื้นของวัตถุ และหาได้โดยการทดลอง

2.1.2 สมบัติของอากาศชื้น (properties of moist air)

อากาศชื้นใช้เป็นตัวกลางในการพาความร้อนไปสู่วัตถุชิ้น และพาความชื้นจากวัตถุนั้นออกมายัง外空 จะประกอบด้วยอากาศแห้งและไอน้ำ ซึ่งมีสมบัติแสดงได้ด้วยตัวแปร 7 ตัว ดังนี้

- 1) อุณหภูมิกระเพาแห้ง (T_{db})
- 2) อุณหภูมิกระเพาเยิก (T_{wb})
- 3) อุณหภูมิจุดน้ำค้าง (dew-point temperature)
- 4) ความชื้นสัมพัทธ์ (relative humidity, rh)
- 5) ความชื้นสัมบูรณ์ (absolute humidity) หรืออัตราส่วนความชื้น (humidity ratio)
- 6) เอนทาลปี (enthalpy)
- 7) ปริมาตรจำเพาะ (specific volume)

ตัวแปรทั้ง 7 มีความสัมพันธ์กันและสามารถแสดงเป็นแผนภูมิอากาศชื้น (psychometric chart) ดังรูปที่ 2.4 ในกระบวนการอบแห้ง สมบัติของอากาศจะมีการเปลี่ยนแปลงดังที่แสดงไว้ในแผนภูมิ ดังกล่าว



รูปที่ 2.4 แผนภูมิอากาศชื้นและการเปลี่ยนแปลงสมบัติของอากาศที่ใช้ในการอบแห้ง

(Sodha et al., 1987)

ในกระบวนการอบแห้ง อุณหภูมิกระเพาะแห้งของอากาศจะลดลงเข้าหากัน อุณหภูมิจุดนำ้ำค้างในขณะที่อุณหภูมิกระเพาะเปลี่ยนจะมีค่าคงที่ จากแผนภูมิอากาศชื้นของรูปที่ 2.4 เมื่ออากาศชื้นถูกทำให้ร้อนขึ้น โดยไม่มีการเพิ่มหรือลดปริมาณไอน้ำ อัตราส่วนความชื้นจะมีค่าคงที่ แสดงได้ด้วยเส้นตรง AC ในรูปที่ 2.4 ถ้านำอากาศร้อนนี้ไปใช้ในการอบแห้ง อุณหภูมิกระเพาะแห้งจะลดลง และความชื้นสัมพัทธ์จะเพิ่มขึ้นเนื่องจากอากาศถ่ายเทความร้อนให้กับวัตถุชื้นและรับความชื้นจากวัตถุนั้น การเปลี่ยนแปลงของอากาศนี้แทนได้ด้วยเส้นตรง CD ในแผนภูมิอากาศชื้นรูปที่ 2.4

2.1.3 การอบแห้ง

การอบแห้ง เป็นการแยกน้ำออกจากวัตถุชื้น (moist material) โดยการทำให้น้ำเปลี่ยนสถานะเป็นไอน้ำโดยอาศัยความร้อน สำหรับการอบแห้งผลิตผลทางการเกษตรมักเป็นการอบแห้งแบบการพาความร้อน (convective drying) โดยจะเป่าอากาศร้อนผ่านผลิตผลที่เป็นวัตถุชื้น ความร้อนจากอากาศจะถ่ายเทไปยังวัตถุทำให้วัตถุมีอุณหภูมิสูงขึ้น น้ำในวัตถุจะเปลี่ยนสถานะเป็นไอน้ำและระเหยออกมานอก

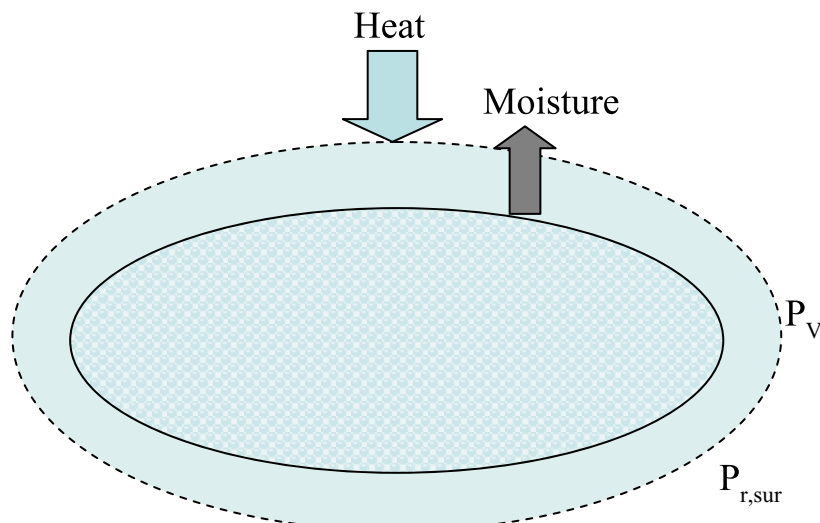
ถ่ายเทนวลดของน้ำจากวัตถุชิ้นไปยังอากาศจะหยุดเมื่อความดันไอน้ำที่ผิววัตถุเท่ากับความดันไอน้ำในอากาศ หรือ

$$P_{v,sur} = P_v \quad (2.4)$$

โดยที่

$$P_{v,sur} = \text{ความดันของไอน้ำที่ผิววัตถุ}$$

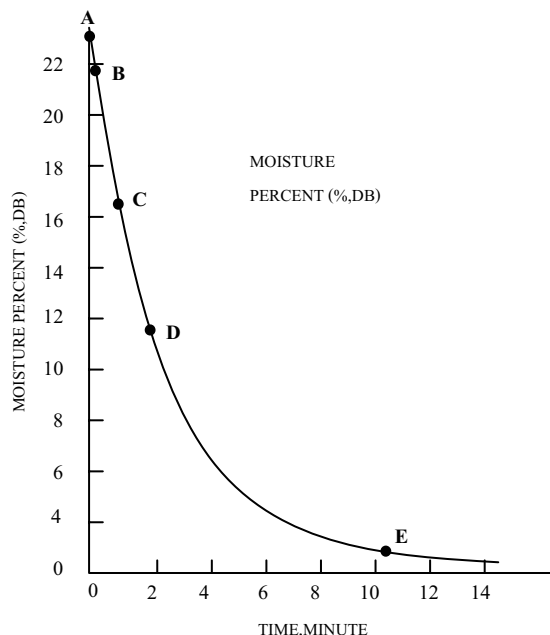
$$P_v = \text{ความดันไอน้ำในอากาศ}$$



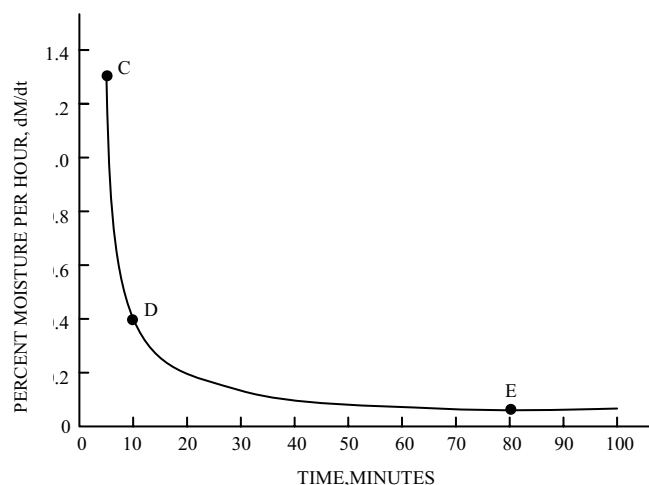
รูปที่ 2.5 การถ่ายเทนวลดและความร้อนในการอบแห้ง

การเคลื่อนตัวของน้ำจากภายในวัตถุชิ้นออกมานี้เป็นกระบวนการที่ซับซ้อนและขึ้นกับโครงสร้างของวัตถุนั้น ตัวอย่างกระบวนการเหล่านี้ได้แก่ การแพร่ (diffusion) การไหลภายในห่อเล็กในโครงสร้างของวัตถุ (capillary flow) การไหลจากความดันอสโนมิก (osmotic pressure) และการไหลเนื่องจากแรงโน้มถ่วงเป็นต้น การสร้างแบบจำลองทางคณิตศาสตร์สำหรับอธิบายกระบวนการเหล่านี้มีความซับซ้อนมาก

ในการอบแห้งผลิตผลทางการเกษตร การลดลงของความชื้นจะมีลักษณะดังรูปที่ 2.6 หรือแสดงในรูปของอัตราการแห้ง (drying rate) ดังรูปที่ 2.7



รูปที่ 2.6 กราฟแสดงการลดลงของความชื้นในการอบแห้งผลิตผลการเกษตรทั่วไป (Sodha et al., 1987)



รูปที่ 2.7 กราฟแสดงอัตราการแห้งของผลิตผลการเกษตรระหว่างการอบแห้ง (Sodha et al., 1987)

โดยทั่วไปอัตราการแห้งของผลิตผลการเกษตรจะแบ่งได้เป็น 2 ช่วง ได้แก่ ช่วงอัตราการแห้งคงที่ (constant-rate regime) ซึ่งเป็นช่วงแรกของการอบแห้ง และช่วงอัตราการแห้งลดลง (falling-rate regime) ซึ่งต่อจากช่วงแรก ในช่วงอัตราการแห้งคงที่การระเหยของน้ำจะเกิดที่ผิวของผลิตผล ลักษณะ

การระเหยจะคล้ายกับการระเหยน้ำจากภาชนะ เราสามารถเขียนอัตราการแห้งในช่วงเวลานี้เป็นรูปสมการได้ดังนี้

$$\frac{dM}{dt} = \frac{h_c A}{L} (T_a - T_{sur}) \quad (2.5)$$

เมื่อ dM/dt = อัตราการแห้ง [kg/s]

h_c = สัมประสิทธิ์การนำความร้อนของฟิล์มอากาศที่อยู่เหนือผิวผลิต (thermal conductance of air film) [W/m²-K]

A = พื้นที่ผิวของผลิตผล [m²]

L = ความร้อนแฝงของน้ำในผลิตผล [J/kg]

T_a = อุณหภูมิของอากาศที่ใช้ในการอบแห้ง [K]

T_{sur} = อุณหภูมิที่ผิวของผลผลิต [K]

สำหรับช่วงที่อัตราการแห้งลดลง (falling-rate regime) โดยทั่วไปเราสามารถเขียนอัตราการแห้งในรูปสมการได้ดังนี้

$$dM/dt = -k(M - M_e) \quad (2.6)$$

เมื่อ M_e = ความชื้นสมดุล (equilibrium moisture content) ของผลผลิต [%], db

M = ความชื้นของผลิตผล [%], db

k = ค่าคงที่การอบแห้ง (drying constant) [s⁻¹]

2.1.4 ผลของตัวแปรต่างๆ ที่มีผลต่อการอบแห้ง

ตัวแปรสำคัญที่มีผลต่อการลดลงของความชื้นของวัตถุ ได้แก่

- 1) อุณหภูมิอากาศที่ใช้ในการอบแห้ง ถ้าอุณหภูมิที่ใช้ในการอบแห้งมีค่าสูง อัตราการแห้ง (drying rate) จะมีค่าสูงกว่ากรณีของอากาศที่มีอุณหภูมิต่ำ

2) ความชื้นสัมพัทธ์ อากาศที่มีความชื้นสัมพัทธ์ต่ำจะสามารถดูดความชื้นที่ถ่ายเทจากวัตถุชื้นได้มากกว่ากรณีที่อากาศมีความชื้นสัมพัทธ์สูง

3) ความเร็วอากาศที่ไหลผ่านวัตถุชื้น ถ้าความเร็วอากาศมีค่าสูงความชื้นจากวัตถุจะถ่ายเทออกมากสู่อากาศได้กิจว่างานนี้จะต้องใช้พลังงานเพิ่มขึ้น แต่ผลดังกล่าวจะมีค่อนข้างน้อยเมื่อเทียบกับผลกระทบจากอุณหภูมิและความชื้นสัมพัทธ์ของอากาศ

2.1.5 ประเภทของการอบแห้ง

การอบแห้งแบบพากวนร้อน โดยทั่วไปแบ่งได้เป็น 2 แบบ คือ

1) การอบแห้งชั้นบาง (thin layer drying)

การอบแห้งแบบนี้ วัตถุชื้นจะเรียงเป็นชั้นบางๆ หรือเพียงหนึ่งชั้นของเมล็ดพืช กรณีที่การอบเมล็ดพืชแบบชั้นบาง การลดลงของความชื้น สามารถเปลี่ยนเป็นสมการได้ดังนี้

$$\frac{M(t) - M_e}{M_o - M_e} = \exp(-kt) \quad (2.7)$$

เมื่อ $M(t)$ = ความชื้นขณะเวลา t [%], db]

M_e = ความชื้นสมดุล [%], db]

M_o = ความชื้นเริ่มต้น [%], db]

k = ค่าคงที่การอบแห้ง [s^{-1}]

2) การอบแห้งชั้นหนา (deep bed drying)

เป็นการอบแห้งที่วัตถุวางช้อนกันหลายชั้น ตัวอย่างเช่น การอบแห้งข้าวในเครื่องอบแห้งแบบใช้อากาศแวดล้อม (in-bin drying) ในการคำนวณการลดลงของความชื้นในเครื่องอบแห้งโดยทั่วไปจะพิจารณาว่า การอบแห้งชั้นหนาประกอบด้วยการอบแห้งชั้นบางหลายชั้น เรียงช้อนกัน และทำการหาสมการสมดุลของมวลและพลังงานที่เกิดขึ้นในแต่ละชั้น (Bakker-Arkema, 1974)

2.2 การอบแห้งด้วยพลังงานแสงอาทิตย์ (solar drying)

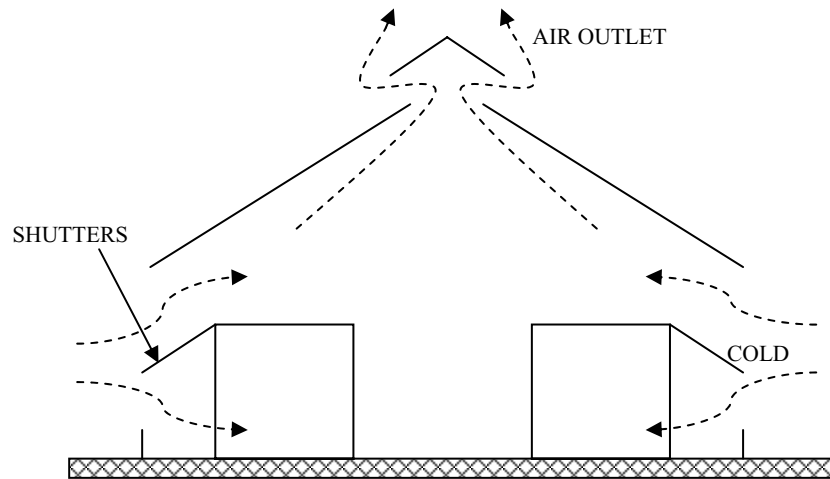
การอบแห้งด้วยพลังงานแสงอาทิตย์เป็นการอบแห้งผลผลิตโดยใช้ความร้อนจากพลังงานแสงอาทิตย์ เพื่อระเหยน้ำจากผลิตผลซึ่งจะอาศัยการพาความร้อน โดยทั่วไปสามารถแบ่งการอบแห้งพลังงานแสงอาทิตย์แบบพาความร้อนได้เป็น 2 แบบ คือ แบบการพาความร้อนตามธรรมชาติ (natural convection drying) ซึ่งอาศัยแรงลอยตัวเนื่องจากการพาความร้อน และแบบการพาความร้อนแบบบังคับอากาศ (forced-convection drying) ซึ่งอาศัยแรงดันจากพัดลมในการพาความร้อนไปยังผลผลิต นอกจากนี้ ยังอาจแบ่งชนิดของการอบแห้งตามวิธีการรับรังสี โดยสามารถแบ่งได้ 3 แบบ ได้แก่ แบบรับรังสีโดยตรง (direct mode dryer) แบบรับรังสีโดยอ้อม (indirect mode dyer) และแบบผสม (mixed mode dryer) สำหรับรายละเอียดของเครื่องอบแห้งชนิดต่างๆ จะกล่าวในรายละเอียดตามหัวข้อต่อไปนี้

2.2.1 เครื่องอบแห้งแบบพาความร้อนตามธรรมชาติ (natural-convection solar dryer)

เครื่องอบแห้งแบบนี้ยังสามารถแบ่งได้เป็น 2 ประเภท

ก. แบบรับพลังงานแสงอาทิตย์โดยตรง (direct mode)

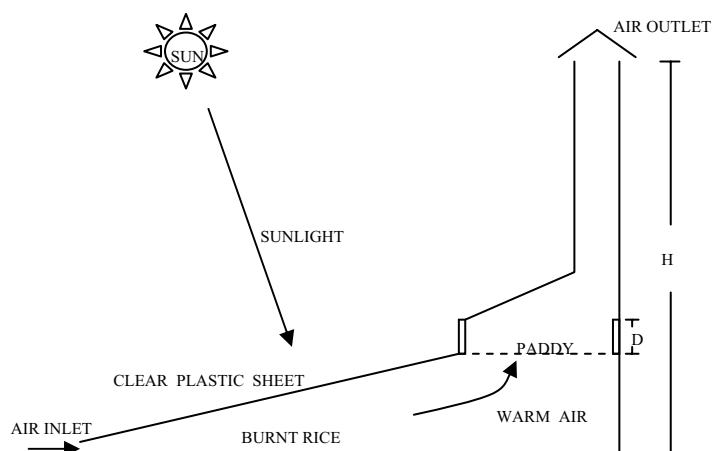
เครื่องอบแห้งแบบนี้ รับสีดวงอาทิตย์จะตกลงบนผลผลิตที่ต้องการอบแห้งโดยตรง ความชื้นจากผลผลิตจะถูกพาเข้าไปด้านบนโดยการไหลของอากาศที่เกิดจากการพาความร้อนตามธรรมชาติ รับสีดวงอาทิตย์จะส่งผ่านวัสดุป้องแสง ซึ่งอาจเป็นพลาสติกหรือกระเจกได้ แผ่นป้องแสงดังกล่าวทำหน้าที่ป้องกันการสูญเสียความร้อนโดยการพาความร้อนและการแผ่รังสีความร้อน ทึ้งยังป้องกันฝุ่นละออง ฝุ่น และแมลงรบกวนต่างๆ ด้วย



รูปที่ 2.8 เครื่องอบแห้งแบบรับแสงอาทิตย์โดยตรง (Sodha et al., 1987)

ข. แบบรับพลังงานแสงอาทิตย์ทางอ้อม (indirect mode)

เครื่องอบแห้งแบบนี้จะมีแผงรับรังสีความร้อนอาทิตย์ ซึ่งทำงานโดยอาศัยการพาความร้อนแบบธรรมชาติ (natural convection) อากาศร้อนที่ได้จะลอยตัวและไหลผ่านผลิตผลที่ต้องการอบแห้ง

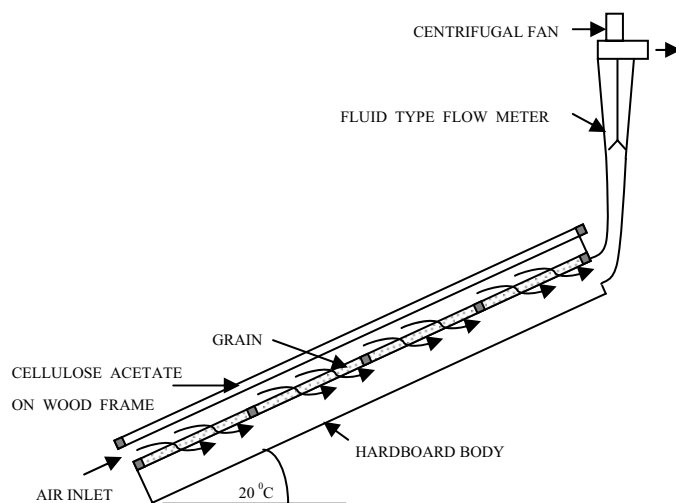


รูปที่ 2.9 เครื่องอบแห้งแบบรับพลังงานแสงอาทิตย์ทางอ้อม (Bala, 1998)

2.2.2 เครื่องอบแห้งแบบพากความร้อนโดยบังคับอากาศ (forced-convection solar dryer)

ก. แบบรับพลังงานแสงอาทิตย์โดยตรง

เครื่องอบแห้งแบบนี้ ผลผลิตที่ต้องการอบแห้งจะรับรังสีดวงอาทิตย์โดยตรง อากาศร้อนจะถูกดูดผ่านผลิตผลโดยอาศัยพัดลมดังตัวอย่างในรูป 2.10



รูปที่ 2.10 เครื่องอบแห้งแบบรับพลังงานแสงอาทิตย์โดยตรงและใช้พัดลม (Sodha et al., 1987)

ข. แบบรับพลังงานแสงอาทิตย์ทางอ้อม (indirect mode)

เครื่องอบแห้งแบบนี้จะมีแผงรับรังสีดวงอาทิตย์แบบแผ่นราบซึ่งทำหน้าที่ผลิตอากาศร้อน แล้วเป่าหรือดูดผ่านส่วนที่บรรจุผลิตผลซึ่งอยู่แยกส่วนจากแผงรับรังสีดวงอาทิตย์ ดังตัวอย่างในรูปที่ 2.11



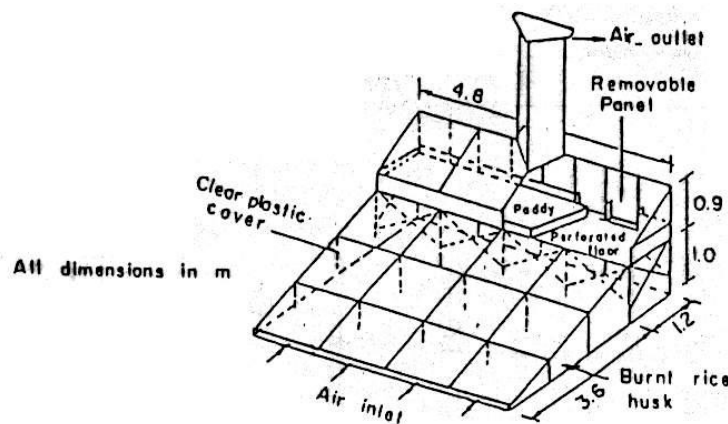
รูปที่ 2.11 ครึ่งองอบแห้งแบบรับพลังงานแสงอาทิตย์ทางอ้อมและใช้พัดลมดูดอากาศ

2.3 งานวิจัยและพัฒนาเครื่องอบแห้งพลังงานแสงอาทิตย์ที่ผ่านมา

จากศักยภาพของพลังงานแสงอาทิตย์ และปัญหาการตากแห้งผลผลิตเกษตร ในช่วงเวลา กว่า 20 ปีที่ผ่านมา จึงได้มีการวิจัยและการพัฒนาเครื่องอบแห้ง ซึ่งใช้พลังงานแสงอาทิตย์เป็นแหล่งกำเนิดความร้อนขึ้นหลายแบบซึ่งสามารถกล่าวโดยสรุปได้ดังนี้

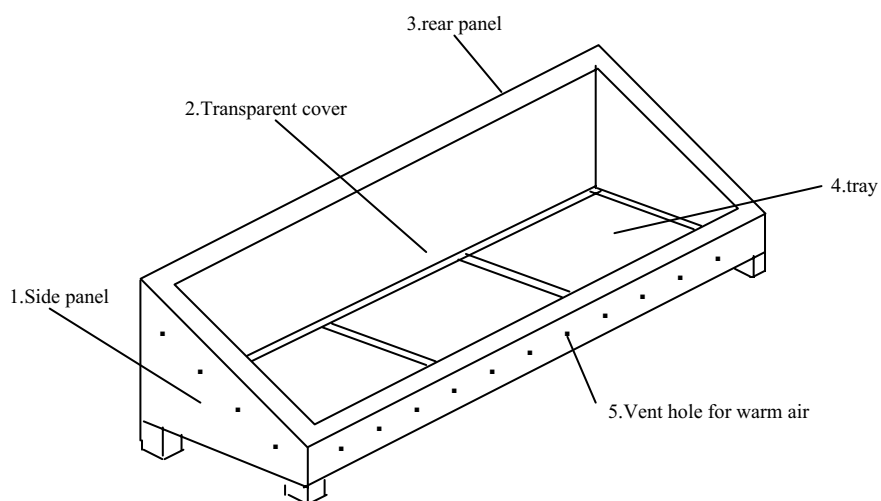
Exell และ Kornsakoo (1976) ได้พัฒนาเครื่องอบแห้งที่มีโครงสร้างเป็นแบบไม้ไผ่ ประกอบด้วยส่วนที่เป็นส่วนผลิตอาหารคร่อนทำด้วยพลาสติก และส่วนที่เก็บข้าวเปลือก ทำด้วยไม้ไผ่ยกพื้นให้อากาศร้อนไหลผ่านจากด้านล่าง เกิดการพาความร้อนโดยธรรมชาติ (natural convection) สามารถอบข้าวเปลือกได้ครั้งละ 1 ตัน ใช้เวลาประมาณ 1 วัน ในวันที่แสงแดดดี และ 2-3 วันในช่วงฤดูฝน ลักษณะของเครื่องแสดงไว้ดังรูปที่ 2.12

Exell (1980) ได้เสนอวิธีออกแบบและคำนวณขนาดของส่วนประกอบของเครื่องอบแห้งที่พัฒนาจากข้างต้นและได้นำไปทดลองใช้ แต่ไม่ได้รับความนิยม เพราะประโยชน์เชิงเศรษฐกิจที่ได้ค่อนข้างน้อย และยังเกิดปัญหากับพลาสติกที่คลุมส่วนต่างๆ มักจะขาดง่าย เนื่องจากลมและการรบกวนจากสัตว์ต่างๆ ด้วย



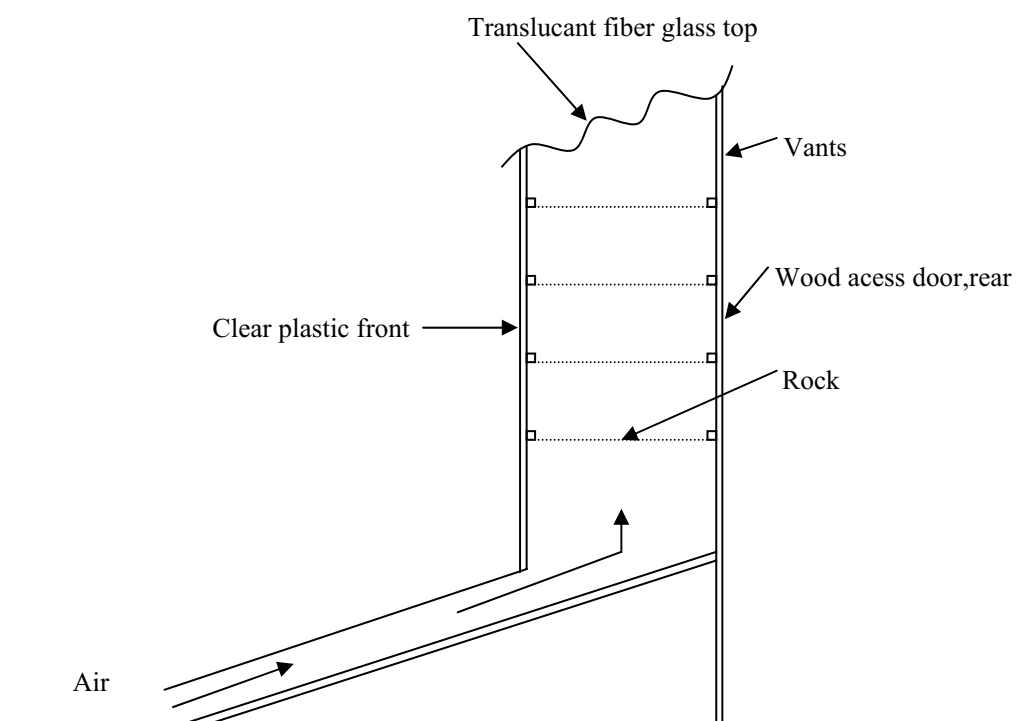
รูปที่ 2.12 เครื่องอบแห้งที่พัฒนาขึ้นโดย Exell และ Kornnsakoo (1976)

Wibulswas และคณะ (1977) ได้พัฒนาเครื่องอบแห้งที่มีลักษณะเป็นตู้ โดยมีพื้นที่รับแสง 0.23 ตารางเมตร ปิดด้วยกระจกใสทำมุมเอียง 18 องศา กับแนวระดับ จากการทดลองอบผ้าชูบนำ พบร่วมกับอัตราการแห้งประมาณ $4.2 \text{ kg/m}^2\text{-day}$ ลักษณะของเครื่องอบแห้งดังกล่าวแสดงไว้ดังรูปที่ 2.13



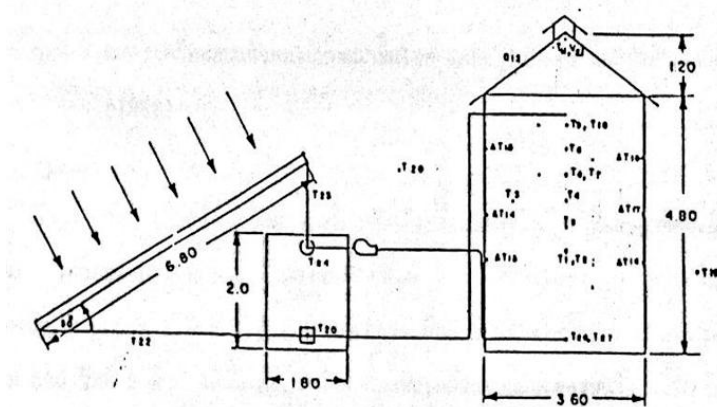
รูปที่ 2.13 เครื่องอบแห้งที่พัฒนาโดย Wibulswas และคณะ (1977)

Wibulsawas และ Thaina (1980) ได้พัฒนาเครื่องอบแห้งแบบพากความร้อนตามธรรมชาติ (natural convection drying) ซึ่งประกอบด้วยแพลงรังสีดาวอาทิตย์ขนาด 1.92 ตารางเมตร และภายในตู้อบมีชั้นวางผลิตภัณฑ์ 5 ชั้น จากการทดสอบพบว่ามีอัตราการแห้งประมาณ $5 \text{ kg/m}^2\text{-day}$ ลักษณะของเครื่องอบแห้งดังกล่าวแสดงไว้ในรูปที่ 2.14 เครื่องอบแห้งดังกล่าวมีความจุค่อนข้างน้อยจึงเหมาะสมที่จะใช้ในครัวเรือน



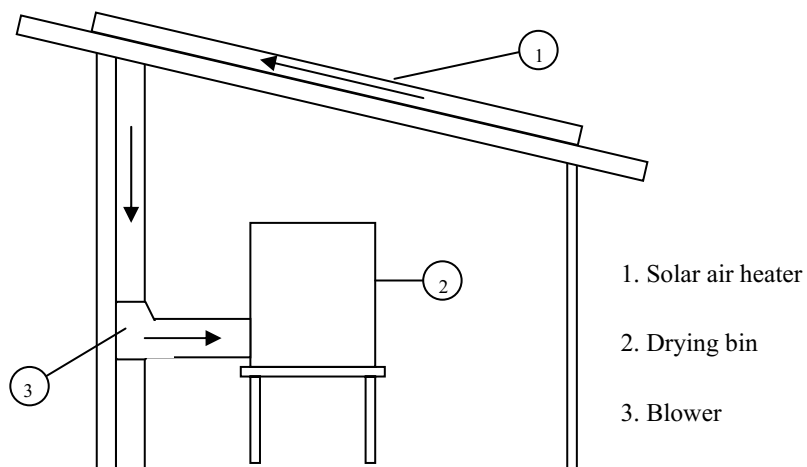
รูปที่ 2.14 เครื่องอบแห้งแบบตู้ที่พัฒนาโดย Wibulsawas และ Thaina (1980)

Boon-Long และคณะ (1984) ได้ทำการตัดแปลงโรงบ่มใบยาสูบ เพื่อใช้บ่มใบยาสูบด้วยพลังงานแสงอาทิตย์ โรงอบดังกล่าวมีขนาด $3.6 \times 3.6 \times 4.8$ ลูกบาศก์เมตร ใช้แพลงรังสีขนาด 38.5 ตารางเมตร และมีระบบพลังงานเสริมเป็นก๊าซหุงต้มเป็นเชื้อเพลิงและยังมีถังเก็บความร้อนขนาด 6 ลูกบาศก์เมตร ภายในบรรจุหินก้อนเล็กๆ อากาศร้อนจากแพลงรับแสงจะถูกดูดเข้าไปในโรงอบด้วยเครื่องเป่าอากาศ 2 ตัว ซึ่งขับเคลื่อนด้วยมอเตอร์ขนาด 1.50 กิโลวัตต์ และ 0.76 กิโลวัตต์ จากการทดสอบพบว่าต้องใช้พลังงานความร้อนโดยเฉลี่ยจากแหล่งพลังงานเสริม 28.9 MJ ต่อ กิโลกรัมของยาสูบแห้ง การใช้พลังงานแสงอาทิตย์ช่วยประหยัดเชื้อเพลิง 16 % ลักษณะโรงบ่มดังกล่าว แสดงไว้ดังรูป 2.15



รูปที่ 2.15 โรงนั่งในยาสูบซึ่งใช้พลังงานแสงอาทิตย์เป็นพลังงานเสริม (Boon-Long et al., 1984)

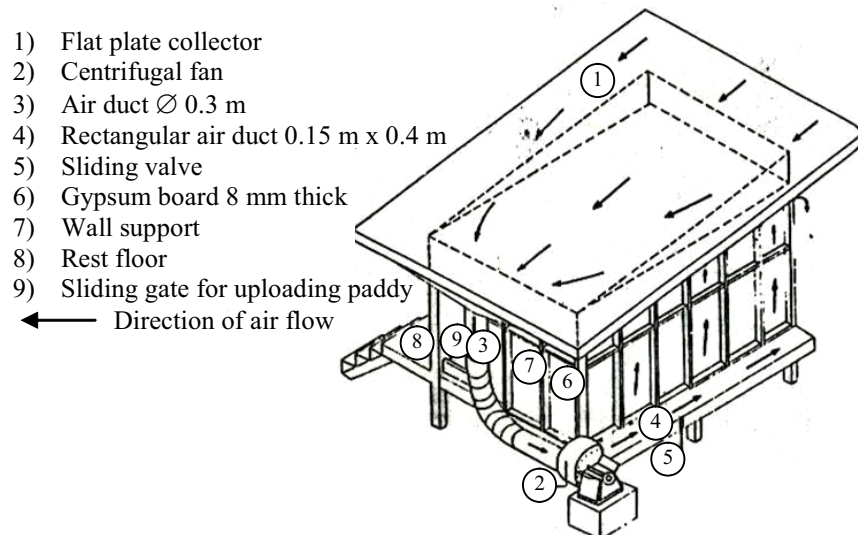
Thongprasert และคณะ(1985) ได้พัฒนาเครื่องอบแห้งพลังงานแสงอาทิตย์แบบพากความร้อนโดยบังคับอากาศ (forced convection drying) ซึ่งประกอบด้วยแผงรับรังสีดวงอาทิตย์ขนาด 3.74×4.48 เมตร มีพัดลมดูดอากาศร้อนผ่านชั้นของข้าวเข้าไปในยุง ลักษณะของเครื่องอบแห้งแสดงไว้ในรูปที่ 2.16



รูปที่ 2.16 เครื่องอบแห้งที่พัฒนาโดย Thongprasert และคณะ (1985)

จากการนำเครื่องอบไปทดสอบบนข้าว 1 ตัน จากความชื้น 17-21 % (wb) ให้ลดลงเหลือ 14 % (wb) จะใช้เวลาในการอบ 1-4 วัน ต่อการอบ 1 งวด จากการวิเคราะห์ทางเศรษฐกิจพบว่า เครื่องอบนี้จะคุ้มต่อการลงทุน เมื่อพิจารณาการสูญเสียของเม็ดข้าว เทียบกับการตากแดดตามธรรมชาติ

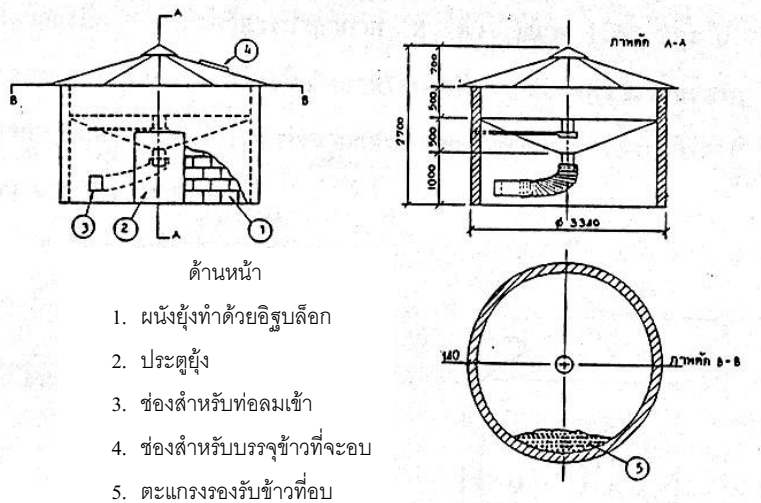
Soponronnarit และคณะ (1986) ได้พัฒนาผู้ช่วยข้าวที่สร้างด้วยไม้ หลังคาเป็นสังกะสี ที่จำเพาะสำหรับจังหวัดนครปฐม โดยได้พัฒนาหลังคาที่เป็นสังกะสีให้เป็นแหล่งกำเนิดความร้อน อาศัยร้อนที่ได้จากแสงอาทิตย์ นำไปด้านล่างของผู้ช่วยเก็บข้าวและเป่าผ่านมวลข้าว ผู้ช่วยกล่าวสามารถเก็บข้าวที่อบแล้วได้ 10 ตัน เครื่องดูดอากาศขึ้บเคลื่อนด้วยเครื่องยนต์ดีเซล จากการทดสอบบนข้าวน้ำปี และนาปรังพบว่า ผู้ช่วยกล่าวสามารถดูดความชื้นของข้าวในอัตรา 0.64% ต่อชั่วโมง ผู้ช่วยนี้จะคุ้มต่อการลงทุน โดยจะต้องอบข้าวทั้งนาปีและนาปรัง โดยระยะเวลาคุ้มทุนอยู่ในช่วง 2.3 – 14.8 ปี ลักษณะของผู้ช่วยกล่าวแสดงไว้ในรูปที่ 2.17



รูปที่ 2.17 ผู้ช่วยเก็บและอบแห้งข้าวซึ่งพัฒนาขึ้นโดย Soponronnarit และคณะ (1986)

Praditwong และ Janjai (1990) ได้พัฒนาผู้ช่วยเก็บและอบข้าวแห้งที่มหาวิทยาลัยศิลปากร จังหวัดนครปฐม ลักษณะของผู้ช่วยมีลักษณะเป็นทรงกระบอกก่อด้วยอิฐบล็อกพิเศษ ซึ่งออกแบบโดยรองศาสตราจารย์สถาพร เกี่ยววนล แห่งสถาบันเทคโนโลยีพระจอมเกล้าพระนครเหนือ อิฐบล็อกดังกล่าวสามารถสร้างเป็นผู้ช่วยเก็บข้าวได้โดยที่ไม่ต้องอาศัยเหล็กหรือปูนซีเมนต์เชื่อมต่อ ทำให้สะดวกและประหยัดแรงงานในการก่อสร้าง ตัวผู้ช่วยแบ่งเป็น 2 ชั้น โดยที่ชั้นบนใช้สำหรับอบข้าวและชั้นล่างใช้เป็นที่สำหรับเก็บข้าวที่อบแห้งแล้ว ทำให้ไม่ต้องเสียแรงงานในการขนย้ายข้าวที่อบเสร็จแล้ว อาศัย

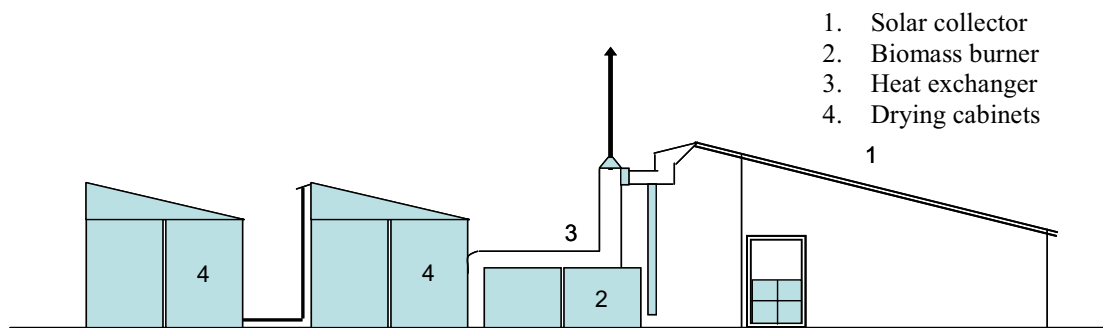
ร้อนที่ใช้ในการอบแห้งได้จากແຜງຮັບຮົງສີດວງອາທິຕິຍ໌ແບບໄນ່ມີກະຈົກປົດ ບານາດພື້ນທີ່ 30 ຕາຮານເມຕຣ ໂດຍອາກາສຣອນຈາກແຜງຮັບຮົງສີຈະລູກຄຸດ ໂດຍເກຣີອິງເປົາອາກາສ (blower) ຜຶ່ງຂັບເກີ່ອນດ້ວຍນອເຕອຮົ່ານາດ 1 ກີໂລວັດຕີ ແລະເປົາອາກາສຣອນຝາ່ນມາລົງຈາກດ້ານລ່າງ ຍຸ່ງໜ້ານີ້ໃຊ້ອິນຫ້າວໄດ້ຄົງລະ 1-2 ຕັນ ແລະເກີ່ນໜ້າວ ແຮ້ງໄດ້ 5 ຕັນ ເມື່ອວິເຄຣະທີ່ຄໍາໃຊ້ຈ່າຍຮາຍປີ (annual cost analysis) ພົນວ່າຍຸ່ງອິນຫ້າວແຮ້ງໜ້ານີ້ຈະຄຸ້ມຖຸນກາຍໃນເວລາ 5-8 ປີ ລັກນະໂອນຍຸ່ງອິນຫ້າວແຮ້ງດັກລ່າວ ແສດງໄວ້ໃນຮູບທີ່ 2.18



ຮູບທີ່ 2.18 ຍຸ່ງເກີ່ນແລະອິນຫ້າວທີ່ພັດນາຂຶ້ນ ໂດຍ Praditwong ແລະ Janjai (1990)

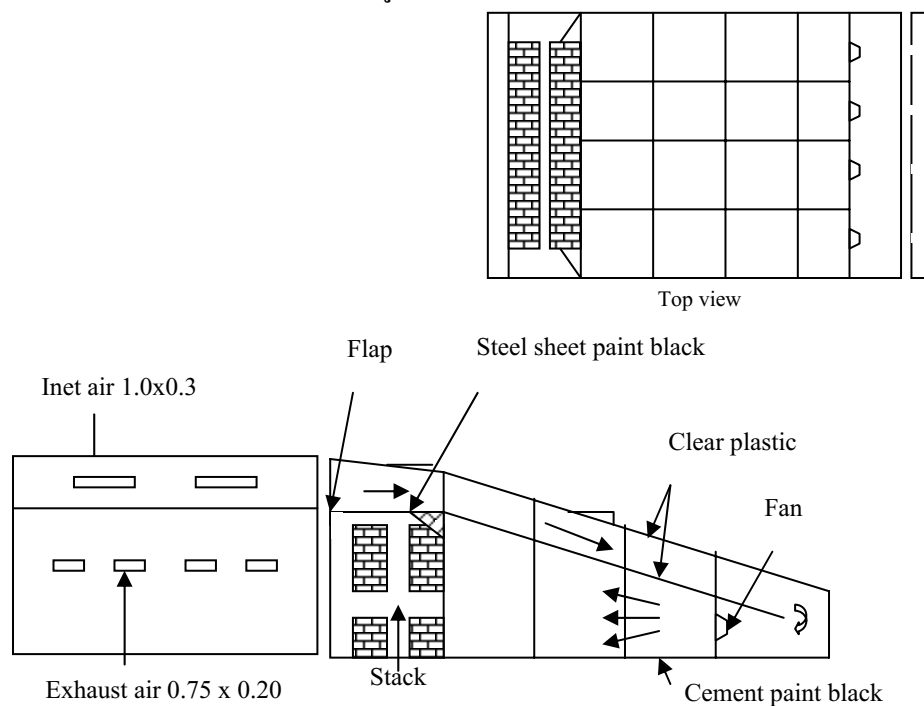
ນອກຈາກນີ້ Janjai ແລະ Doe (1991) ຍັງໄດ້ພັດນາວິທີຄໍານວນຄ່າພລັງຈານແສງອາທິຕິຍ໌ ເພື່ອໃຊ້ໃນການອອກແບບເກຣີອິນຫ້າວແຮ້ງດັກລ່າວໄວ້ດ້ວຍ

Rakwichian ແລະ Sudaprasert (1990) ໄດ້ພັດນາເກຣີອິນຫ້າວແຮ້ງຮະດັບອຸດສາຫກຮຽນສໍາຫຼັບອິນພລິໄມ ທີ່ມີໜ້ອງອິນທີ່ສາມາຮອບພລັງຈານແສງອາທິຕິຍ໌ໄດ້ໂດຍຕຽງແລະຮັບອາກາສຣອນຈາກແຜງຮັບພລັງຈານແສງອາທິຕິຍ໌ນາດ 30 ຕາຮານເມຕຣ ທີ່ສ່ວັງແຍກອອກຈາກໜ້ອງອິນ ອີກທີ່ມີແໜ່ງພລັງຈານເສຣິມຈາກກ້າພຸງຕົ້ນແລະຈາກວັດສະໜູ້ເລື້ອໃຊ້ການເກຍຕຽບເປັນເຊື້ອເພີ້ງ ໂດຍຜ່ານຕົວແລກເປີ່ຍນກວາມຮ້ອນ (heat exchanger) ເກຣີອິນຫ້າວດັກລ່າວສາມາຮອບກລ້ວຍທີ່ກວາມຂຶ້ນ 75 % (wb) ຈຳນວນ 1,500 ກີໂລກຣັນ ໃຫ້ເລື້ອກວາມຂຶ້ນທີ່ 25 % (wb) ໂດຍໃຊ້ເວລາ 4-5 ວັນ ຈາກການວິເຄຣະທີ່ພລັງຈານແນນຕ່ອງກາລົງທຸນ ພົນວ່າມີຄ່າເກີນ 1 ລັກນະໂອນເກຣີອິນຫ້າວແສດງໄວ້ໃນຮູບທີ່ 2.19



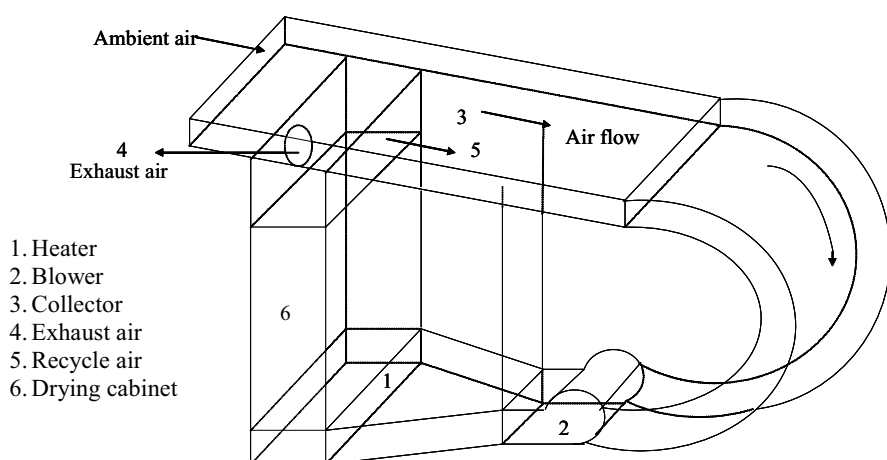
รูปที่ 2.19 เครื่องอบแห้งที่พัฒนาขึ้นโดย Rakwichian และ Sudaprasert (1990)

Exell (1990) ได้พัฒนาโรงอบแห้งไม้พลังงานแสงอาทิตย์ (timber drying kilns) สามารถอบไม้ได้ครั้งละ 20 ลูกบาศก์เมตร มีพัดลมขนาดมอเตอร์ 0.76 กิโลวัตต์ จำนวน 4 ตัว ทำหน้าที่ดูดอากาศร้อนจากหลังคาซึ่งเป็นแผงรับพลังงานแสงอาทิตย์และมีระบบหมุนเวียนอากาศร้อนนำกลับมาใช้ใหม่ โรงอบแห้งดังกล่าวสามารถลดความชื้นของไม้จาก 50-55 % เหลือ 20-24% โดยใช้เวลา 2-3 อาทิตย์ ลักษณะของโรงอบแห้งดังกล่าวแสดงไว้ในรูปที่ 2.20



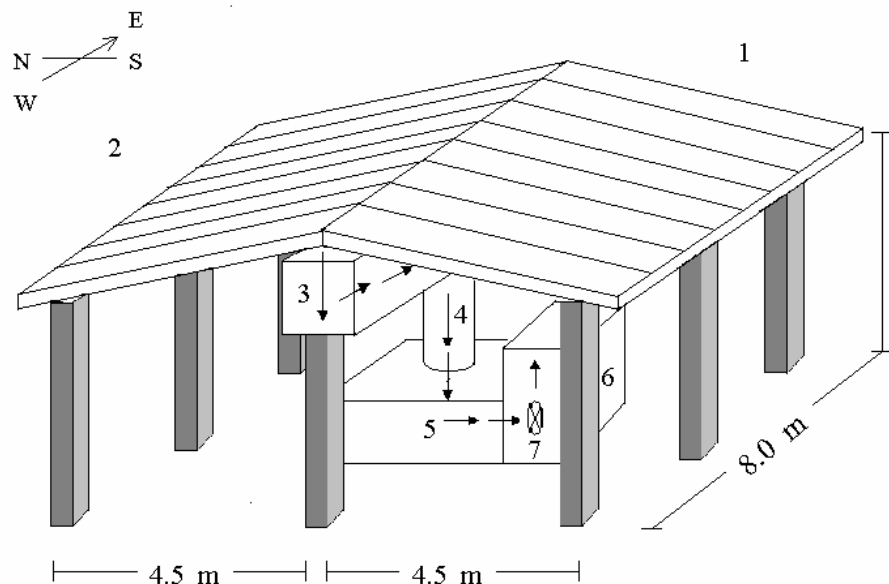
รูปที่ 2.20 โรงอบแห้งที่พัฒนาขึ้นโดย Exell (1990)

ณัฐวุฒิ ดุษฎี (2534) ได้พัฒนาเครื่องอบแห้งผลไม้ โดยใช้พลังงานจากแสงอาทิตย์เป็นพลังงานเสริม ซึ่งประกอบด้วย แผงรับรังสีดวงอาทิตย์ขนาด 2.5 ตารางเมตร ห้องอบมีขนาด $0.6 \times 1.0 \times 1.0$ ลูกบาศก์เมตร มีลวดต้านทานความร้อน ขนาด 830 วัตต์ จำนวน 3 ตัว มีเครื่องเป่าอากาศที่ขับเคลื่อนด้วยมอเตอร์ขนาด 0.76 กิโลวัตต์ และมีระบบไอลิเวียนของอากาศที่นำอากาศร้อนกลับมาใช้ใหม่ จากการทดสอบอบกล้วยพบว่า สามารถช่วยประหยัดพลังเมื่อเทียบกับการอบด้วยไฟฟ้า 33 % และมีเวลาคุ้มทุน 4.8 ปี ลักษณะของเครื่องอบแห้งดังกล่าวแสดงไว้ในรูปที่ 2.21



รูปที่ 2.21 เครื่องอบแห้งที่พัฒนาขึ้นโดย ณัฐวุฒิ ดุษฎี (2534)

Janjai และ Tung (2005) ได้พัฒนาเครื่องอบแห้งสมุนไพรและเครื่องเทศโดยใช้ความร้อนจากแผงรับรังสีดวงอาทิตย์ที่ทำหน้าที่เป็นหลังคาโรงเรือน โดยลักษณะของเครื่องอบแห้งดังกล่าวแสดงดังรูป

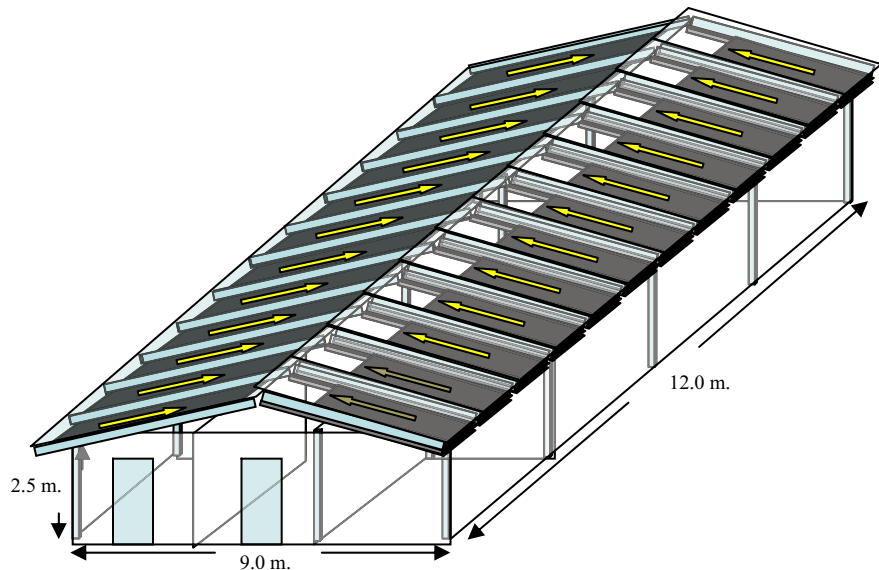


รูปที่ 2.22 เครื่องอบแห้งพลังงานแสงอาทิตย์ที่พัฒนาขึ้น โดย Janjai และ Tung (2005)

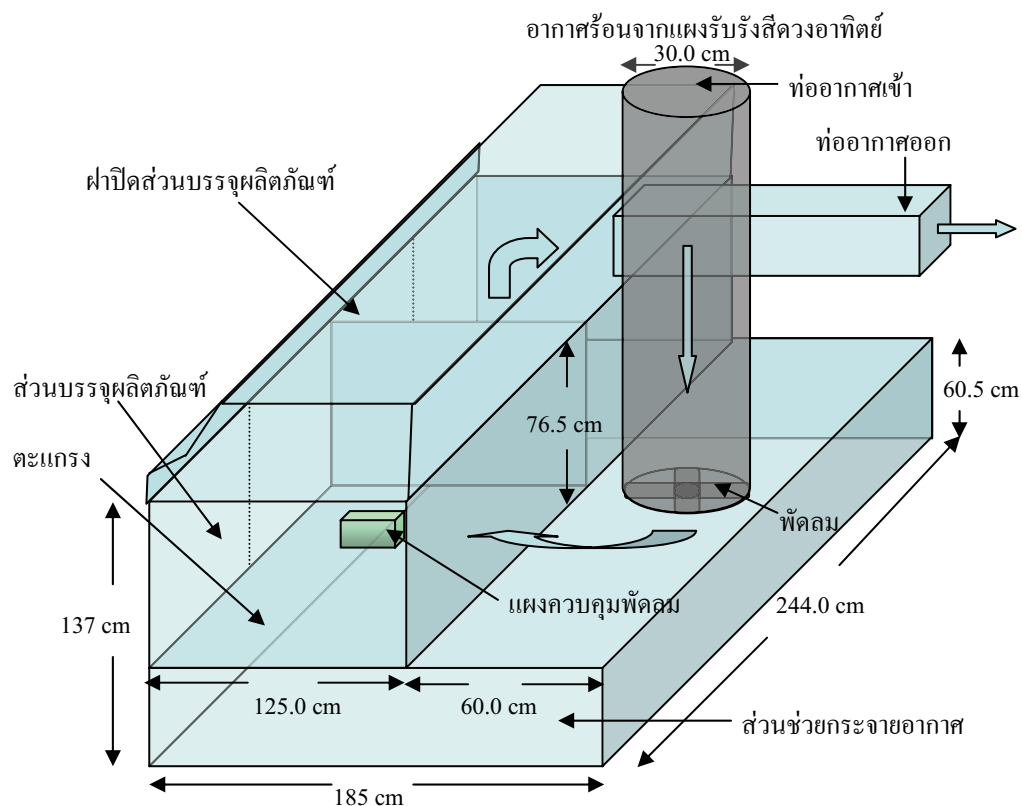
เครื่องอบแห้งดังกล่าวสามารถอบแห้งดอกกระเจี๊ยบ 200 กิโลกรัม ให้แห้งในเวลาประมาณ 4 วัน แต่เนื่องจากวัสดุปะรังแสงที่ปิดด้านบนของแพลงรับรังสีดวงอาทิตย์ซึ่งทำด้วยไฟเบอร์กลาสมีการเสื่อมสภาพ เกิดการซุนัมวหัสตั้งจากใช้งานไปนานๆ

Janjai et al (2008) ได้พัฒนาเครื่องอบแห้งแบบใช้ความร้อนจากแพลงรับรังสีดวงอาทิตย์ที่เป็นหลังคาโรงเรือน โดยปรับปรุงจากงานของ Janjai and Tung (2005) งานที่ปรับปรุงประกอบด้วยการออกแบบแพลงรับรังสีใหม่ที่ใช้แผ่นโพลีคาร์บอเนต แทนการใช้ไฟเบอร์กลาสและปรับปรุงโรงเรือนให้เป็นสถานที่ใช้เตรียมผลิตภัณฑ์สดและเก็บผลิตภัณฑ์ที่อบแห้งด้วย

ลักษณะของระบบอบแห้งของ Janjai et al (2008) และดังรูปที่ 3.23-3.24



รูปที่ 2.23 โครงสร้างระบบอบแห้งแบบใช้ความร้อนจากแผงรับรังสีดวงอาทิตย์ส่วนที่เป็นหลังคา
โรงเรือน Janjai et al (2008)



รูปที่ 2.24 ตู้อบแห้งภายในโรงอบแห้ง (Janjai et al, 2008)

เนื่องจากระบบอบแห้งที่มี (Janjai et al, 2008) ใช้ตู้อบแห้งแบบ bin type ซึ่งผลิตภัณฑ์ที่อบจะ กองทับกันเป็นชั้นหนา (deep – bed drying) ถ้าใส่ผลิตภัณฑ์จำนวนมากจะเกิดปัญหาความสม่ำเสมอ ของการแห้งของผลิตภัณฑ์ นอกจากนี้ยังต้องใช้พัดลมที่มีกำลังสูงเพื่อเบ่าอากาศร้อนผ่านผลิตภัณฑ์ ดังนั้นในโครงการความร่วมมือด้านพลังงานทดแทนและอนุรักษ์พลังงานระหว่างประเทศไทยและ ประเทศ สปป.ลาว คณะผู้ดำเนินโครงการจึงได้ออกแบบตู้อบแห้งใหม่ ซึ่งเป็นแบบถาด (tray type dryer) และบังคับให้อากาศไหลวนนานกับถาด ในงานวิจัยนี้ผู้วิจัยจะทำการทดสอบสมรรถนะของระบบ อบแห้งดังกล่าว ดังรายละเอียดในบทต่อไป

บทที่ 3 การดำเนินงานวิจัย

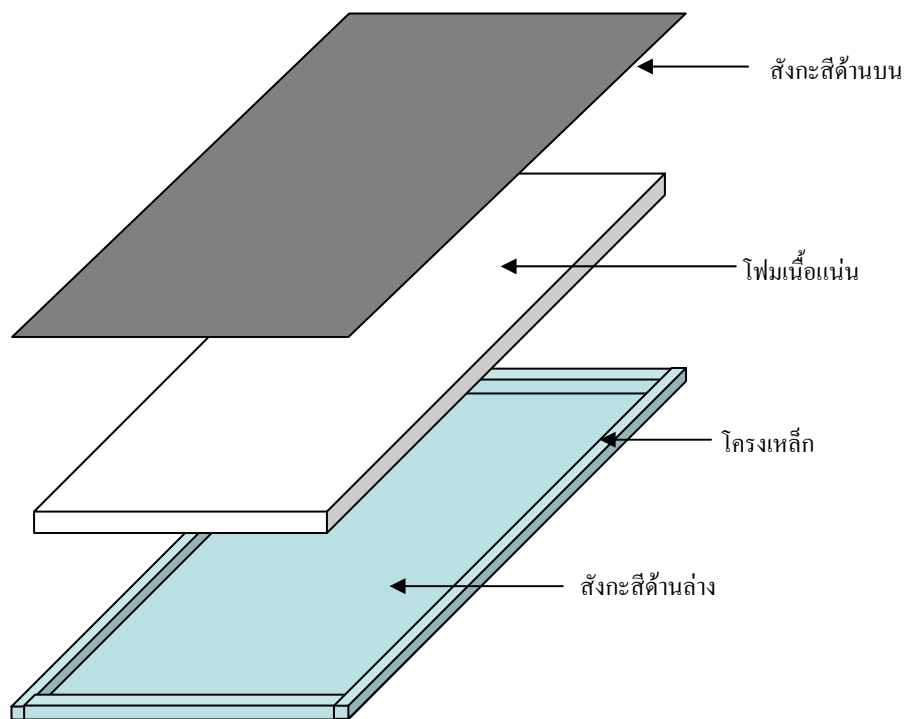
ในงานวิจัยนี้ ผู้วิจัยจะทำการทดสอบสมรรถนะของระบบอุปกรณ์พลังงานแสงอาทิตย์แบบใช้ตู้อบแห้งแบบภาชนะและแพงรับรังสีดวงอาทิตย์ที่เป็นหลังคาโรงเรือน ซึ่งติดตั้งสาธิตใช้งานที่วิทยาลัยเกษตรและป่าไม้จำปาสัก เมืองปากเซ แขวงจำปาสัก ประเทศสาธารณรัฐประชาธิปไตยประชาชนลาว โดยในบทนี้จะกล่าวถึงรายละเอียดของระบบอุปกรณ์พลังและ การทดสอบสมรรถนะตามหัวข้อต่างๆ ดังนี้

3.1 รายละเอียดของระบบอุปกรณ์พลัง

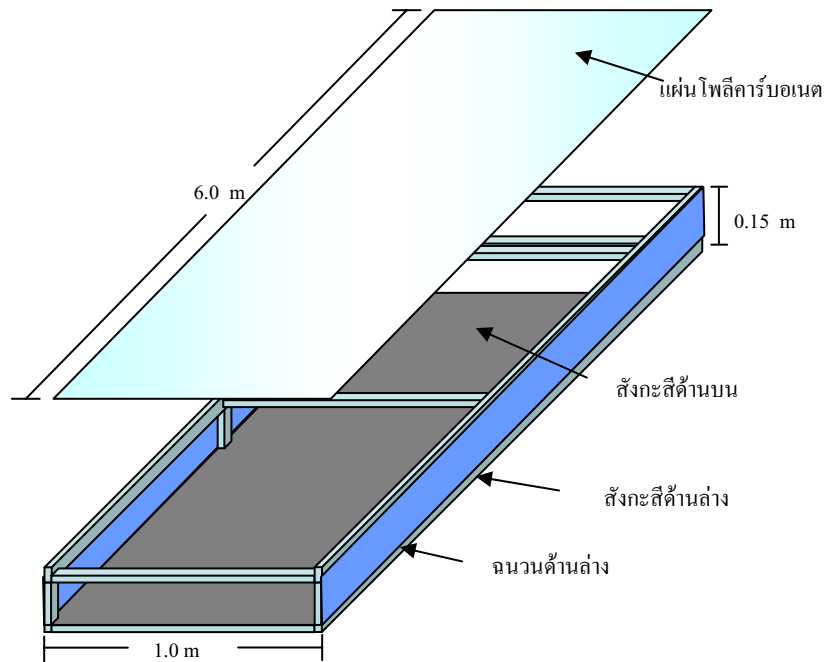
ระบบอุปกรณ์พลังงานแสงอาทิตย์แบบใช้ตู้อบแบบภาชนะและแพงรับรังสีดวงอาทิตย์ที่ใช้เป็นหลังคาโรงเรือน มีองค์ประกอบหลัก 3 ส่วน ได้แก่ แพงรับรังสีดวงอาทิตย์ ตู้อบแห้งแบบภาชนะ และระบบระบายอากาศ แต่ละส่วนมีองค์ประกอบดังนี้

3.1.1 แพงรับรังสีดวงอาทิตย์

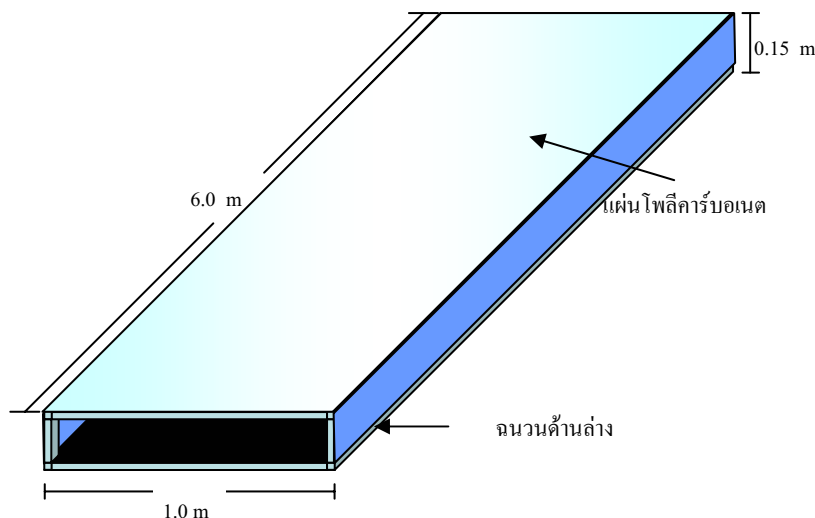
แพงรับรังสีดวงอาทิตย์แต่ละแพงจะประกอบด้วยแผ่นชนวนด้านล่าง ช่องไหลด่านของอากาศ และแผ่นโพลีคาร์บอเนตปิดด้านบน โดยแผ่นชนวนด้านล่างทำจากแผ่นสังกะสี 2 ชั้น ระหว่างชั้นทั้ง 2 เป็นแผ่นโฟมโดยด้านบนของแผ่นชนวนทำด้วยสีดำเพื่อช่วยดูดกลืนรังสีดวงอาทิตย์ (รูปที่ 3.1) โครงของแพงรับรังสีทำด้วยเหล็กกล่องซึ่งทาสีกันสนิม แพงรับรังสีดวงอาทิตย์แต่ละแพงมีขนาดกว้าง 1.00 เมตร ยาว 6.00 เมตร และหนา 0.15 เมตร (รูปที่ 3.2 และ 3.3)



รูปที่ 3.1 โครงสร้างของแผ่นฉนวนด้านหลัง

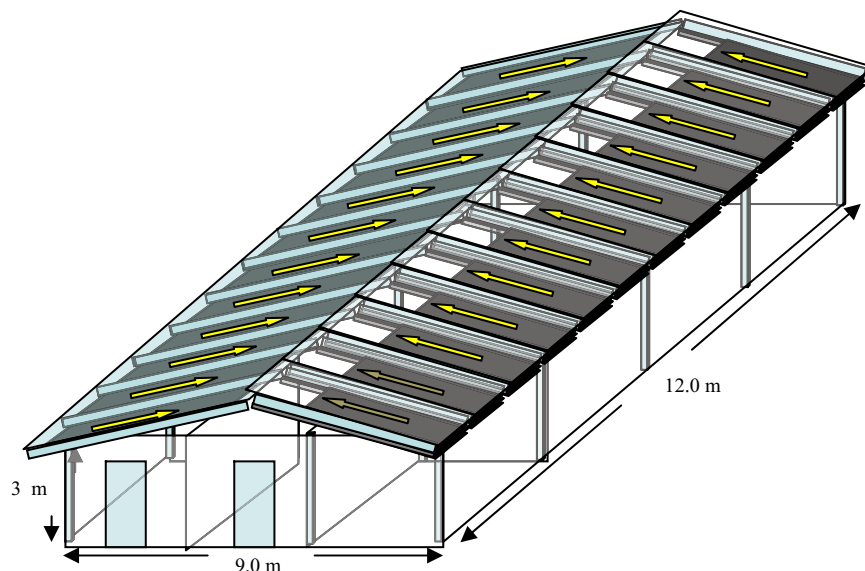


รูปที่ 3.2 ลักษณะของภายในแผงรับรังสีดวงอาทิตย์ที่ใช้ประกอบเป็นหลังคาโรงเรือน



รูปที่ 3.3 ลักษณะส่วนประกอบของแผงรับรังสีความอาทิตย์ที่ใช้ประกอบเป็นหลังคาโรงเรือน

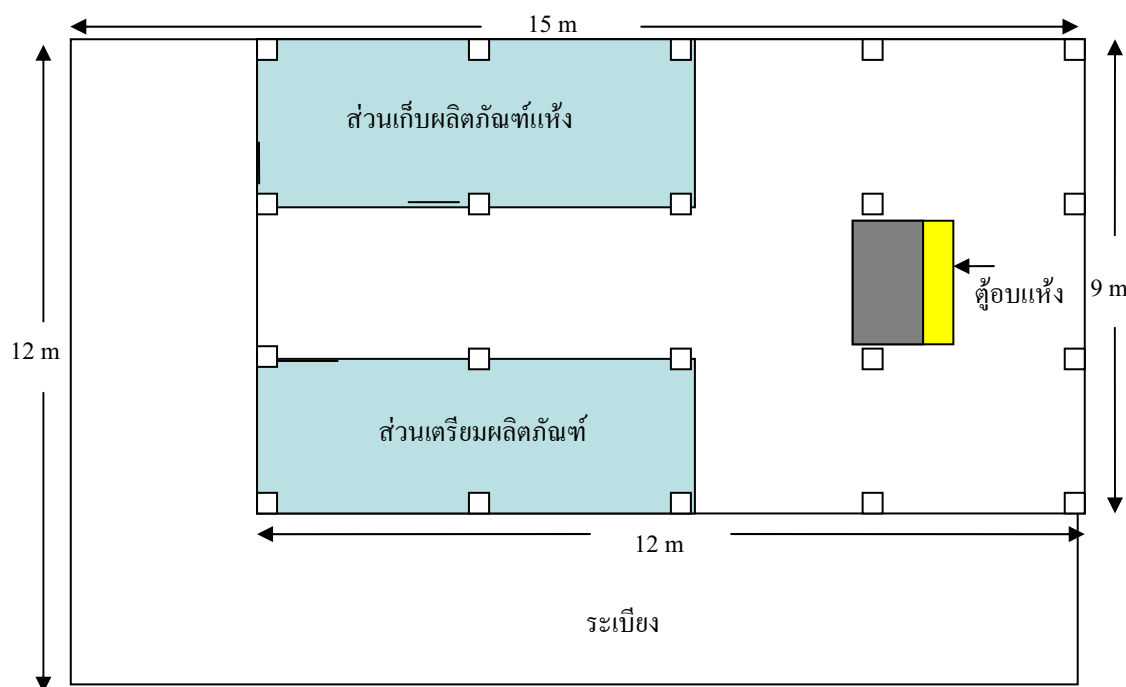
แผงรับรังสีความอาทิตย์จะวางบนโครงสร้างของหลังคาของโรงอบแห้งซึ่งมีแนวยาวในทิศตะวันออก ตะวันตก และมีมุมเอียงของหลังคาประมาณ 30 องศา (รูปที่ 3.4) โดยแผงรับรังสีความอาทิตย์จะวางเรียงต่อกันทั้งสองด้านของหลังคาด้านละ 12 แผง บริเวณที่แผงรับรังสีความอาทิตย์มาบรรจบกันจะมีท่ออากาศ (รูปที่ 3.5) เพื่อคุณภาพอากาศร้อนลงไปยังตู้อบแห้งที่อยู่ในโรงอบแห้ง โรงอบแห้งดังกล่าวเป็นอาคารชั้นเดียวขนาดพื้นที่ใช้สอย 9.0×12.0 ตารางเมตร (รูปที่ 3.5) ภายในแบ่งเป็นส่วนสำหรับวางตู้อบแห้ง ห้องเตรียมผลิตภัณฑ์สดและห้องเก็บผลิตภัณฑ์แห้ง (รูปที่ 3.6 และ 3.7)



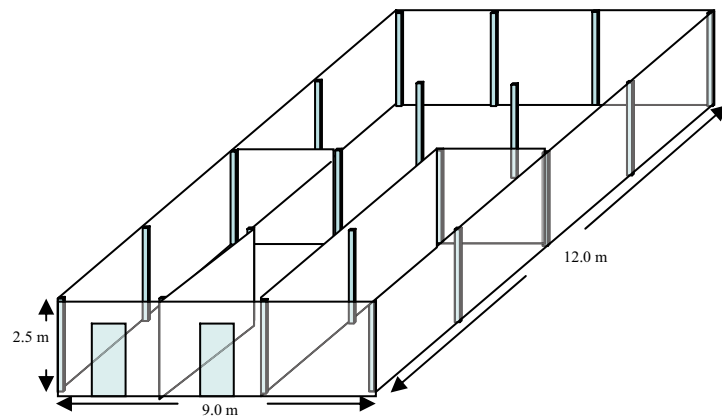
รูปที่ 3.4 แผงรับรังสีความอาทิตย์ที่อยู่บนโครงสร้างของโรงอบแห้ง



รูปที่ 3.5 ท่ออากาศที่แนวบรรจบของแพงรับรังสีดวงอาทิตย์ทั้งสองด้าน



รูปที่ 3.6 ขนาดและตำแหน่งของพื้นที่ใช้สอยในโรงอบแห้ง



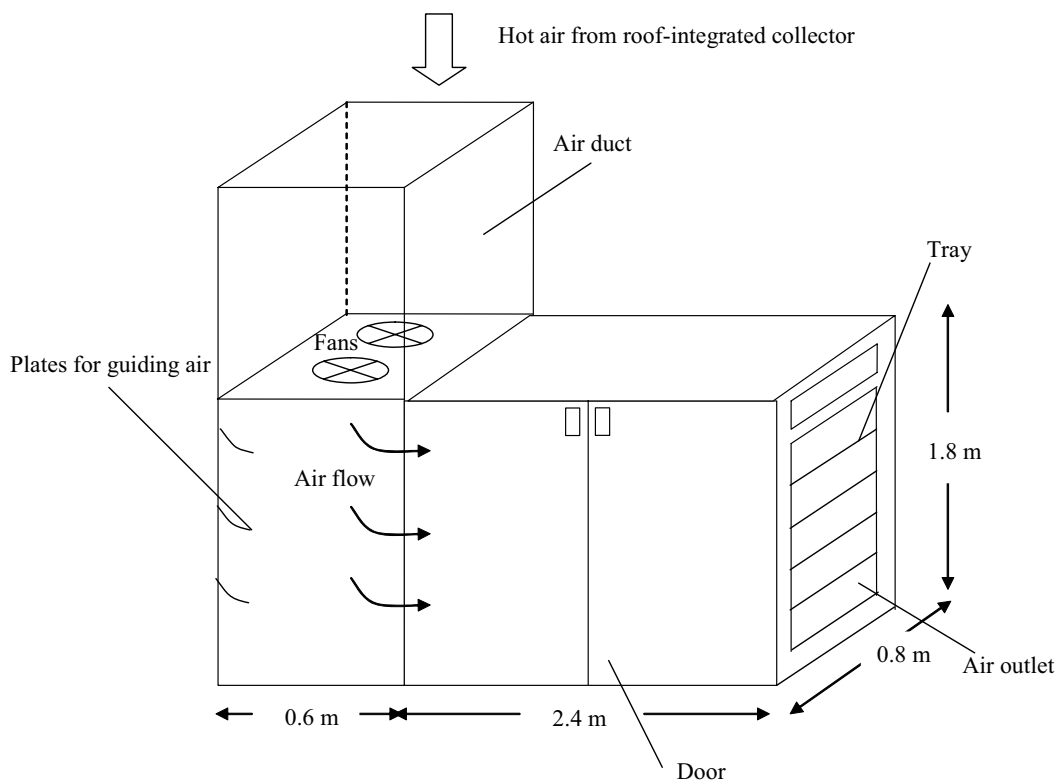
รูปที่ 3.7 ลักษณะของโรงอบแห้ง



รูปที่ 3.8 ลักษณะของโรงอบแห้งที่มีหลังคาเป็นแผ่นรับรังสีความอาทิตย์ที่สร้างเสร็จแล้ว

3.1.2 ตู้อบแห้ง

ตู้อบแห้งของระบบอบแห้งนี้เป็นแบบถูกโดยวางผลิตภัณฑ์เป็นชั้นบางจำนวน 28 ถาด แต่ละถาดมีความกว้าง 0.75 เมตร ยาว 1.2 เมตร มีพื้นที่สำหรับวางผลิตภัณฑ์รวม 25.2 ตารางเมตร ตู้อบจะมีท่อนำอากาศต่อมากจากหลังคาโรงอบแห้งที่เป็นแผงรับรังสีดวงอาทิตย์ ภายในท่อมีพัดลมแบบ axial fan ที่ทำงานด้วยมอเตอร์กระแสตรง (dc motor) โดยพัดลมมีเส้นผ่าศูนย์กลาง 40 เซนติเมตรจำนวน 2 ตัว อากาศที่ถูกดูดจะประทัดกับแผ่นบังคับทิศทางลมเพื่อเบี่ยงแนวทิศการไหล ของอากาศให้เข้าไปยังดาดฟ้าของตู้อบ โดยด้านหน้ามีประตูปิดและเปิด สำหรับนำผลิตภัณฑ์เข้าออก



รูปที่ 3.9 ถังลมของตู้อบแบบถูก



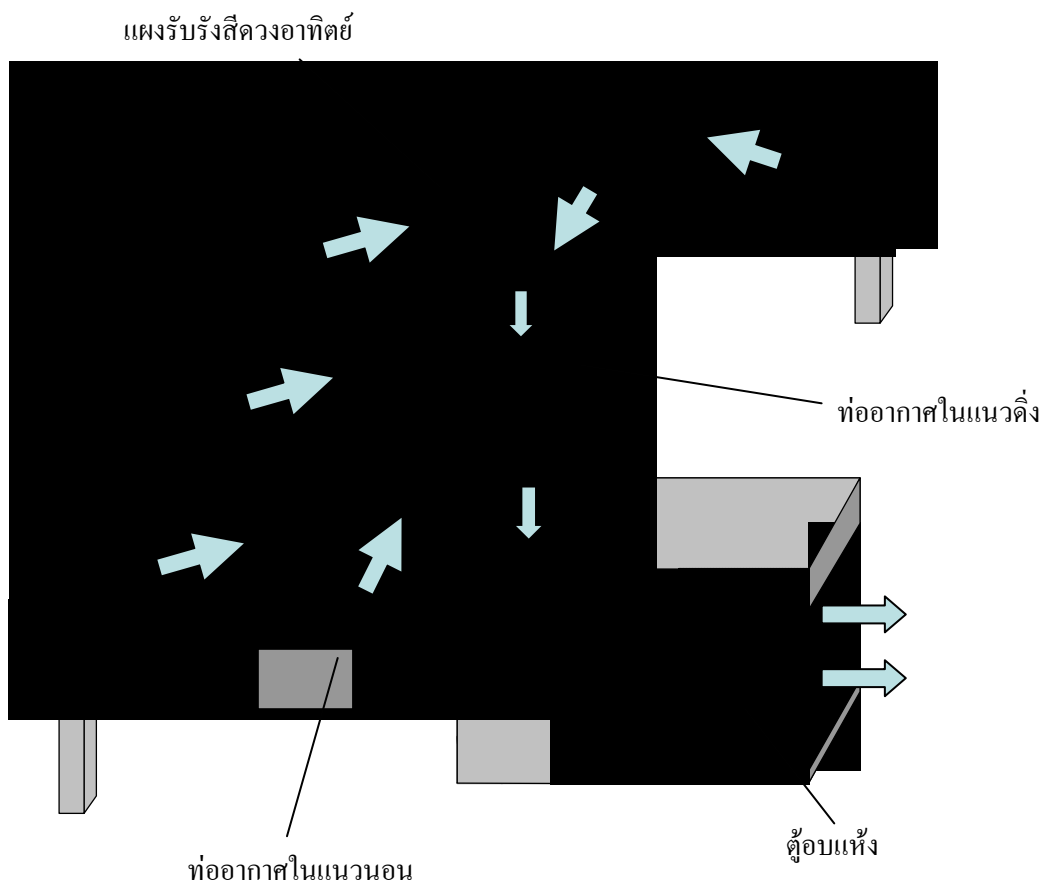
รูปที่ 3.10 ภาพถ่ายของตู้อบและดาดวางผลิตภัณฑ์



รูปที่ 3.10 ภาพถ่ายของตู้อบแห้งที่อยู่ภายในโรงงาน

3.1.3 ระบบระบายอากาศ

ระบบอบแห้งนี้ใช้พัดลมซึ่งทำงานด้วยมอเตอร์กระแสตรงขนาด 72 วัตต์จำนวน 2 ตัว ซึ่งติดตั้งอยู่ในท่ออากาศเพื่อใช้ดูดอากาศร้อนจากแผงรับรังสีดวงอาทิตย์ โดยอากาศจากแผงรับรังสีดวงอาทิตย์ที่ส่งค่านิจจะถูกดูดรวมกันและไหลเข้าไปยังท่ออากาศในแนวจั่วของหลังคาโรงอบแห้ง และมีท่อดูดอากาศในแนวเดิมต่อ กับท่ออากาศในแนวนอน เพื่อนำอากาศลงมาบีบตื้อ บน (รูปที่ 3.11)



รูปที่ 3.11 ท่ออากาศของระบบอบแห้งและทิศทางการไหลของอากาศ

พัดลมดูดอากาศของระบบอบแห้งจะใช้การแสงไฟฟ้าจากแผงโซล่าเซลล์ ขนาด 50 วัตต์ จำนวน 6 แผง โดยต่อ กันแบบขนาน โดยแผงโซล่าเซลล์ดังกล่าวจะติดบริเวณชายคาของโรงอบแห้งทำมุมเอียงประมาณ 30 องศา หันหน้าไปยังทิศใต้ (รูป 3.12)



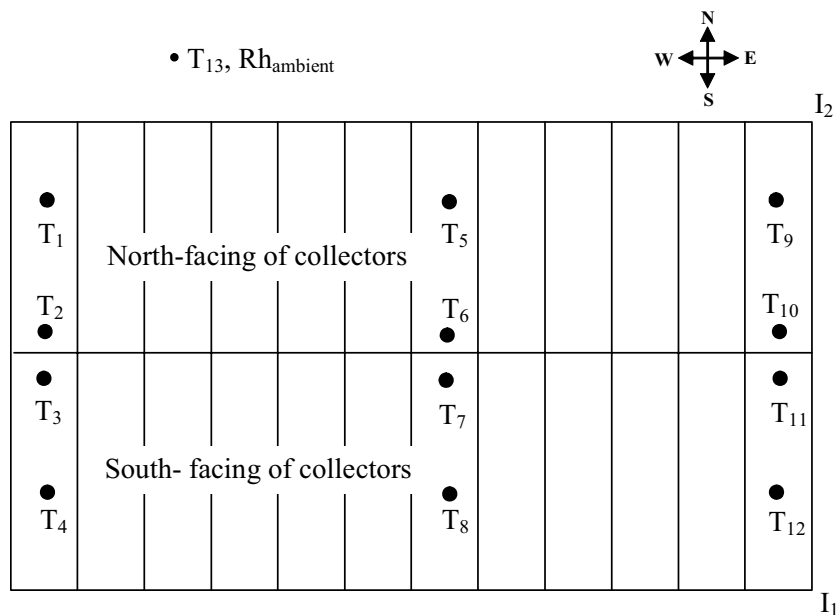
รูปที่ 3.12 ของแผงโซล่าเซลล์ที่ติดตั้งบริเวณชายคาของโรงอบแห้งเพื่อจ่ายกระแสไฟฟ้า
ให้กับพัดลมระบบบายอากาศของระบบอบแห้ง

3.2 การทดสอบสมรรถนะของระบบอบแห้ง

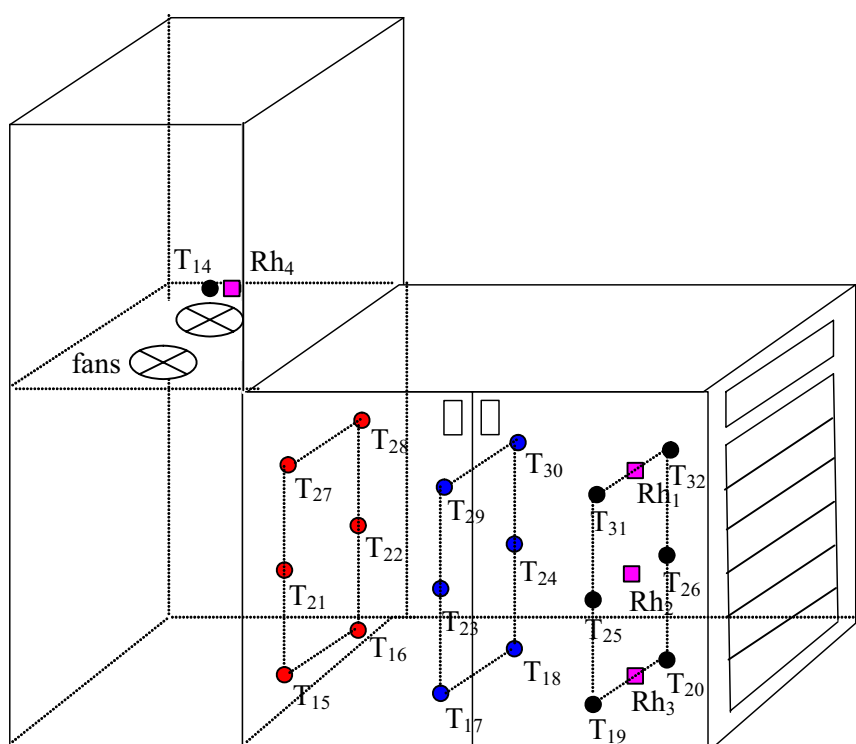
ผู้วิจัยได้ทำการทดสอบสมรรถนะของระบบอบแห้งที่ออกแบบและสร้างขึ้น โดยการใช้ระบบแห้งดังกล่าวอบแห้งกาแฟจำนวน 3 ครั้ง และอบพริกจำนวน 2 ครั้ง ตามรายละเอียดดังนี้

3.2.1 อุปกรณ์การวัดและบันทึกข้อมูล

ในการศึกษาสมรรถนะของเครื่องอบแห้งจำเป็นต้องทราบข้อมูลอุณหภูมิอากาศที่จุดต่างๆ ของระบบ ความชื้นสัมพัทธ์ในอากาศ ความเข้มรังสีดวงอาทิตย์ และการเปลี่ยนแปลงของความชื้นของผลิตภัณฑ์ ดังนั้นผู้วิจัยจึงได้ติดตั้งเครื่องมือวัดตามจุดต่างๆ ดังแผนภูมิในรูปที่ 3.12 ถึง 3.14



รูปที่ 3.13 ตำแหน่งของจุดที่ทำการวัดอุณหภูมิบันແຜรับรังสีดวงอาทิตย์
ซึ่งเป็นหลักของโรงอบ



รูปที่ 3.14 ตำแหน่งของจุดที่ทำการวัดอุณหภูมิและความชื้นสัมพัทธ์ภายในเครื่องอบ

อุปกรณ์ที่ใช้มีดังนี้

- 1) เทอร์โมคัมเบิลชนิดเค (type K) ใช้สำหรับวัดอุณหภูมิตามจุดต่างๆ ของระบบ
- 2) เครื่องวัดความเร็วลมแบบ hot wire ยี่ห้อ Airflow รุ่นTA5 ใช้สำหรับวัดความเร็วลม
ขาเข้าเครื่องอบที่บริเวณท่ออากาศ
- 3) ไฟโรโนมิเตอร์ (pyranometer) ยี่ห้อ KIPP & ZONEN รุ่น CM 11 สำหรับวัดความเข้ม
รังสีคงอาทิตย์ จะใช้ 2 เครื่องวางบนระนาบของแพร์บังรังสีคงอาทิตย์ ทั้ง 2 ด้าน
ของหลังคา
- 4) เครื่องชั่งน้ำหนักแบบดิจิตอล ยี่ห้อ Sartorius รุ่นE2000 D ใช้สำหรับช่วงน้ำหนัก
ตัวอย่างผลิตภัณฑ์ที่อ่อนเพื่อนำมาหาความชื้น
- 5) เครื่องวัดความชื้น ยี่ห้อ Elektronik รุ่น EE23 จำนวน 4 เครื่อง
- 6) ตู้อบไฟฟ้า ยี่ห้อ Fisher Scientific รุ่น ISOTEMP จะใช้สำหรับนำมวลแห้งของ
ผลิตภัณฑ์ที่อบ
- 7) เครื่องบันทึกข้อมูลแบบตัวเลข (data logger) ยี่ห้อ Yokogawa รุ่น DC100 จะใช้สำหรับ
บันทึกข้อมูลอุณหภูมิจากเทอร์โมคัมเบิล ความเข้มรังสีคงอาทิตย์จากไฟโรโนมิเตอร์
และความชื้นจากเครื่องวัดความชื้น



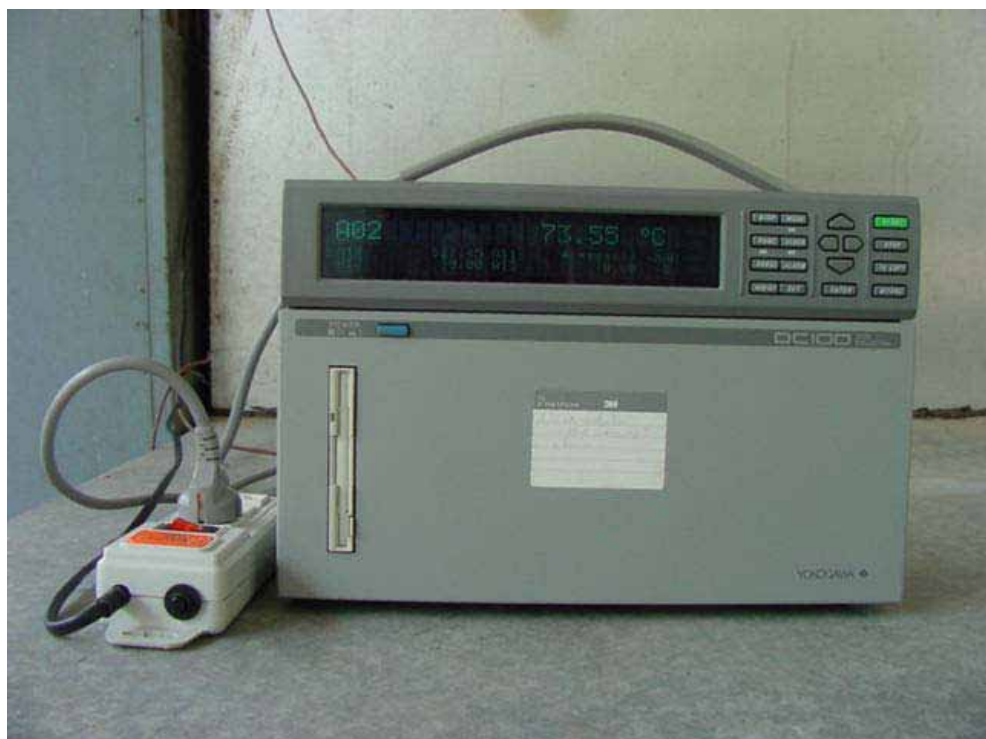
รูปที่ 3.15 เครื่องวัดความชื้นสัมพัทธ์ยี่ห้อ Electronik รุ่น EE23



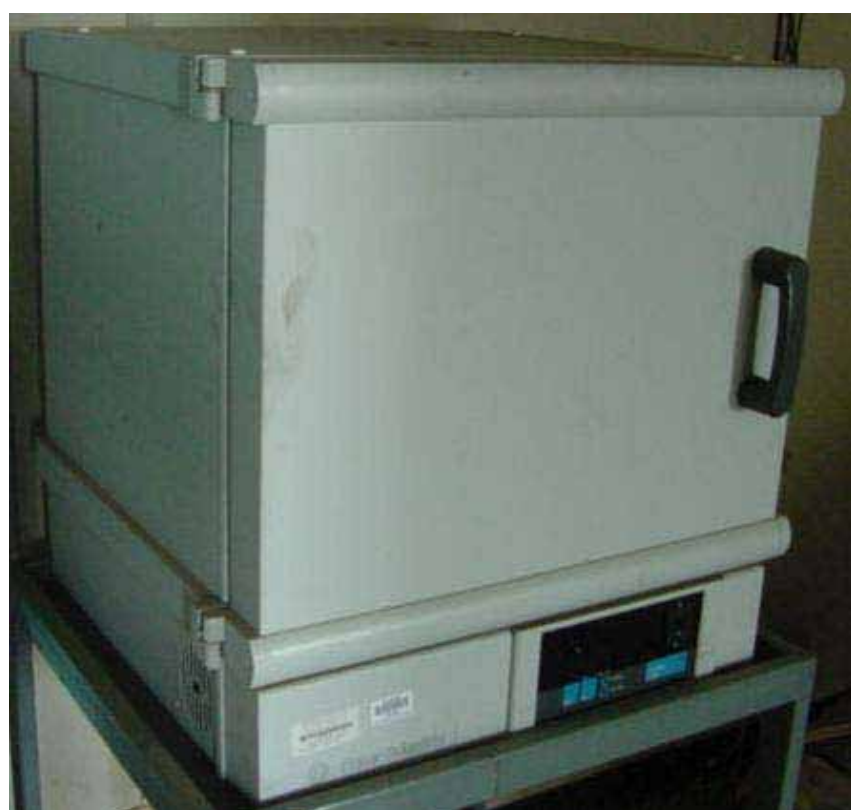
รูปที่ 3.16 เครื่องวัดความเร็วลมแบบ hot wire ยี่ห้อ Airflow รุ่น TA5



รูปที่ 3.17 ไฟราโน้มิเตอร์ ยี่ห้อ KIPP&ZONEN รุ่น CM3



รูปที่ 3.18 เครื่องบันทึกข้อมูล ยี่ห้อ Yokogawa รุ่น DC100



รูปที่ 3.19 ตู้อบไฟฟ้า ยี่ห้อ Fisher Scientific รุ่น ISOTEMP



รูปที่ 3.20 เครื่องชั่งน้ำหนักแบบดิจิตอล ยี่ห้อ Sartorius รุ่น E2000 D

3.2.2 วิธีการทดลอง

ในการทดลองอบแห้งจะใช้ผลิตภัณฑ์ 2 ชนิดคือกาแฟและพริกแดงใหญ่ กรณีของการแพฟหลังจากเด็ดออกจากตื้นแล้วเกยตรกรจะทำการปอกเปลือกออกเหลือแต่เมล็ดกาแฟ ผู้วิจัยได้กาแฟดังกล่าวมาทำการอบจำนวน 3 ครั้งและพริกแดงใหญ่จำนวน 2 ครั้ง ครั้งละ 100 กิโลกรัม กาแฟที่อบจะมีความชื้นเริ่มนั้นประมาณ 55 % (wb) และพริกที่อบจะมีความชื้นเริ่มนั้นประมาณ 81 % (wb) โดยในการทดลองแต่ละครั้ง จะดำเนินการตามขั้นตอนต่อไปนี้

- 1) ชั่งน้ำหนักเริ่มนั้นของผลิตภัณฑ์ที่จะอบและตัวอย่างที่เตรียมไว้ทั้งในเครื่องอบและนำผลิตภัณฑ์วางบนถาดในตู้อบ
- 2) นำตัวอย่างผลิตภัณฑ์ที่เตรียมไว้ใส่กล่องบรรจุตัวอย่างที่มีรูพรุน และนำไปวางภายในตู้อบแห้งในตำแหน่งต่างๆ พร้อมทั้งแบ่งผลิตภัณฑ์ อีกส่วนหนึ่งใส่ตะแกรงตาข่ายด้านนอกสำหรับเบรเยินเทียบผลการทดลอง
- 3) เปิดพัดลมให้ทำงานแล้วบันทึกข้อมูลโดยจะชั่งน้ำหนักของตัวอย่างผลิตภัณฑ์ทุกๆ 3 ชั่วโมง โดยข้อมูลอุณหภูมิ ความชื้น และความเข้มรังสีดวงอาทิตย์จะบันทึกค่าทุก 1 วินาที และนำมาเฉลี่ยทุกๆ 10 นาที เพื่อนำค่าเฉลี่ยไปวิเคราะห์
- 4) ดำเนินการตามขั้นตอนที่ 1 - 4 จนกว่าผลิตภัณฑ์จะแห้ง
- 5) นำตัวอย่างผลิตภัณฑ์ไปอบในตู้อบที่อุณหภูมิ 103 องศาเซลเซียส เป็นเวลา 24 ชั่วโมง เพื่อความปลอดภัย

ในการหาความชื้นของผลิตภัณฑ์จะอาศัยสมการ

$$M(t) = \frac{m_p(t) - m_s}{m_p(t)} \quad (3.1)$$

โดย $M(t)$ = ความชื้นมาตรฐานเปียกที่เวลาใดๆ [%wb]

$m_p(t)$ = มวลของผลิตภัณฑ์ที่เวลาใด [kg]

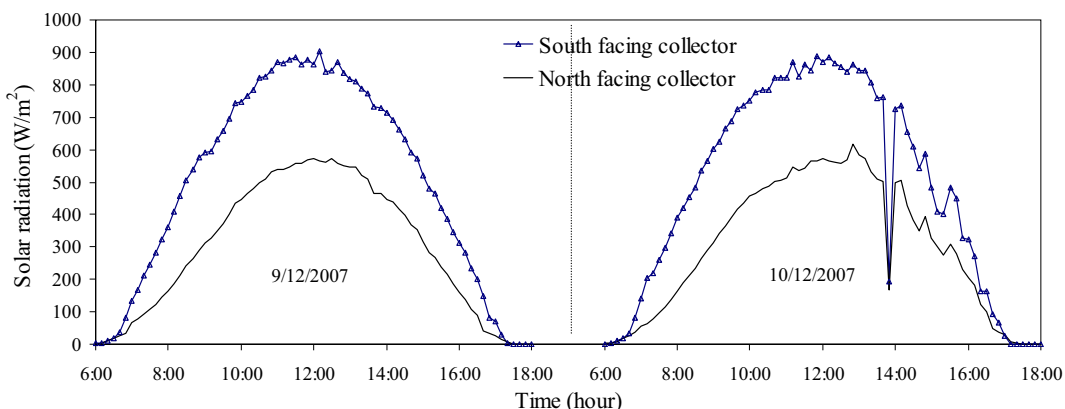
m_s = มวลแห้งของผลิตภัณฑ์ [kg]

3.2.3 ผลการทดลอง

1) การทดลองของกาแฟ

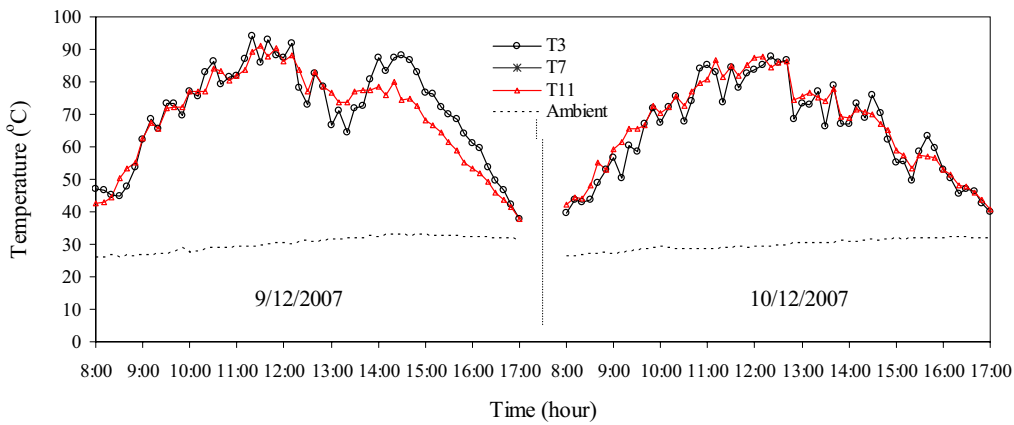
ก) การทดลองครั้งที่ 1

การทดลองครั้งที่ 1 ดำเนินการในช่วงวันที่ 9-10 ธันวาคม พ.ศ. 2550

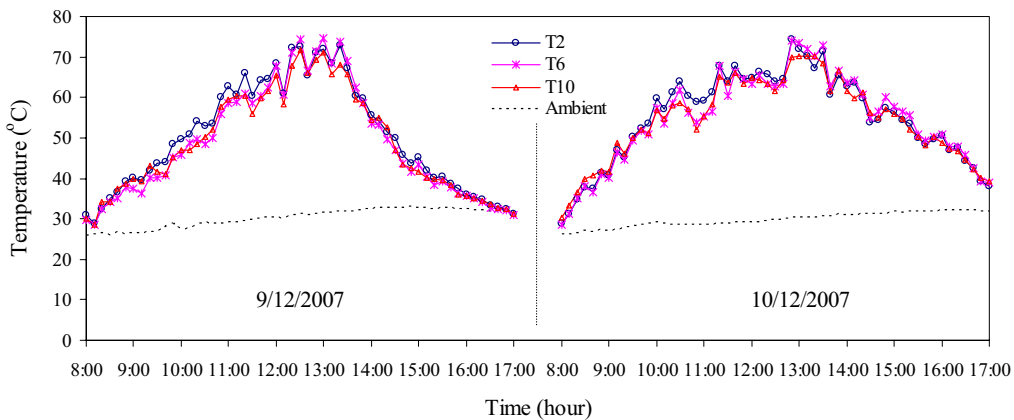


รูปที่ 3.21 การเปรียบเทียบความเข้มรังสีดวงอาทิตย์ของแผงรับรังสีดวงอาทิตย์บนหลังคาด้านทิศเหนือและใต้จากการทดลองครั้งที่ 1 ระหว่างวันที่ 9-10 ธันวาคม พ.ศ.2550

จากรูป 3.21 เนื่องจากเดือนธันวาคมราบรื่นของดวงอาทิตย์จะอยู่ทางใต้ของระนาบศูนย์สูตรของโลก ดังนั้นแผงรับรังสีดวงอาทิตย์ทางทิศใต้จึงได้รับรังสีดวงอาทิตย์มากกว่าแผงรับรังสีดวงอาทิตย์ทางทิศเหนือ วันที่ 9 ธันวาคม 2550 ท้องฟ้าปราศจากเมฆล่ำซับให้รังสีดวงอาทิตย์เพิ่มขึ้นอย่างสม่ำเสมอจนสูงที่สุดประมาณ 900 วัตต์ต่อตารางเมตรในเวลา 12.00 น. และลดลงอย่างสม่ำเสมอจนถึงเวลา 17.00 น. วันที่ 10 ธันวาคม 2550 ในช่วงเช้าท้องฟ้าปราศจากเมฆรังสีดวงอาทิตย์เพิ่มขึ้นอย่างต่อเนื่องจนสูงที่สุดในเวลา 12.00 น. หลังจากนั้นเริ่มมีเมฆเป็นบางส่วนทำให้รังสีดวงอาทิตย์มีค่าไม่สม่ำเสมอ



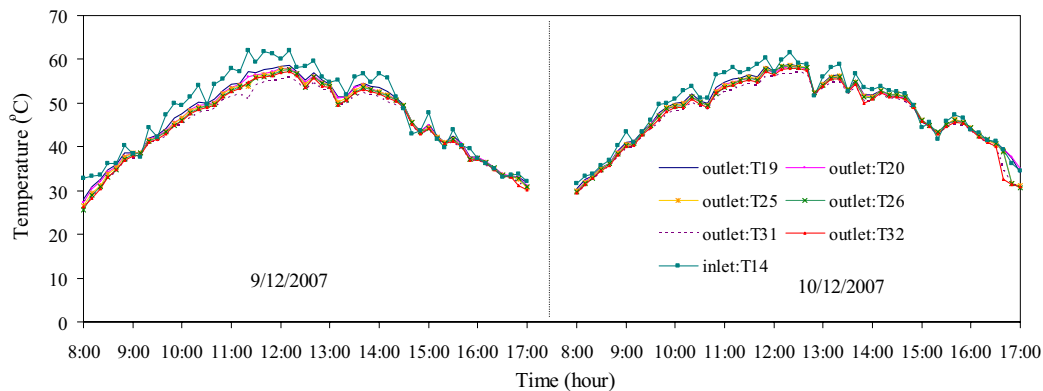
รูปที่ 3.22 การเปลี่ยนแปลงอุณหภูมิอากาศแวดล้อม และอุณหภูมิอากาศที่ออกจากแพงรับรังสี
ดวงอาทิตย์ทางด้านทิศใต้



รูปที่ 3.23 การเปลี่ยนแปลงอุณหภูมิอากาศแวดล้อม และอุณหภูมิอากาศที่ออกจากแพงรับรังสี
ดวงอาทิตย์ทางด้านทิศเหนือ

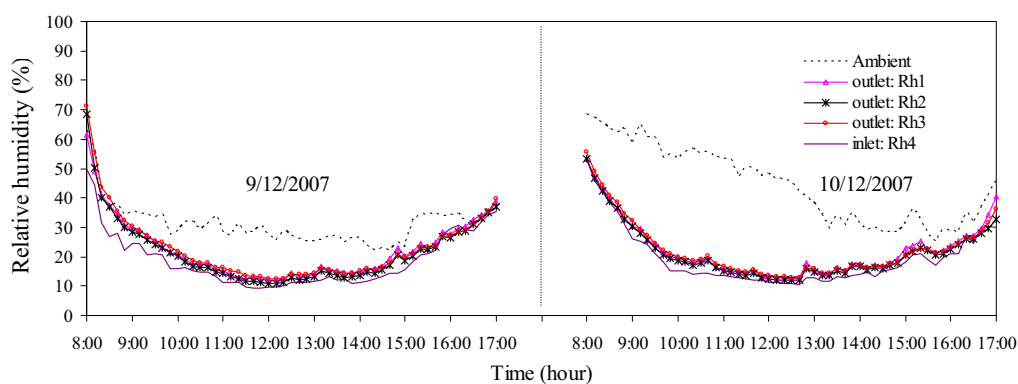
จากรูป 3.22-3.23 แสดงอุณหภูมิอากาศแวดล้อมและอุณหภูมิอากาศที่ออกจากแพงรับรังสีดวงอาทิตย์ เนื่องจากแพงรับรังสีดวงอาทิตย์ทางทิศใต้ได้รับรังสีดวงอาทิตย์มากกว่าแพงรับรังสีดวงอาทิตย์ทางทิศเหนือ ดังนั้นอุณหภูมิอากาศที่ออกจากแพงรับรังสีดวงอาทิตย์ทางด้านทิศใต้จึงมีค่ามากกว่าอุณหภูมิอากาศที่ออกจากแพงรับรังสีดวงอาทิตย์ทางด้านทิศเหนือ

จากนั้นอุณหภูมิอากาศจากแพงรับรังสีดวงอาทิตย์จะลดลง 2-3 องศาเซลเซียส เนื่องจากการสูญเสียความร้อนที่ท่อน้ำอากาศก่อนจะมายังตู้อบ การเปลี่ยนแปลงอุณหภูมิที่เข้าและออกจากตู้อบ มีความสอดคล้องกับความชื้นสัมพัทธ์ที่เข้าและออกจากตู้อบ ดังรูปที่ 3.24-3.25



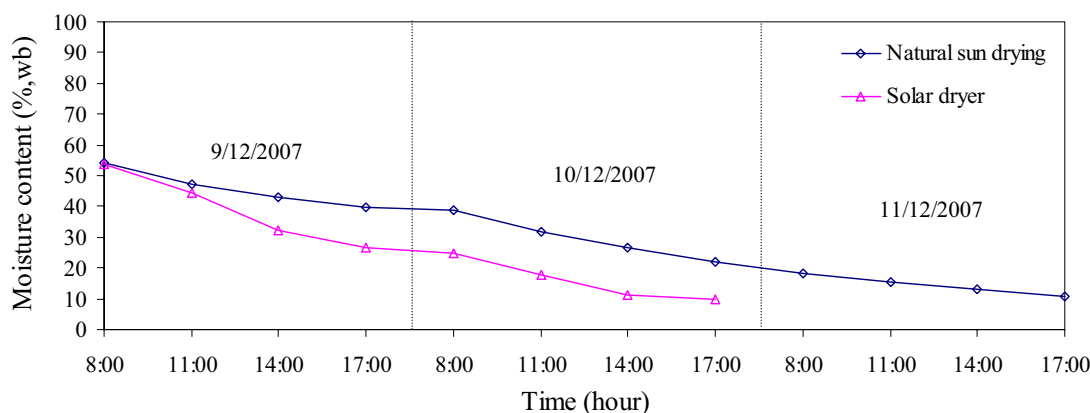
รูปที่ 3.24 การแปรค่าของอุณหภูมิที่เข้าและออกจากตู้อบแห้ง

อุณหภูมิกายในตู้อบสูงที่สุดในตอนเที่ยงวันประมาณ 60 องศาเซลเซียส ซึ่งสอดคล้องกับความชื้นสัมพัทธ์ที่น้อยที่สุดในตอนเที่ยงวันประมาณ 10% ในวันท่องฟ้าปราศจากเมฆอุณหภูมิในตู้อบจะเพิ่มขึ้นจนลิงเที่ยงวัน เมื่อพิจารณากราฟของความชื้นสัมพัทธ์อากาศจะเห็นว่ามีค่าลดลงจากช่วงเข้าจนถึงค่าต่ำสุดในตอนเที่ยงและเพิ่มขึ้นในตอนเย็น เมื่อเทียบกับความชื้นสัมพัทธ์ของอากาศแวดล้อม จะพบว่าอากาศภายในเครื่องอบแห้งมีความชื้นสัมพัทธ์ต่ำกว่าอากาศแวดล้อม ทำให้อากาศภายในเครื่องอบแห้งมีศักยภาพในการอบแห้งสูงกว่าอากาศแวดล้อม



รูปที่ 3.25 การแปรค่าความชื้นสัมพัทธ์ของอากาศแวดล้อม อากาศที่ไหลเข้าตู้อบและอากาศที่ไหลออกจากการตู้อบแห้ง

ในวันท่องฟ้าปราศจากเมฆสามารถอบกาแฟที่มีความชื้นเริ่มต้น 53% (wb) ให้เหลือ 10% (wb) ในเวลาสองวันหรือ 18 ชั่วโมงที่มีแสงแดด ส่วนการตากแดดตามธรรมชาติเหลือความชื้นประมาณ 22% (wb) ในเวลาที่เท่ากันดังรูป 3.26



รูปที่ 3.26 การเปรียบเทียบความชื้นกับเวลาของกาแฟที่อบโดยตู้อบแห้งและตากแดดตามธรรมชาติ

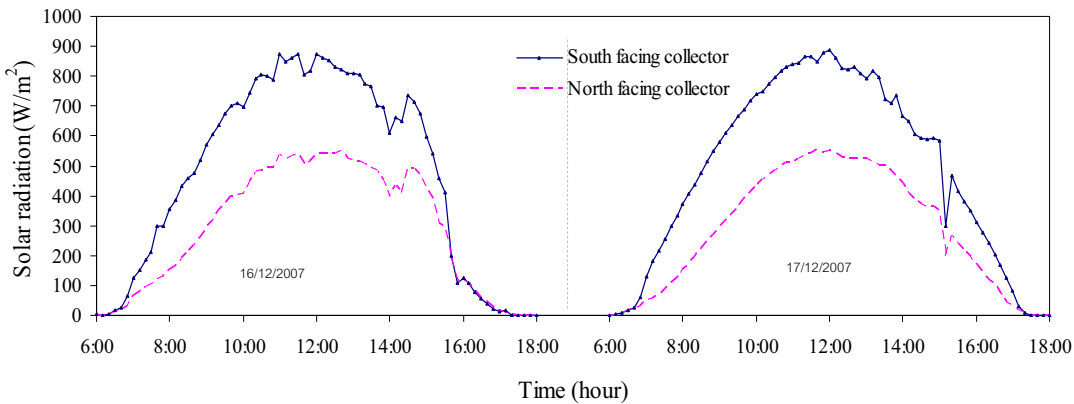
จากรูป 3.26 วันแรกสังเกตได้ว่าความชื้นจะลดลงช้าๆ ในช่วงเช้าและจะลดเร็วขึ้นในช่วงบ่าย ในวันที่สองสังเกตได้ว่าความชื้นของกาแฟค่อนข้างจะคงที่ในช่วงเย็นความชื้นสูดท้ายที่ได้การคือ 10% (wb) และสำหรับกาแฟที่ตากแดดตามธรรมชาติความชื้นอยู่ที่ประมาณ 18% (wb) และยังคงลดลงต่อไป

๒) การทดลองครั้งที่ 2

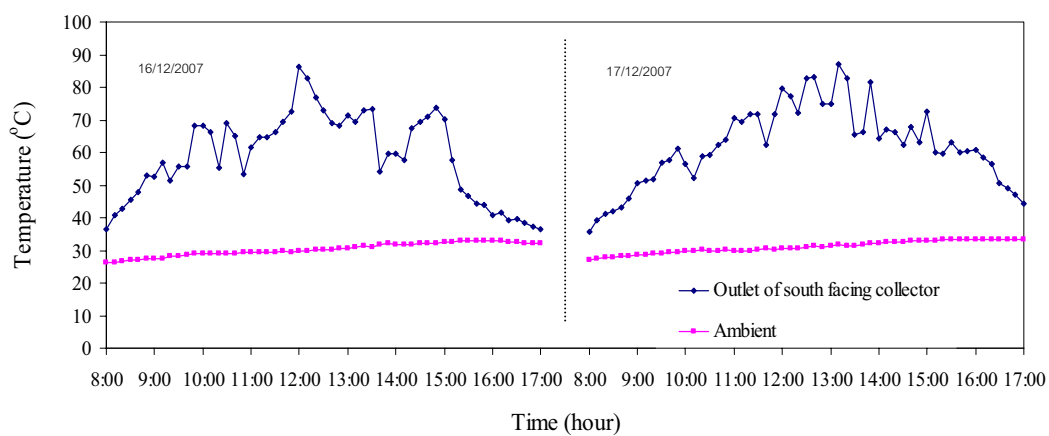
การทดลองครั้งที่ 2 ดำเนินการทดลองระหว่างวันที่ 16-17 ธันวาคม 2550 โดยใช้กาแฟสดจำนวน 100 กิโลกรัม ในวันแรกห้องฟ้าแจ่มใสทดลองทั้งวัน สำหรับวันที่สองห้องฟ้าค่อนข้างแจ่มใสเมื่อเล็กน้อยในช่วงเวลาประมาณ 15:30-16:00น ซึ่งสังเกตได้จากการฟุความเข้มรังสีดวงอาทิตย์ในรูปที่ 3.27

พิจารณาอุณหภูมิที่ pengrung รังสีดวงอาทิตย์ทางด้านทิศใต้ กับอุณหภูมิที่ pengrung รังสีดวงอาทิตย์ทางด้านทิศเหนือ ในวันต่างๆพบว่า ในวันแรกอุณหภูมิที่ pengrung รังสีดวงอาทิตย์ทางด้านทิศเหนือมีค่าสูงสุดประมาณ 70°C และอุณหภูมิที่ pengrung รังสีดวงอาทิตย์ทางด้านทิศใต้มีค่าสูงสุดประมาณ 83°C ในวันที่สองอุณหภูมิของอากาศที่ pengrung รังสีจะมีค่าใกล้เคียงกับวันแรก โดยอุณหภูมิที่ pengrung รังสีดวงอาทิตย์ทางด้านทิศเหนือ มีค่าสูงสุดประมาณ 70°C และอุณหภูมิที่ pengrung รังสีดวงอาทิตย์ทางด้านทิศใต้มีค่าสูงสุดประมาณ 80°C ดังแสดงในรูปที่ 3.28 ถึง 3.29 เมื่อพิจารณาอุณหภูมิอากาศที่ทางเข้าตู้อบจะเปรียบตามความเข้มรังสีดวงอาทิตย์ในแต่ละวัน (รูปที่ 3.30) ในด้านของความชื้นสัมพัทธ์ของอากาศ จากกราฟรูปที่ 3.31 จะเห็นว่าอากาศที่ได้รับจาก pengrung รังสีดวงอาทิตย์ที่ให้แสงเข้าตู้อบจะมีความชื้นสัมพัทธ์ต่ำกว่าอากาศแวดล้อมมาก และเมื่อให้ผ่านผลิตภัณฑ์จะมีค่าเพิ่มขึ้น เนื่องจากได้รับความชื้นจากผลิตภัณฑ์และอุณหภูมิที่ลดลง

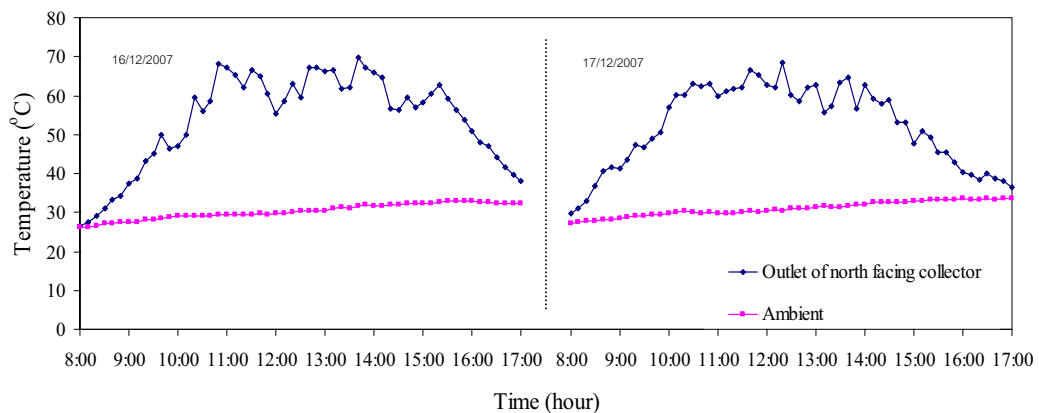
พิจารณาความชื้นของการไฟในวันแรกจะลดลงค่อนข้างช้าจากนั้นในวันที่ 2 จะมีค่าลดลงอย่างรวดเร็ว โดยความชื้นลดลงจนถึงประมาณ 10 % (wb) ในตอนเย็นของวันที่ 2 ของการอบหลังจากอบแห้งแล้วได้กาแฟแห้ง 40 กิโลกรัม โดยกาแฟที่อบในตู้จะแห้งเร็วกว่าตัวอย่างที่ตากแดดตามธรรมชาติ



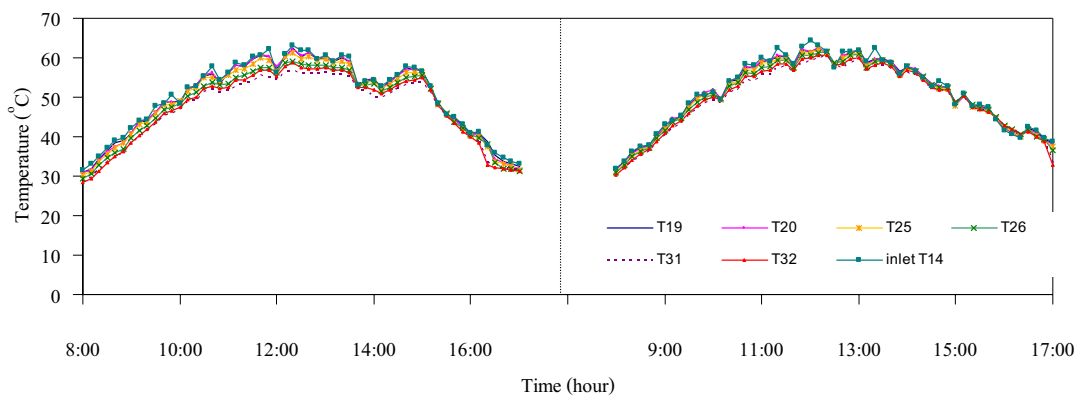
รูปที่ 3.27 การแปรค่าของความเข้มรังสีดวงอาทิตย์ของแผงรับรังสีดวงอาทิตย์บนหลังคาด้านทิศเหนือและใต้



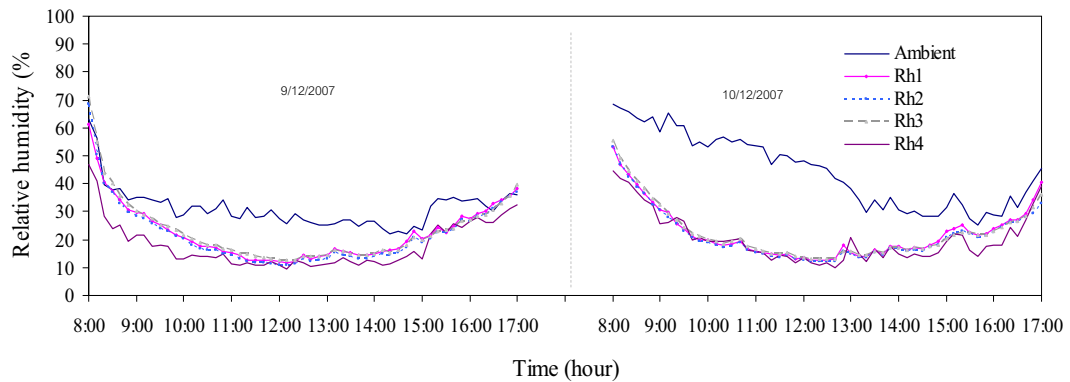
รูปที่ 3.28 การแปรค่าของอุณหภูมิอากาศแวดล้อม และอุณหภูมิอากาศที่ออกจากการแผงรับรังสีดวงอาทิตย์ทางด้านทิศใต้



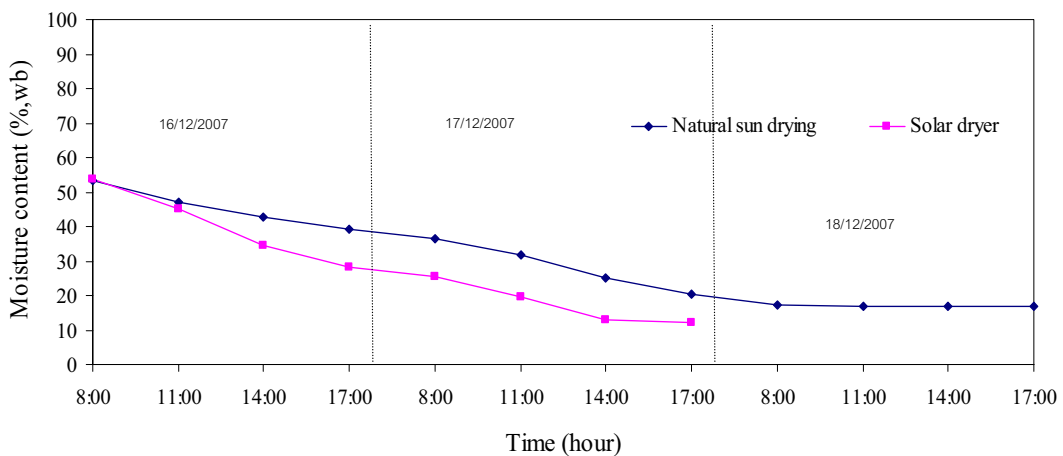
รูปที่ 3.29 การแปรค่าของอุณหภูมิอากาศแวดล้อม และอุณหภูมิอากาศที่ออกจากการแผงรับรังสีด้วยอาทิตย์ทางด้านทิศเหนือ



รูปที่ 3.30 การแปรค่าของอุณหภูมิที่เข้าและออกจากตู้อบแห้ง



รูปที่ 3.31 การเปรียบเทียบความชื้นสัมพัทธ์ของอากาศแวดล้อม อากาศที่ไหหลำเข้าซื้อบ และอากาศที่ไหหลำออกจากตู้อบแห้ง



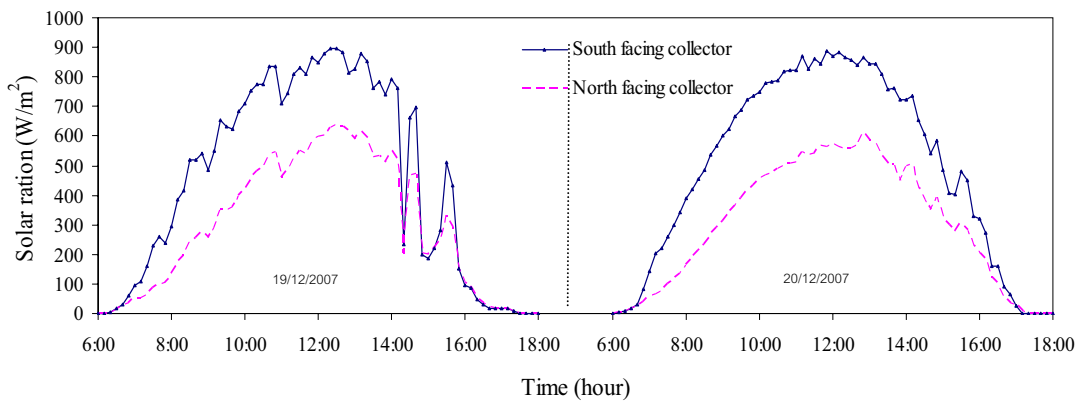
รูปที่ 3.32 เปรียบเทียบความชื้นกับเวลาของกาแฟที่อบโดยตู้อบแห้งและตากแดดตามธรรมชาติ

ค) การทดลองครั้งที่ 3

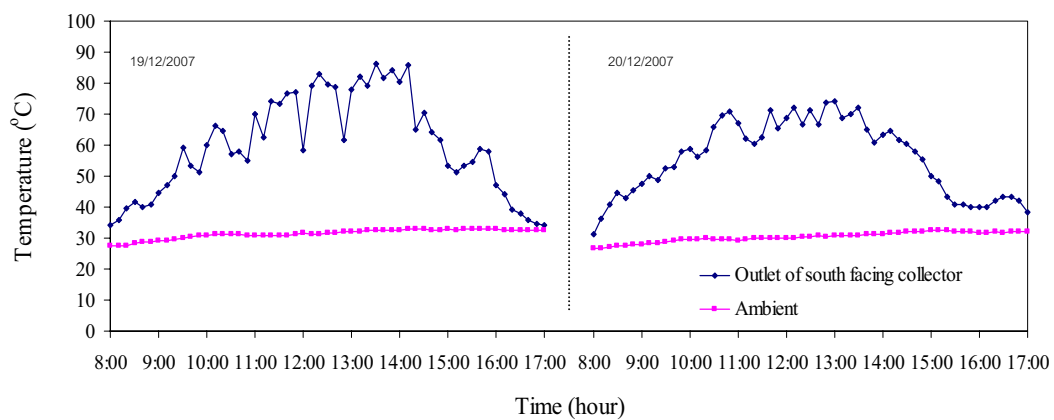
การทดลองครั้งที่ 3 ดำเนินการทดลองระหว่างวันที่ 19-20 ธันวาคม 2550 โดยใช้ กาแฟสด จำนวน 100 กิโลกรัม ในวันแรกท้องฟ้ามีเมฆตลอดทั้งวันและมีฝนตกในช่วงเวลาประมาณ 14:00-15:30น สำหรับวันที่สอง ท้องฟ้าค่อนข้างแจ่มใสเกือบตลอดทั้งวันมีเมฆมากในช่วงเวลา 15:00-16:00น ซึ่งสังเกตได้จากการความเข้มรังสีดวงอาทิตย์ในรูปที่ 3.33

พิจารณาอุณหภูมิที่ pengrับรังสีดวงอาทิตย์ทางด้านทิศใต้ กับอุณหภูมิที่ pengrับรังสีดวงอาทิตย์ทางด้านทิศเหนือ พบร่วมกันในวันแรกอุณหภูมิที่ pengrับรังสีดวงอาทิตย์ทางด้านทิศเหนือมีค่าสูงสุดประมาณ 70°C และอุณหภูมิที่ pengrับรังสีดวงอาทิตย์ทางด้านทิศใต้มีค่าสูงสุดประมาณ 83°C ในวันที่สองอุณหภูมิของอากาศที่ pengrับรังสีจะมีค่าใกล้เคียงวันแรกโดยอุณหภูมิที่ pengrับรังสีดวงอาทิตย์ทางด้านทิศเหนือมีค่าสูงสุดประมาณ 73°C และอุณหภูมิที่ pengrับรังสีดวงอาทิตย์ทางด้านทิศใต้มีค่าสูงสุดประมาณ 76°C ดังแสดงในรูปที่ 3.34 ถึง 3.35 เมื่อพิจารณาอุณหภูมิอากาศที่ทางเข้าตู้อบจะเปรียบเทียบความเข้มรังสีดวงอาทิตย์มีค่าสูงที่สุดในวันแรกประมาณ 62°C และวันที่สองมีค่าสูงที่สุดประมาณ 60°C (รูปที่ 3.36) ในด้านของความชื้นสัมพัทธ์ของอากาศ จากกราฟรูปที่ 3.37 จะเห็นว่าอากาศที่ได้รับจาก pengrับรังสีดวงอาทิตย์ที่ให้ผลลัพธ์ที่มีความชื้นสัมพัทธ์ต่ำกว่าอากาศแวดล้อมมากตามกราฟรูปที่ 3.37

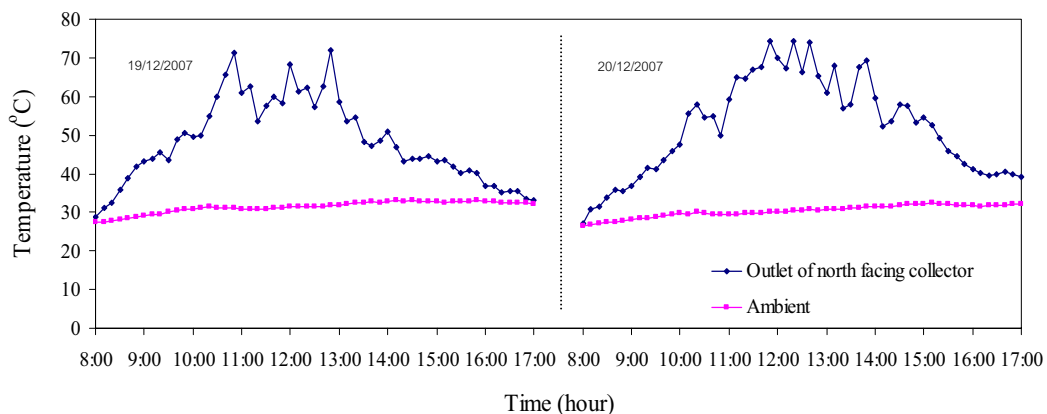
ความชื้นของกาแฟในวันแรกจะลดลงค่อนข้างช้าในตอนเช้าและลดลงเหลือประมาณ 30 % (wb) ในเวลา 18.00น จากนั้นในวันที่สองจะมีค่าลดลงอย่างรวดเร็วโดยความชื้นลดลงจนถึงประมาณ 10 % (wb) หลังจากอบแห้งแล้วได้กาแฟแห้งประมาณ 40 กิโลกรัม โดยกาแฟที่ตากแดดตามธรรมชาติยังคงลดลงต่อไป



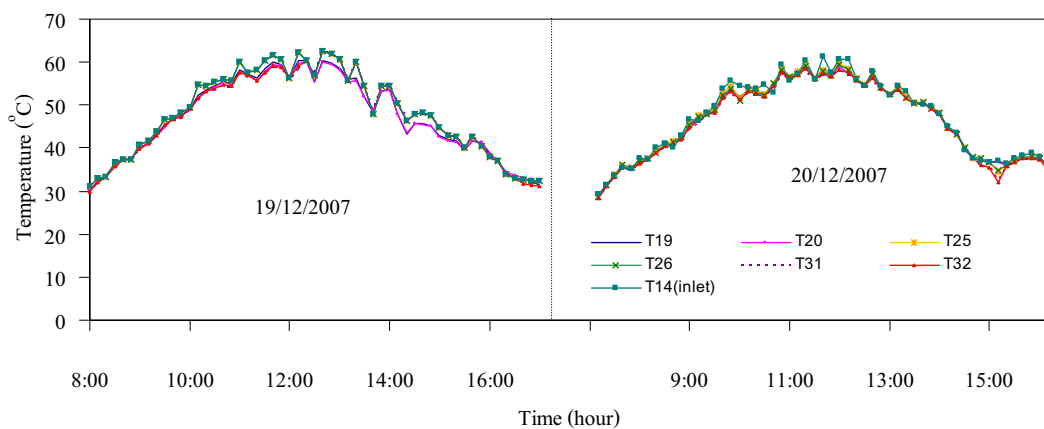
รูปที่ 3.33 การแปรค่าของความเข้มรังสีดวงอาทิตย์ของแผงรับรังสีดวงอาทิตย์บนหลังคาด้านทิศเหนือและใต้



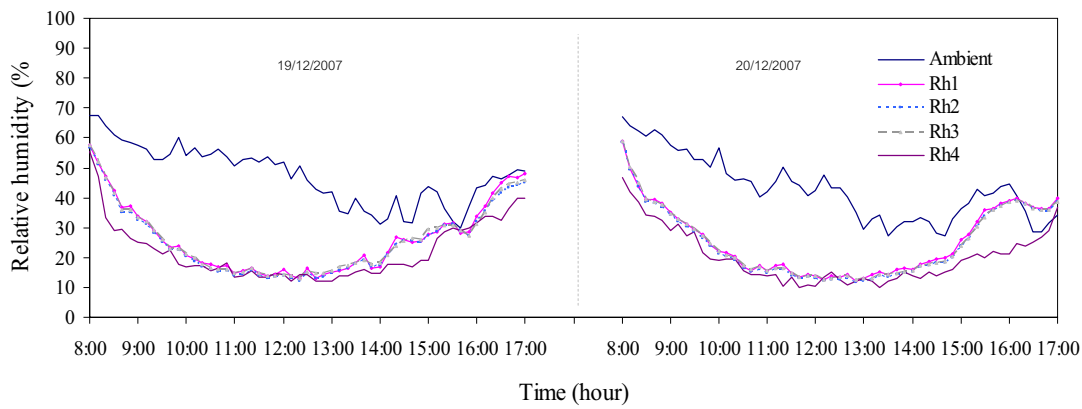
รูปที่ 3.34 การแปรค่าของอุณหภูมิอากาศแวดล้อม และอุณหภูมิอากาศที่ออกจากการแผงรับรังสีดวงอาทิตย์ทางด้านทิศใต้



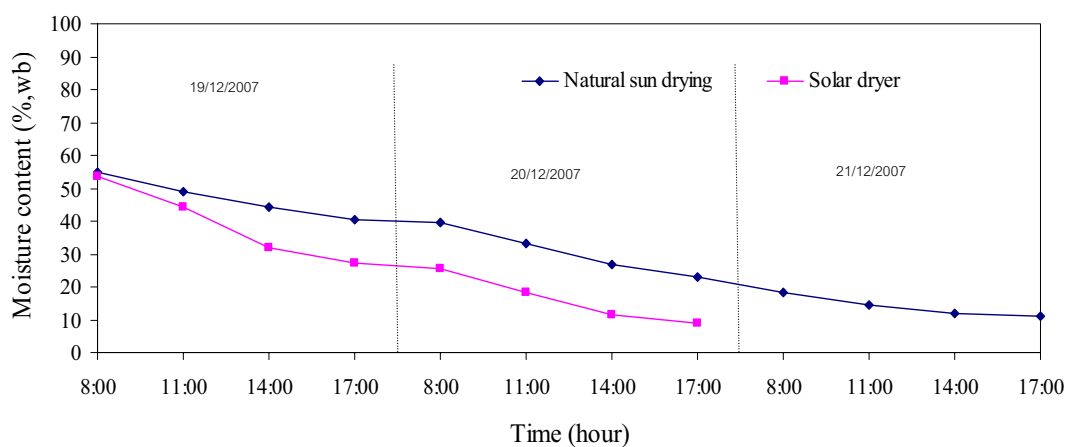
รูปที่ 3.35 การแปรค่าของอุณหภูมิอากาศแวดล้อม และอุณหภูมิอากาศที่ออกจากการแผงรับรังสีด้วย
อาทิตย์ทางด้านทิศเหนือ



รูปที่ 3.36 การแปรค่าของอุณหภูมิที่เข้าและออกจากรั้อนแห่ง



รูปที่ 3.37 การแปรค่าความชื้นสัมพัทธ์ของอากาศเวดล็อม อากาศที่ไหหลวงเข้าตู้อบ และอากาศที่ไหหลวงออกจากตู้อบแห้ง

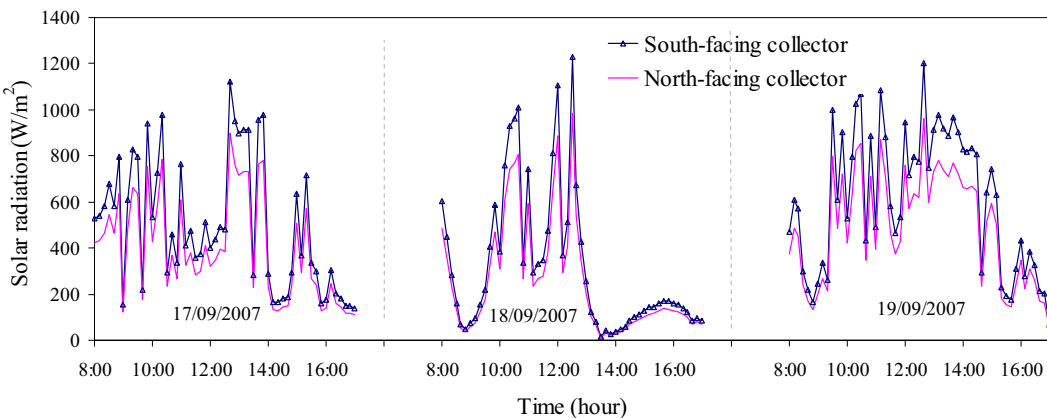


รูปที่ 3.38 เปรียบเทียบความชื้นกับเวลาของกาแฟที่อบโดยตู้อบแห้งและตากแดดตามธรรมชาติ

2) การทดลองอบพริก

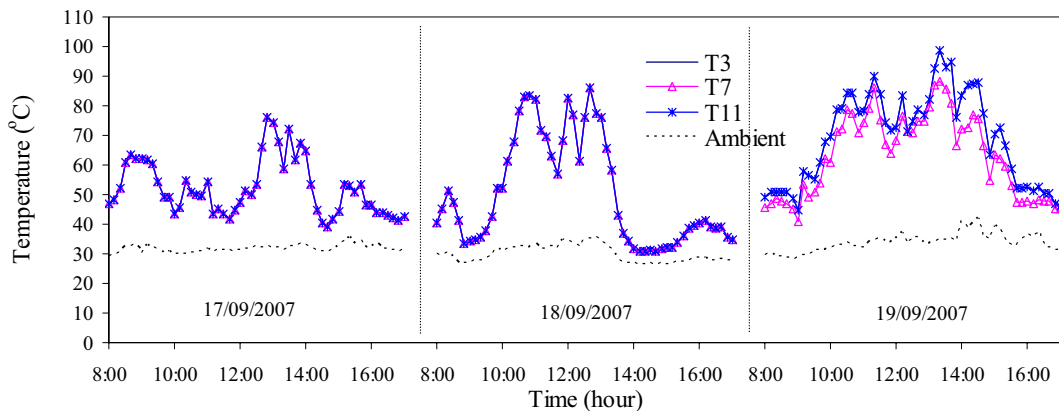
ก) การทดลองครั้งที่ 1

การทดลองครั้งที่ 1 ดำเนินการระหว่างวันที่ 17-19 กันยายน 2550 เนื่องจากการทดลองครั้งนี้อยู่ในช่วงเดือนกันยายนซึ่งมีฝนตกชุกและมีเมฆมาก ดังแสดงผลการทดลองตามรูปที่ 3.39-3.43 ค่าของรังสีความอาทิตย์ที่àngรับรังสีความอาทิตย์ทางทิศเหนือและใต้แสดงตั้งรูปที่ 3.39



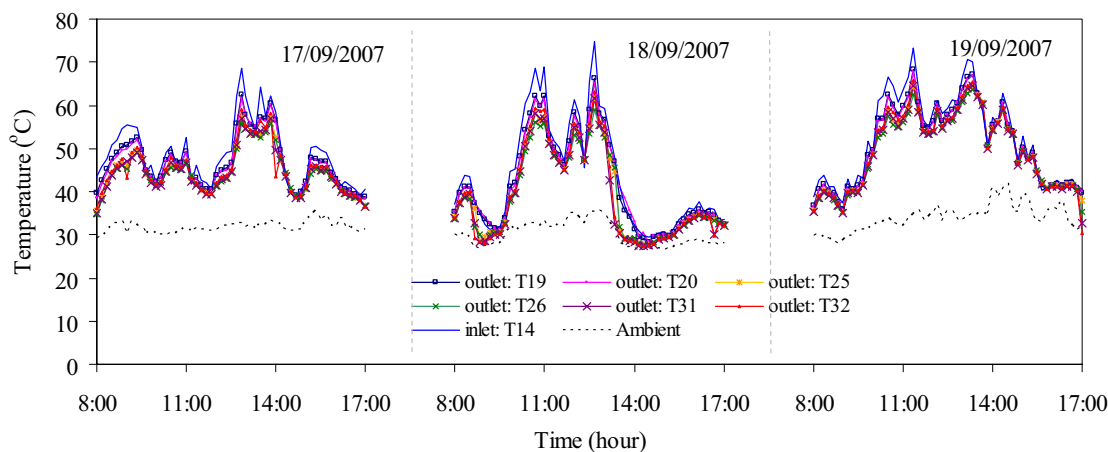
รูปที่ 3.39 การเปรียบเทียบของอุณหภูมิอากาศแวดล้อม และอุณหภูมิอากาศที่ออกจากการรับรังสีความอาทิตย์ทางด้านทิศเหนือและใต้

จากรูปที่ 3.39 ในเดือนกันยายนระนาบของดวงอาทิตย์จะอยู่ใกล้กับระนาบศูนย์สูตร ดังนั้น ค่ารังสีความอาทิตย์ที่ตกกระทบบนแผงรับแสงทางด้านหน้าเหนือและทางด้านใต้มีค่าใกล้เคียงกัน จะเห็นได้ว่าค่าของรังสีความอาทิตย์ไม่สม่ำเสมอขึ้นกับปริมาณเมฆ ส่งผลให้อุณหภูมิที่ออกจากการรับรังสีความอาทิตย์มีค่าไม่สม่ำเสมอดังรูป 3.40-3.41

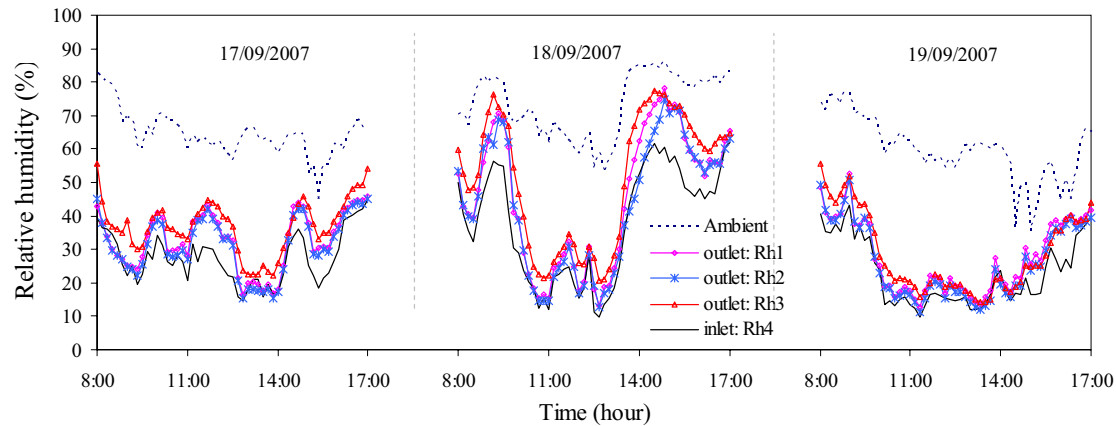


รูปที่ 3.40 การแปรค่าของอุณหภูมิอากาศเวคล็อก และอุณหภูมิอากาศที่ออกจากการรับรังสีความอาทิตย์ทางด้านทิศเหนือ

อุณหภูมิอากาศที่เข้าและออกจากตู้อบแห้งและอุณหภูมิเวคล็อก ความชื้นสัมพัทธ์ภายในตู้อบและความชื้นสัมพัทธ์เวคล็อกแสดงดังรูปที่ 3.41-3.42



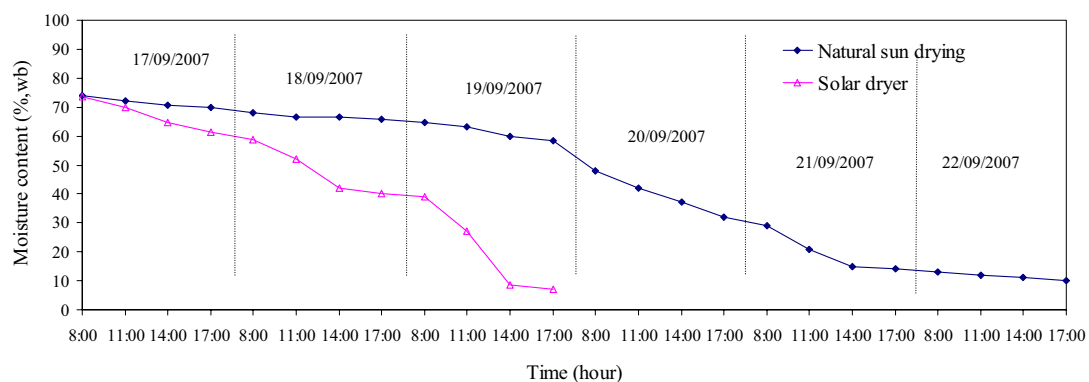
รูปที่ 3.41 การแปรค่าของอุณหภูมิที่เข้าและออกจากตู้อบแห้ง



รูปที่ 3.42 การเปรียบค่าความชื้นสัมพัทธ์ของอากาศแวดล้อม อากาศที่ไหหลอดซื้ออบแห้งและอากาศที่ไหหลอดจากซื้ออบแห้ง

อุณหภูมิของอากาศในตู้อบแห้งจะสูงที่สุดตอนเที่ยงวัน ซึ่งสอดคล้องกับความชื้นสัมพัทธ์ที่ต่ำที่สุด อุณหภูมิแวดล้อมและความชื้นสัมพัทธ์แวดล้อมมีค่าต่ำกว่าและสูงกว่าในตู้อบตามลำดับ

ความชื้นของพริกที่ใช้อบเริ่มต้นที่ 74 %(wb) และจะลดลงเหลือ 10 %(wb) ในเวลาสามวัน หรือ 27 ชั่วโมงที่มีแสงอาทิตย์ ส่วนตัวอย่างที่ตากแดดตามธรรมชาติใช้เวลาถึงหกวันดังแสดงในรูปที่ 3.43



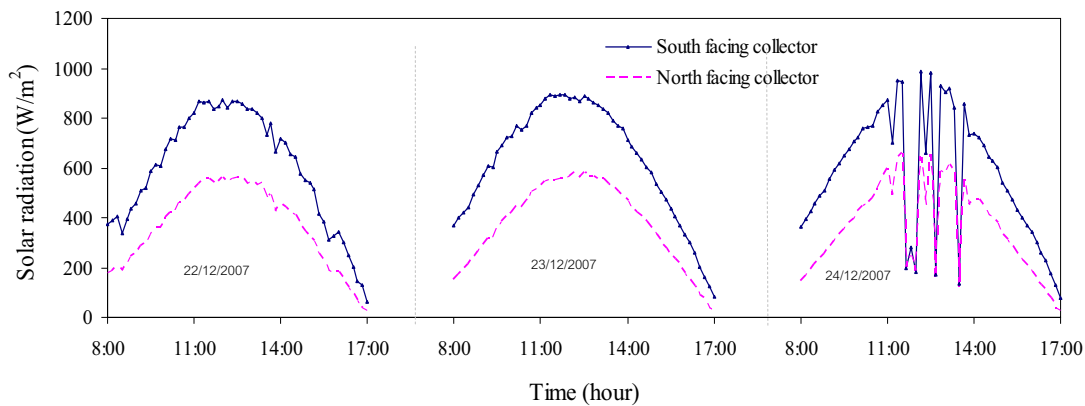
รูปที่ 3.43 การเปรียบเทียบความชื้นกับเวลาของกาแฟที่อบโดยตู้อบแห้งและตากแดดตามธรรมชาติ

ข) การทดลองครั้งที่ 2

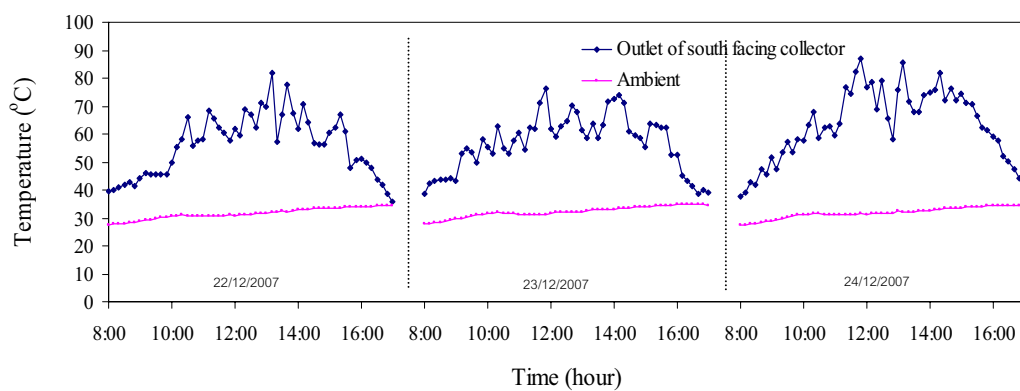
การทดลองครั้งที่ 2 ดำเนินการทดลองระหว่างวันที่ 22-24 ธันวาคม 2550 โดยใช้พริกจำนวน 100 กิโลกรัม ในวันแรกและวันที่สองท้องฟ้าไม่มีเมฆบางส่วนตลอดทั้งวัน สำหรับวันที่สามท้องฟ้ามีเมฆมากและมีฝนตกในช่วงเวลาประมาณ 11:30-13:30น ซึ่งสังเกตได้จากการภาพความเข้มรังสีดวงอาทิตย์ในรูปที่ 3.44

พิจารณาอุณหภูมิที่ pengrung สีดวงอาทิตย์ทางด้านทิศใต้กับอุณหภูมิที่ pengrung สีดวงอาทิตย์ทางด้านทิศเหนือ ในวันต่างๆ อุณหภูมิที่ออกจากการ pengrung สีดวงอาทิตย์ตลอดทั้งสามวันมีค่าไม่สม่ำเสมอ โดยเปลี่ยนแปลงตามค่าความเข้มรังสีดวงอาทิตย์ที่ได้รับ โดยอุณหภูมิที่ออกจากการ pengrung สีดวงอาทิตย์ทางด้านทิศใต้มีค่าสูงกว่าอุณหภูมิที่ออกจากการ pengrung สีดวงอาทิตย์ทางด้านทิศเหนือประมาณ $7-8^{\circ}\text{C}$ ดังแสดงในรูปที่ 3.45 ถึง 3.46 เมื่อพิจารณาอุณหภูมิอากาศที่ทางเข้าตู้อบจะปรตามความเข้มรังสีดวงอาทิตย์ในแต่ละวัน และความชื้นสัมพัทธ์ของอากาศแสดงได้ดังกราฟรูปที่ 3.47 ถึง 3.48

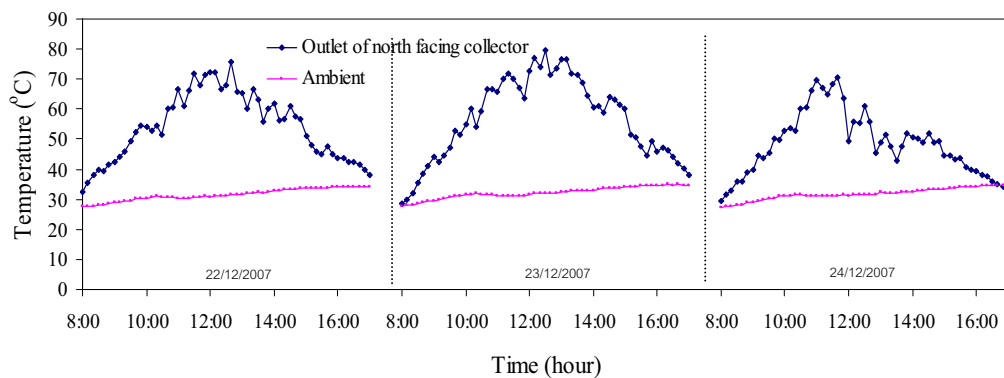
โดยความชื้นของพริกจะลดลงจนถึงประมาณ 16 % (wb) ในตอนเย็นของวันที่ 2 ของการอบ หลังจากอบแห้งแล้วได้พริกแห้ง 31 กิโลกรัม โดยพริกที่อบในตู้จะแห้งเร็วกว่าตัวอย่างที่ตากแดดตามธรรมชาติ ดังรูปที่ 3.49



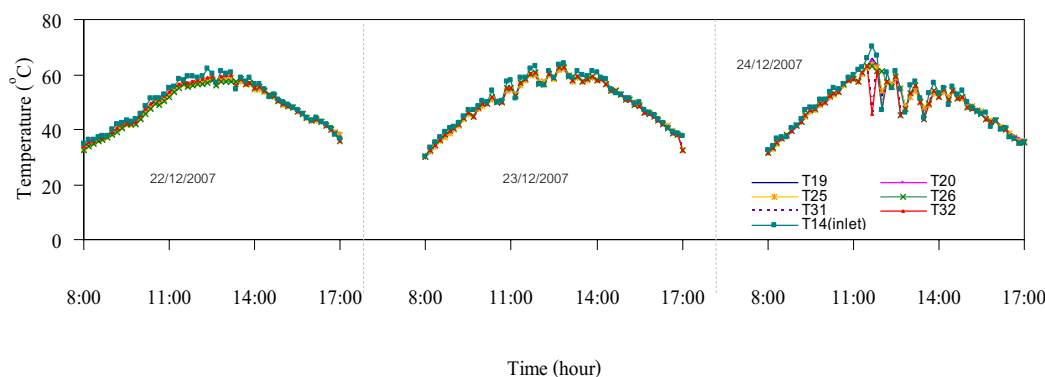
รูปที่ 3.44 การแปรค่าของความเข้มรังสีดวงอาทิตย์ของแผงรับรังสีดวงอาทิตย์บนหลังคาด้านทิศ
เหนือและใต้



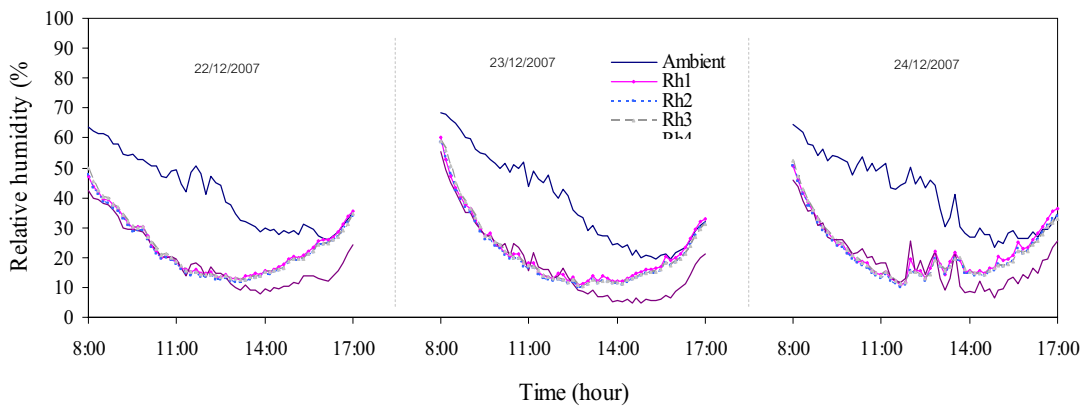
รูปที่ 3.45 การแปรค่าของอุณหภูมิอากาศเวคล้อม และอุณหภูมิอากาศที่ออกจากการแผงรับรังสีดวงอาทิตย์ทางด้านทิศใต้



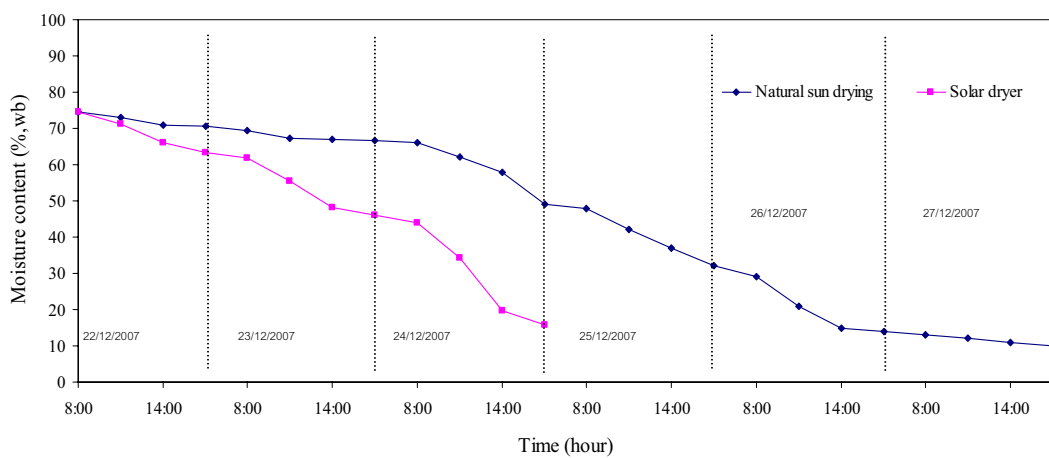
รูปที่ 3.46 การแปรค่าของอุณหภูมิอากาศเวคล้อม และอุณหภูมิอากาศที่ออกจากการแผงรับรังสีดูงอาทิตย์ทางด้านทิศเหนือ



รูปที่ 3.47 การแปรค่าของอุณหภูมิที่เข้าและออกจากตู้อบแห้ง



รูปที่ 3.48 การแปรค่าความชื้นสัมพัทธ์ของอากาศเวดล้อม อากาศที่ไหหลำเข้าตู้อบแห้งและอากาศที่ไหหลอดอกจากตู้อบแห้ง



รูปที่ 3.49 เปรียบเทียบความชื้นกับเวลาของพริกที่อบในตู้อบแห้งและตากเด็ดตามธรรมชาติ

3.3.4 สรุปผลการทดลอง

จากการทดลองอบแห้งกาแฟจำนวน 3 ครั้ง ในช่วงเดือนธันวาคม 2550 และทดลองอบแห้งพริกแหงจำนวน 2 ครั้ง ในช่วงเดือนกันยายน 2550 และเดือนธันวาคม 2550 ผลการทดลองพบว่า เครื่องอบแห้งทำงานได้ดีถึงแม้ว่าในบางช่วงท้องฟ้าจะมีเมฆมาก โดยอุณหภูมิของอากาศที่ได้จากแผงรับรังสีคงอาทิตย์จะแปรค่าในช่วง $40^{\circ}\text{C} - 80^{\circ}\text{C}$ ในช่วงเวลาส่วนใหญ่ของการอบแห้ง พบว่าเครื่องอบแห้งดังกล่าวสามารถอบกาแฟจากความชื้นเริ่มต้นประมาณ 55 %wb ให้เหลือความชื้นสุดท้าย 10 %wb โดยใช้เวลา 2 วัน และพริกความชื้นเริ่มต้นประมาณ 74 %wb ให้เหลือความชื้นสุดท้าย 14 %wb โดยใช้เวลา 3 วัน การอบกาแฟและพริกในเครื่องอบแห้งดังกล่าวสามารถแก้ปัญหาการเปียกฝนและแมลงรบกวนได้ การอบแห้งด้วยเครื่องอบแห้งนี้ใช้เวลาในการอบน้อยและคุณภาพของผลิตภัณฑ์ดีกว่าการตากแดดตามธรรมชาติ

บทที่ 4

การทดสอบระบบอบแห้งและการพัฒนาแบบจำลองทางคณิตศาสตร์

เนื่องจากเครื่องอบแห้งพลังงานแสงอาทิตย์แบบใช้อากาศร้อนจากแผงรับรังสีดวงอาทิตย์ที่เป็นหลังคา โรงอบแห้งต้องใช้พลังงานแสงอาทิตย์เป็นแหล่งพลังงานเพื่อทำให้ผลิตภัณฑ์แห้ง ดังนั้น สมรรถนะของเครื่องอบแห้งดังกล่าวจึงขึ้นกับความเข้มรังสีดวงอาทิตย์ซึ่งมีการเปลี่ยนแปลงไปตาม สภาวะทางอุตุนิยมวิทยา ในการทำนายสมรรถนะของเครื่องอบแห้งในสภาวะต่างๆ ที่จะอิ่มถูกต้อง จำเป็นต้องใช้แบบจำลองทางคณิตศาสตร์เป็นเครื่องมือ ดังนั้นในงานวิจัยนี้ผู้วิจัยจึงได้ดำเนินการพัฒนาแบบจำลองทางคณิตศาสตร์ของระบบอบแห้ง ตามรายละเอียดดังนี้

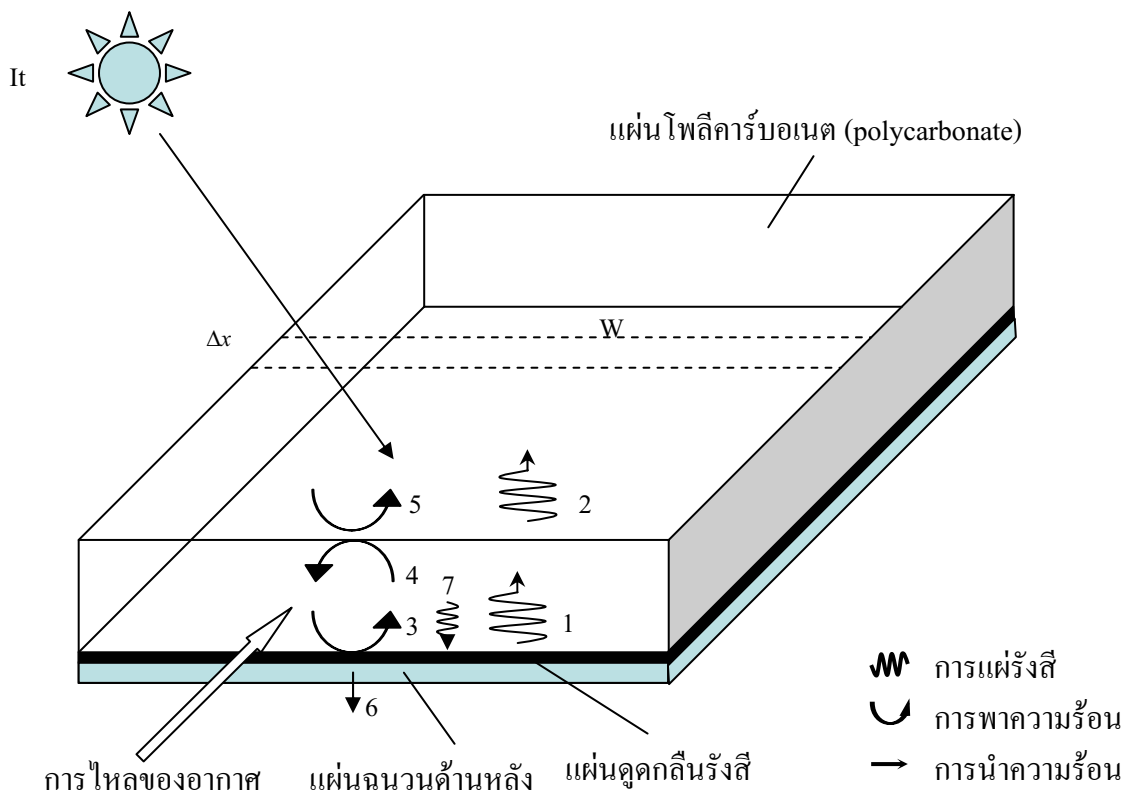
4.1 การสร้างแบบจำลองทางคณิตศาสตร์

ระบบอบแห้งพลังงานแสงอาทิตย์แบบใช้อากาศร้อนจากแผงรับรังสีดวงอาทิตย์ที่เป็นหลังคา โรงอบแห้งสามารถแบ่งออกเป็นสองส่วนคือ ก้อนด้วย ส่วนแผงรับรังสีดวงอาทิตย์ และส่วนของตู้อบแห้ง ดังนั้น ผู้วิจัยจะทำการสร้างแบบจำลองของแต่ละส่วนโดยตั้งสมมติฐานว่า สมบัติทางความร้อนของอากาศ องค์ประกอบต่างๆ ของระบบ และของผลิตภัณฑ์มีค่าคงที่ ในช่วงอุณหภูมิที่ใช้งาน

4.1.1 แบบจำลองของแผงรับรังสีดวงอาทิตย์

4.1.1.1 การเขียนสมการสมดุลทางความร้อน

แผงรับรังสีดวงอาทิตย์ของระบบอบแห้งพลังงานแสงอาทิตย์เป็นแบบแผ่นราบ (flat plate solar collector) โดยอากาศที่ไหลผ่านจะรับความร้อนจากแผ่นคุณภาพดีในรังสี และการสูญเสียความร้อนด้วยวิธีต่างๆ ไปยังสิ่งแวดล้อมตามแผนภูมิในรูปที่ 4.1 และสมดุลพลังงานในส่วนต่างๆ ของแผงรับรังสีดวงอาทิตย์ สามารถเขียนได้ดังนี้



รูปที่ 4.1 แสดงการส่งผ่านความร้อนในแผงรับรังสีด้วยอาทิตย์ของระบบอบแห้งพลังงานแสงอาทิตย์แบบใช้อากาศร้อนจากแผงรับรังสีด้วยอาทิตย์ที่เป็นหลังคาโรงอบแห้ง

- 1). การแผ่รังสีระหว่างแผ่นดูดกลืนรังสีไปยังแผ่นโพลีคาร์บอเนต 2). การแผ่รังสีจากแผ่นโพลีคาร์บอเนต ไปยังห้องฟ้า 3). การพากความร้อนจากแผ่นดูดกลืนรังสีไปยังอากาศภายในแผงรับรังสี 4). การพากความร้อนจากแผ่นโพลีคาร์บอเนต ไปยังอากาศภายในแผงรับรังสี 5). การพากความร้อนจากแผ่นโพลีคาร์บอเนต ไปยังอากาศภายในแผงรับรังสี 6). การสูญเสียความร้อนจากแผ่นรับรังสีทางด้านหลัง 7). การดูดกลืนรังสีด้วยอาทิตย์ของแผ่นดูดกลืนรังสี

1) สมการสมดุลพลังงานของแผ่นโพลีкар์บอเนต

เงอนไขของแผ่นหนา Δt ที่เปลี่ยนไปในช่วงเวลา Δt

- = การถ่ายเทความร้อนโดยการแผ่รังสีระหว่างแผ่นดูดกลืนรังสีกับแผ่นโพลีคาร์บอเนต
 - + การถ่ายเทความร้อนโดยการพาความร้อนระหว่างอากาศในแพลงรับรังสีกับแผ่นโพลีคาร์บอเนต
 - + ความร้อนที่สูญเสียไปจากการพาความร้อนนี้ออกจากลม
 - + การถ่ายเทความร้อนโดยการแผ่รังสีระหว่างแผ่นโพลีคาร์บอเนต กับห้องฟ้า
 - + รังสีดวงอาทิตย์ที่ดูดกลืนโดยแผ่นดูดกลืนรังสี
- แทนค่าแต่ละเทอมจะได้สมการต่อไปนี้

$$\begin{aligned} \rho_c \delta_c \Delta x W_c C_c (T_c + \frac{dT_c}{dt} \Delta t) - \rho_c \delta_c \Delta x W C_c T_c \\ = h_{r,b-c} \Delta x W_c (T_b - T_c) \Delta t + h_{c,f-c} \Delta x + W_c (T_{fc} - T_c) \Delta t \\ + h_w \Delta x W_c (T_a - T_c) \Delta t + h_{r,c-s} \Delta x W_c (T_s - T_c) \Delta t + \Delta x W \alpha_c I_t \Delta t \end{aligned}$$

จัดรูปสมการใหม่ได้เป็น

$$\rho_c \delta_c C_c \frac{dT_c}{dt} = h_{r,b-c}(T_b - T_c) + h_{c,f-c}(T_{fc} - T_c) + h_w(T_a - T_c) + h_{r,c-s}(T_s - T_c) + \alpha_c I_t \quad (4.1)$$

เมื่อ	C_c	คือ ความจุความร้อนจำเพาะของแผ่นหนา Δt ที่เปลี่ยนไป (J/kg-K)
	$h_{c,c-f}$	คือ สัมประสิทธิ์การพาความร้อนระหว่างหนา Δt กับอากาศรอบแห้ง ($W/m^2\text{-K}$)
	$h_{r,b-c}$	คือ สัมประสิทธิ์การแผ่รังสีระหว่างแผ่นดูดกลืนรังสีกับโพลีคาร์บอเนต ($W/m^2\text{-K}$)
	$h_{r,c-s}$	คือ สัมประสิทธิ์การแผ่รังสีจากแผ่นโพลีคาร์บอเนตไปยังห้องฟ้า ($W/m^2\text{-K}$)
	h_w	คือ สัมประสิทธิ์การสูญเสียความร้อนนี้ออกจากลม ($W/m^2\text{-K}$)
	I_t	คือ ความเข้มรังสีดวงอาทิตย์ที่ตกกระทบแผ่นดูดกลืนรังสี (W/m^2)
	t	คือ เวลา (s)
	T_a	คือ อุณหภูมิอากาศเวลาล็อก (K)

T_b	คือ อุณหภูมิของแผ่นดูดกลืนรังสี (K)
T_c	คือ อุณหภูมิของแผ่นโพลีคาร์บอเนต (K)
T_{fc}	คือ อุณหภูมิของอากาศภายในแผงรับรังสี (K)
T_s	คือ อุณหภูมิท้องฟ้า (K)
W_c	คือ ความกว้างของแผงรับรังสีด้วงอาทิตย์ (m)
x	คือ ระยะทางตามความยาวของแผงรับรังสีด้วงอาทิตย์ (m)
ρ_c	คือ ความหนาแน่นของแผ่นโพลีคาร์บอเนต (kg/m^3)
δ_c	คือ ความหนาของแผ่นโพลีคาร์บอเนต (m.)
α_c	คือ สัมประสิทธิ์การดูดกลืนรังสีของแผ่นโพลีคาร์บอเนต (decimal)

2) สมการสมดุลพลังงานของอากาศภายในแผงรับรังสี

เงอนทักษ์ของอากาศที่เปลี่ยนไปในช่วงเวลา Δt ในระยะทาง Δx

$$\begin{aligned}
 &= \text{การถ่ายเทความร้อนโดยการพาความร้อนระหว่างโพลี} \\
 &\quad \text{คาร์บอเนตในแผงรับรังสีกับอากาศในแผงรับรังสี} \\
 &+ \text{การถ่ายเทความร้อนโดยการพาความร้อนระหว่างแผ่น} \\
 &\quad \text{ดูดกลืนรังสีกับอากาศในแผงรับรังสี}
 \end{aligned}$$

เนื่องจากอากาศมีค่าความร้อนจำเพาะต่ำ จึงไม่คิดการสะสมความร้อนของอากาศ
ดังนั้นจึงเขียนสมการสมดุลพลังงานของอากาศได้ดังนี้

$$\begin{aligned}
 D_c G_c W_c (C_f + C_v H_c) (T_{fc} + \frac{dT_{fc}}{dx} \Delta x) \Delta t - D_c G_c W_c (C_f + C_v H) T_{fc} \Delta t \\
 = \Delta x W h_{c,f-c} (T_c - T_{fc}) \Delta t + \Delta x W h_{c,b-f} (T_b - T_{fc}) \Delta t
 \end{aligned}$$

จัดรูปสมการใหม่ได้เป็น

$$D_c G_c C_f \frac{dT_{fc}}{dx} = h_{c,c-f} (T_c - T_{fc}) + h_{c,b-f} (T_b - T_{fc}) \quad (4.2)$$

เมื่อ	C_f	คือ ความจุความร้อนจำเพาะของอากาศภายในแผงรับรังสี ($\text{J}/\text{kg}\cdot\text{K}$)
	C_v	คือ ความจุความร้อนจำเพาะของไอน้ำ ($\text{J}/\text{kg}\cdot\text{K}$)
	D_c	คือ ระยะระหว่างแผ่นดูดกลืนรังสีกับแผ่นโพลีคาร์บอเนต(m)

G_c	คือ อัตราการไหลดต่อพื้นที่ของอากาศภายในແงรับรังสี ($\text{kg}/\text{m}^2 \cdot \text{s}$)
H_c	คือ ความชื้นของอากาศ (kg/kg)
$h_{c,c-f}$	คือ สัมประสิทธิ์การพาความร้อนระหว่างโพลีคาร์บอเนตกับอากาศในແงรับรังสี ($\text{W}/\text{m}^2 \cdot \text{K}$)
$h_{c,b-f}$	คือ สัมประสิทธิ์การพาความร้อนระหว่างแผ่นดูดกลืนรังสีกับอากาศในແงรับรังสี ($\text{W}/\text{m}^2 \cdot \text{K}$)
t	คือ เวลา (s)
T_b	คือ อุณหภูมิของแผ่นดูดกลืนรังสี (K)
T_{fc}	คือ อุณหภูมิของอากาศภายในແงรับรังสี (K)
W_c	คือ ความกว้างของແงรับรังสีดวงอาทิตย์ (m)
x	คือ ระยะทางตามความยาวของແงรับรังสีดวงอาทิตย์ (m)

3) สมการสมดุลพัล้งงานของแผ่นดูดกลืนรังสี

เงอนไขสำคัญของแผ่นดูดกลืนรังสีที่เปลี่ยนไปในช่วงเวลา Δt

- = การถ่ายเทความร้อนโดยการพาความร้อนระหว่างแผ่นดูดกลืนรังสีกับอากาศในແງรับรังสี
- + การถ่ายเทความร้อนโดยการแผ่รังสีระหว่างแผ่นดูดกลืนรังสีกับแผ่นโพลีคาร์บอเนต
- + ความร้อนที่สูญเสียจากการนำความร้อนผ่านจำนวนด้านหลัง
- + รังสีดวงอาทิตย์ที่ดูดกลืนโดยแผ่นดูดกลืนรังสี

แทนค่าแต่ละเทอมลงไปแสดงได้ดังนี้

$$\begin{aligned} & \rho_b \Delta x W_c \delta_b C_b \left(T_b + \frac{dT_b}{dt} \Delta t \right) - \rho_b \Delta x W_c \delta_b C_b T_b \\ &= h_{c,f-b} \Delta x W_c (T_{fc} - T_b) \Delta t + h_{r,b-c} \Delta x W_c (T_c - T_b) \Delta t + u_b \Delta x W_c (T_a - T_b) \Delta t + \Delta x W_c (\tau \alpha) I_t \Delta t \end{aligned}$$

จัดรูปสมการใหม่ได้เป็น

$$\rho_b \delta_b c_b \frac{dT_b}{dt} = h_{c,b-f}(T_{fc} - T_b) + h_{r,b-c}(T_c - T_b) + U_b(T_a - T_b) + (\tau\alpha)I_t \quad (4.3)$$

เมื่อ	C_b	คือ ความจุความร้อนจำเพาะของแผ่นดูดกลืนรังสี ($J/kg \cdot K$)
	$h_{c,f-b}$	คือ สัมประสิทธิ์การพาความร้อนระหว่างอากาศไปยังแผ่นดูดกลืนรังสี ($W/m^2 \cdot K$)
	$h_{r,b-c}$	คือ สัมประสิทธิ์การแผ่รังสีระหว่างแผ่นดูดกลืนรังสีกับแผ่นโพลีคาร์บอเนต ($W/m^2 \cdot K$)
	I_t	คือ ความเข้มรังสีดูดอาทิตย์ที่ตกกระทบแผ่นดูดกลืนรังสี (W/m^2)
	t	คือ เวลา (s)
	T_a	คือ อุณหภูมิอากาศแวดล้อม (K)
	T_b	คือ อุณหภูมิของแผ่นดูดกลืนรังสี (K)
	T_c	คือ อุณหภูมิของแผ่นโพลีคาร์บอเนต (K)
	T_{fc}	คือ อุณหภูมิของอากาศภายในแพลงรับรังสี (K)
	u_b	คือ สำหรับสัมประสิทธิ์การสูญเสียความร้อนต้านทานล่างจากแผ่นดูดกลืนรังสีผ่าน แผ่นฉนวนด้านหลัง (W/K)
	W_c	คือ ความกว้างของแพลงรับรังสีดูดอาทิตย์ (m)
	x	คือ ระยะทางตามความยาวของแพลงรับรังสีดูดอาทิตย์ (m)
	ρ_b	คือ ความหนาแน่นของแผ่นดูดกลืนรังสี (kg/m^3)
	δ_b	คือ ความหนาของแผ่นดูดกลืนรังสี (m)
	$(\tau\alpha)$	คือ สัมประสิทธิ์การดูดกลืนและส่งผ่านรังสีของระบบที่ประกอบด้วยแผ่นโพลี คาร์บอเนตและแผ่นดูดกลืนรังสี (decimal)

4.1.1.2 การหาค่าสัมประสิทธิ์การถ่ายเทความร้อน

ก) สัมประสิทธิ์การแผ่รังสี

สัมประสิทธิ์การแผ่รังสีจากแผ่นโพลีкар์บอเนตกับห้องฟ้า ($h_{r,c-s}$) หาได้จากสมการ (Duffie and Beckman, 1991)

$$h_{r,c-s} = \varepsilon_c \sigma (T_c^2 + T_s^2)(T_c + T_s) \quad (4.4)$$

โดยที่อุณหภูมิห้องฟ้าสามารถหาได้จาก $T_s = 0.552 T_a^{1.5}$
สำหรับสัมประสิทธิ์การแผ่รังสีระหว่างแผ่นดูดกลืนรังสีกับแผ่นโพลีкар์บอเนต ($h_{r,b-c}$) หาได้จาก (Duffie and Beckman, 1991)

$$h_{r,b-c} = \frac{\sigma (T_b^2 + T_c^2)(T_b + T_c)}{\frac{1}{\varepsilon_b} + \frac{1}{\varepsilon_c} - 1} \quad (4.5)$$

เมื่อ	σ	คือ ค่าคงที่สเตฟาน โบลต์มานน์ (Stefan-Boltzmann's constant)
	ε_c	คือ สัมประสิทธิ์การแผ่รังสีของแผ่นโพลีкар์บอเนต (decimal)
	ε_b	คือ สัมประสิทธิ์การแผ่รังสีของแผ่นดูดกลืนรังสี (decimal)

ข) สัมประสิทธิ์การพาความร้อน

สัมประสิทธิ์การพาความร้อนจากแผ่นโพลีкар์บอเนตไปยังอากาศแวดล้อมเนื่องจากลม (h_w) จะหาจาก (Duffie and Beckman, 1991) ซึ่งเป็นได้ดังสมการ

$$h_w = 5.7 + 3.8 V_w \quad (4.6)$$

เมื่อ	V_w	คือ ความเร็วลม, (m/s)
-------	-------	-----------------------

สำหรับสำหรับสัมประสิทธิ์การพาความร้อนระหว่างอากาศในแวดรับรังสีกับแผ่นดูดกลืนรังสี $h_{c,f-b}$ และระหว่างอากาศในแวดรับรังสีกับแผ่นโพลีкар์บอเนตจะหา $h_{c,f-c}$ ได้จากสมการที่ 4.7 โดยถือว่าสัมประสิทธิ์ทั้งสองมีค่าเท่ากัน

$$h_{c,f-b} = h_{c,f-c} = h_c = \frac{Nu k}{D_h} \quad (4.7)$$

เมื่อ h_c คือ ค่าสัมประสิทธิ์การพาความร้อน ($\text{W/m}^2\text{-K}$)
 Nu คือ ค่า Nusselt number
 k คือ ค่าสภาพการนำความร้อนของอากาศ (W/m-K)
 D_h คือ ค่า hydraulic diameter (m) ซึ่งหาได้จาก

$$D_h = \frac{4WD}{2(W+D)} \quad (4.8)$$

เมื่อ W คือ ความกว้างของแผงรับรังสี (m)
 D คือ ระยะระหว่างแผ่นดูดกลืนรังสีกับแผ่นโพลีкар์บอร์เนต (m)

โดย Nu จะหาได้จากสมการของ Kays and Crawford (1980) ดังสมการ

$$Nu = 0.0158 Re^{0.8} \quad (4.9)$$

เมื่อ Re คือ ค่า Reynolds number ซึ่งหาได้จากสมการ

$$Re = \frac{D_h V \rho}{\nu} \quad (4.10)$$

เมื่อ V คือ อัตราเร็วของอากาศภายในแผงรับรังสี (m/s)
 ρ คือ ความหนาแน่นของอากาศ (kg/m^3)
 ν คือ viscosity ของอากาศ (m^2/s)

ก) สัมประสิทธิ์การสูญเสียความร้อนด้านล่าง

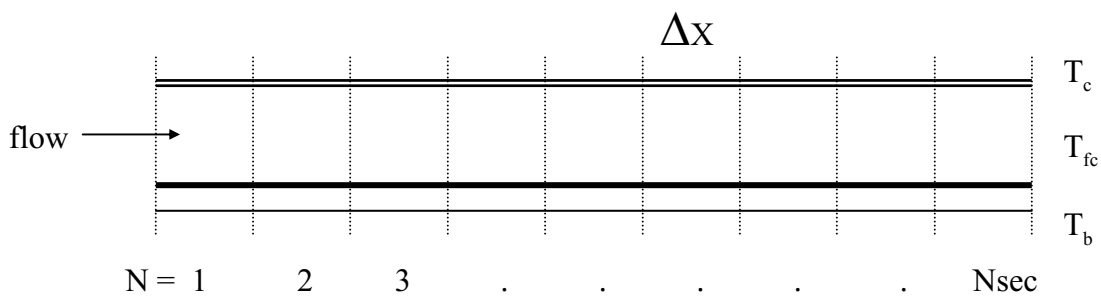
สำหรับสัมประสิทธิ์การสูญเสียความร้อนด้านล่างของแผ่นบนด้านหลัง (U_b) จะหาได้จากสมการ

$$U_b = \frac{k_b}{L_b} \quad (4.11)$$

เมื่อ k_b คือ ค่าสภาพการนำความร้อนของกนวน (W/m-K)
 L_b คือ ความหนาของแผ่นดูดกลืนรังสี (m)

4.1.1.3 การหาผลเฉลย (solution) ของสมการแบบจำลอง

เนื่องจากการหา solution สมการ 4.1-4.4 โดยวิธี analytic ทำได้ยาก ผู้วิจัยจึงแก้สมการดังกล่าวโดยวิธี finite difference method โดยการแบ่งແงปรับรังสีคงอาทิตย์ตามความยาวเป็นระยะทางสั้นๆ ΔX (รูปที่ 4.2) และแปลงสมการ 4.1-4.4 ให้อยู่ในรูปของสมการ finite difference ดังนี้



รูปที่ 4.2 แสดงการแบ่งของค่าประกอบของແງปรับรังสีออกเป็นส่วนย่อยตามทิศทางการไหลของอากาศ

$$\rho_c \delta_c C_c \frac{T_{c,t+\Delta t} - T_{c,t}}{\Delta t} = h_{r,b-c} (T_{b,t+\Delta t} - T_{c,t+\Delta t}) + h_{c,f-c} (T_{f_c,t+\Delta t} - T_{c,t+\Delta t}) + h_{w,c-a} (T_{a,t+\Delta t} - T_{c,t+\Delta t}) + h_{r,c-s} (T_{s,t+\Delta t} - T_{c,t+\Delta t}) + \alpha_c I_{t,t+\Delta t} \quad (4.12)$$

$$D_c G_c C_f 0.5 \left[\frac{T_{f_c,x+\Delta x,t+\Delta t} - T_{f_c,x-\Delta x,t+\Delta t}}{2 \Delta x} + \frac{T_{f_c,x+\Delta x,t} - T_{f_c,x-\Delta x,t}}{2 \Delta x} \right] = h_{c,b-f} (T_{b,x,t+\Delta t} - T_{f_c,x,t+\Delta t}) + h_{c,c-f} (T_{c,x,t+\Delta t} - T_{f_c,x,t+\Delta t}) \quad (4.13)$$

$$\rho_b \delta_b C_b \frac{T_{b,t+\Delta t} - T_{b,t}}{\Delta t} = h_{c,b-f} (T_{f_c,t+\Delta t} - T_{b,t+\Delta t}) + h_{r,b-c} (T_{c,t+\Delta t} - T_{b,t+\Delta t}) + U_b (T_{a,t+\Delta t} - T_{b,t+\Delta t}) + \langle \tau \alpha \rangle I_{t,t+\Delta t} \quad (4.14)$$

จากสมการที่ 4.12 – 4.14 เขียนใหม่ในรูปสมการเชิงเส้นของตัวแปร T_c, T_f และ T_b ที่เวลา $t + \Delta t$ ได้ดังนี้

$$\begin{aligned} & \left(\frac{\rho_c \delta_c C_c}{\Delta t} + h_{r,b-c} + h_{c,f-c} + h_{w,c-a} h_{r,c-s} \right) T_{c,t+\Delta t} - h_{r,b-c} T_{b,t+\Delta t} - h_{c,f-c} T_{fc,t+\Delta t} \\ & = \frac{\rho_c \delta_c C_c}{\Delta t} T_{c,t} + h_{w,c-a} T_{a,t+\Delta t} + h_{r,c-s} T_{s,t+\Delta t} + \alpha_c I_{t,t+\Delta t} \end{aligned} \quad (4.15)$$

$$\begin{aligned} & - h_{c,c-f} T_{c,x,t+\Delta t} + (h_{c,c-f} + h_{c,b-f}) T_{fc,x,t+\Delta t} - h_{c,b-f} T_{b,x,t+\Delta t} \\ & - \left(\frac{0.25 DGC_f}{\Delta x} \right) T_{fc,x-\Delta x,t+\Delta t} + \left(\frac{0.25 DGC_f}{\Delta x} \right) T_{fc,x+\Delta x,t+\Delta t} \quad (4.16) \\ & = - \left(\frac{0.25 DGC_f}{\Delta x} \right) T_{fc,x+\Delta x,t} + \left(\frac{0.25 DGC_f}{\Delta x} \right) T_{fc,x-\Delta x,t} \end{aligned}$$

$$\begin{aligned} & - h_{r,b-c} T_{c,t+\Delta t} - h_{c,b-f} T_{fc,t+\Delta t} + \left(\frac{\rho_b \delta_b C_b}{\Delta t} + h_{c,b-f} + h_{r,b-c} + U_b \right) T_{b,t+\Delta t} \quad (4.17) \\ & = \left(\frac{\rho_b \delta_b C_b}{\Delta t} \right) T_{b,t} + U_b T_{a,t+\Delta t} + (\tau \alpha) I_{t,t+\Delta t} \end{aligned}$$

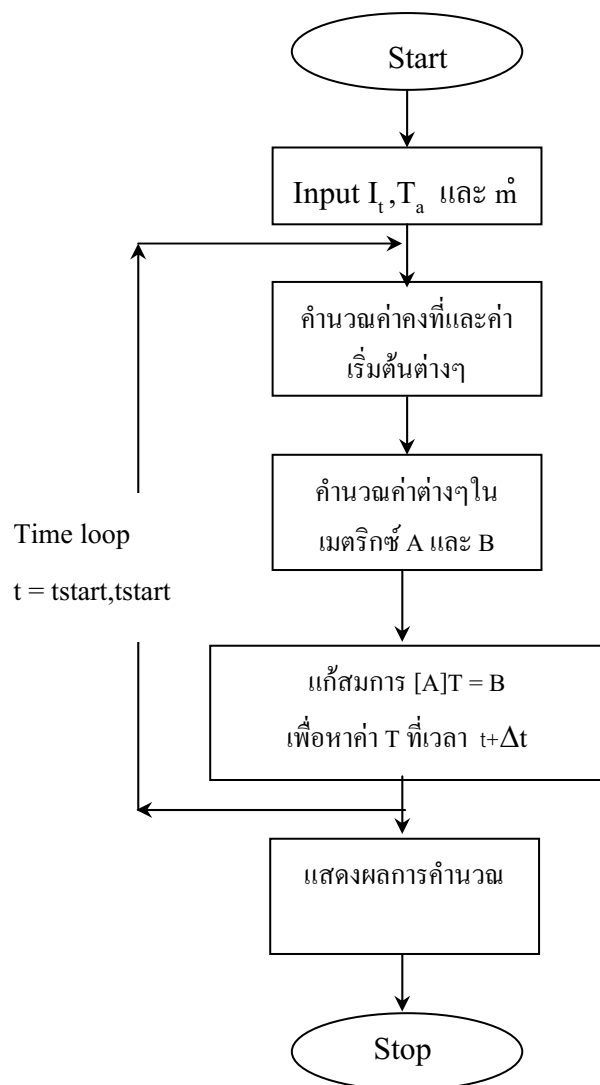
จากนั้นผู้วิจัยจะประยุกต์สมการ (4.15)-(4.17) กับทุก section ของแมงรับรังสีดวงอาทิตย์ ตั้งแต่ $N = 1, \dots, N_{sect}$ ($N_{sect} = 12$) ซึ่งจะได้สมการ finite difference ทั้งหมด 36 สมการ โดยมีตัวแปรเป็น อุณหภูมิของแผ่นโพลีкар์บอเนต (T_c) อุณหภูมิของอากาศ (T_{fc}) อุณหภูมิของแผ่นคุณภาพลีนรังสี (T_b) ของ ทุก section สมการดังกล่าวสามารถเขียนในรูปเมตริกซ์ ได้ดังนี้

$$\begin{bmatrix} a_{1,1} & \dots & a_{1,36} \\ a_{2,1} & \dots & a_{2,36} \\ \dots & & \dots \\ a_{12,1} & \dots & a_{36,36} \end{bmatrix} \begin{bmatrix} T_{cl,1} \\ T_{fc1,2} \\ \cdot \\ \cdot \\ T_{b12,12} \end{bmatrix} = \begin{bmatrix} b_1 \\ b_2 \\ \cdot \\ \cdot \\ b_{36} \end{bmatrix}$$

เมื่อทำการ convert metric ครั้งที่ 1 จะได้อุณหภูมิ T_c, T_{fc}, T_b ของทุก section ที่เวลา $t + \Delta t$ และ ทำอย่างนี้เรื่อยไป เริ่มจากตอนเช้า 8:00น จนถึง 17:00น โดยใช้ $\Delta t = 600$ วินาที

4.1.1.4 การเขียนโปรแกรมสำหรับคำนวณในการหาผลเฉลย

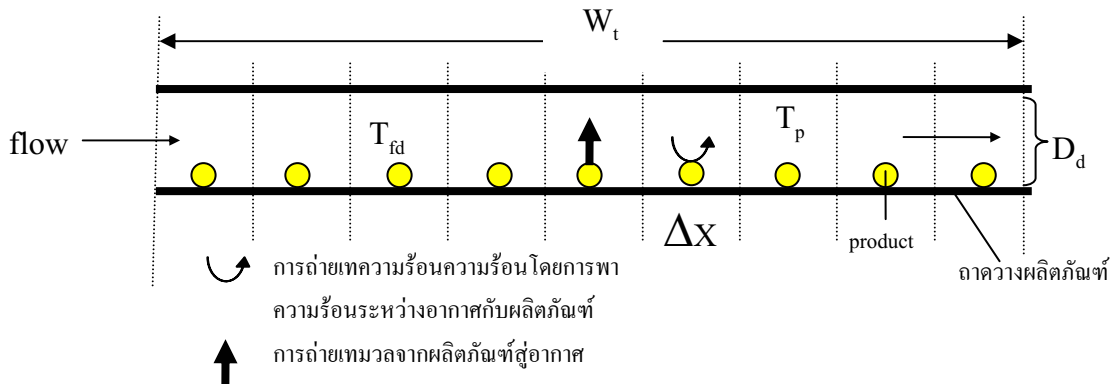
เนื่องจากในการหาค่าอุณหภูมิขององค์ประกอบต่างๆ ของแพลงรังสีตามวิธีที่กล่าวไปแล้วต้องคำนวณหลายขั้นตอน และต้องทำซ้ำทุกๆ เวลา Δt ดังนั้นผู้วิจัยจึงได้เขียนโปรแกรมคอมพิวเตอร์ในภาษาฟอร์TRAN โดยมีลำดับขั้นตอนการคำนวณตามแผนภูมิในรูปที่ 4.3 ดังนี้



รูปที่ 4.3 แสดงแผนภูมิขั้นตอนการทำงานของโปรแกรมคอมพิวเตอร์สำหรับส่วนแพลงรังสี

4.1.2 แบบจำลองของตู้อบแห้ง

ตู้อบแห้งเป็นแบบถาด โดยวางผลิตภัณฑ์เป็นชั้นบางๆ ถาดและอากาศร้อนจะเป่าผ่านชานานกับถาด การถ่ายเทความร้อนและความชื้นที่เกิดขึ้นในตู้อบสามารถแสดงได้ดังรูปที่ 4.4 และสามารถเปลี่ยนในรูปสมการ ตามรายละเอียดดังนี้



รูปที่ 4.4 แสดงการถ่ายเทความร้อนและความชื้นภายในตู้อบแห้ง

1. สมดุลพัลส์งานของอากาศในตู้อบแห้ง

การเปลี่ยนแปลงเนอนทางปีของอากาศในระยะทาง ΔX ในช่วงเวลา Δt = ความร้อนที่ถ่ายเทโดยการพาความร้อนระหว่างผลิตภัณฑ์กับอากาศ

$$D_d G_d W_d (C_f + C_v H) (T_{fd} + \frac{\partial T_{fd}}{\partial x} \Delta x) \Delta t - D_d G_d W_d (C_f + C_v H) T_{fd} \Delta t = \Delta x W_d h_{c,p-f} (T_p - T_{fd}) \Delta t \quad (4.18)$$

สามารถเขียนได้เป็น

$$D_d G_d (C_f + C_v H) \frac{\partial T_{fd}}{\partial x} = h_{c,p-f} (T_p - T_{fd}) \quad (4.19)$$

เมื่อ D_d คือ ความสูงของช่องว่างระหว่างถาด (m)

G_d คือ อัตราการไหลต่อพื้นที่ของอากาศภายในตู้อบ [$\text{kg}/\text{s}\cdot\text{m}^2$]

W_d คือ ความยาวของถาด (m)

C_f คือ ความจุความร้อนจำเพาะของอากาศภายในแห้งรับรังสี [$\text{kJ}/\text{kg}^\circ\text{C}$]

C_v	คือ	ความจุความร้อนจำเพาะของไอน้ำ $[kJ/kg^0C]$
H	คือ	อัตราส่วนความชื้นของอากาศอบแห้ง $[kg/kg]$
T_{fd}	คือ	อุณหภูมิของอากาศภายในตู้อบ $[K]$
$h_{c,p-f}$	คือ	สัมประสิทธิ์การพาความร้อนระหว่างผลิตภัณฑ์กับอากาศอบแห้ง $[W/m^2 \cdot K]$
T_p	คือ	อุณหภูมิของผลิตภัณฑ์ $[K]$

2. สมดุลพัลส์งานของผลิตภัณฑ์ภายในตู้อบ

การเปลี่ยนแปลงเอนthalpy ของผลิตภัณฑ์ = ความร้อนแห่งที่ใช้ในการระเหยน้ำในผลิตภัณฑ์ออกสู่อากาศ + ความร้อนที่ถ่ายเทระหว่างอากาศกับไอน้ำที่ระเหยออกมานา + ความร้อนที่ถ่ายเทโดยการพาความร้อนระหว่างอากาศกับผลิตภัณฑ์

$$\begin{aligned} \Delta x W_d \rho_{s,p} (C_p + C_w M) (T_p + \frac{\partial T_p}{\partial t} \Delta t) &+ \Delta x W_d \rho_{s,p} (C_p + C_w M) T_p \\ &= h_{fg} D_d G_d \frac{\partial H}{\partial x} \Delta x \Delta t + C_v (T_{fd} - T_p) D_d G_d \frac{\partial H}{\partial x} \Delta x \Delta t \\ &\quad + \Delta x W_t h_{c,p-f} (T_{fd} - T_p) \Delta t \end{aligned} \quad (4.20)$$

สามารถเขียนใหม่ได้เป็น

$$\begin{aligned} \rho_{s,p} (C_p + C_v M) \frac{\partial T_p}{\partial t} &= [h_{fg} + C_v (T_p - T_{fd})] D_d G_d \frac{\partial H}{\partial x} \\ &\quad + h_{c,p-f} (T_{fd} - T_p) \end{aligned} \quad (4.21)$$

เมื่อ	$\rho_{s,p}$	คือ ความหนาแน่นเชิงพื้นที่ของผลิตภัณฑ์แห้ง $[kg_{solid}/m^2]$
	h_{fg}	คือ ความร้อนแห่งของการกลাযเป็นไอกองน้ำ $[kJ/kg]$
	C_w	คือ ความจุร้อนจำเพาะของน้ำ $[kJ/kg^0C]$

3. สมดุลความชื้นของอากาศในตู้อบแห้ง

ความชื้นที่เพิ่มขึ้นในอากาศ = ความชื้นที่หายไปจากผลิตภัณฑ์

$$D_d G_d W_d \Delta t (H + \frac{\partial H}{\partial x} \Delta x) - D_d G_d W_d \Delta t H = \rho_{s,p} \Delta x W_d M - \rho_{s,p} \Delta x W_d (M + \frac{\partial M}{\partial t} \Delta t) \quad (4.22)$$

สามารถเขียนใหม่ได้เป็น

$$D_d G_d \frac{\partial H}{\partial x} = - \rho_{s,p} \frac{\partial M}{\partial t} \quad (4.23)$$

4. สมการการอบแห้งชั้นบางของผลิตภัณฑ์

กรณีของพริกใช้สมการอบแห้งชั้นบางของ Page และใช้สมประสงค์สิทธ์ของ Hossain (2003) ซึ่งสามารถเขียนเป็นสมการได้ดังนี้

$$\frac{M - M_e}{M_0 - M_e} = \exp(-pt^Q) \quad (4.24)$$

เมื่อ M_e คือ ความชื้นสมดุลของผลิตภัณฑ์ (decimal, db)

M_0 คือ ความชื้นเริ่มต้นของผลิตภัณฑ์ (decimal, db)

p และ Q เป็นพิมพ์ชันของอุณหภูมิ (T) และความชื้นสัมพัทธ์ (rh) และความเร็วลม (v) ดังนี้

$$p = 0.00955 + 0.000372T - 3.20 \times 10^{-6}T^2 - 0.01127rh + 0.012408rh^2 + 0.004737V - 0.00381V^2 \quad (R^2 = 0.955)$$

$$Q = 4.89468 - 0.137459T + 0.001345T^2 + 0.386002rh - 1.142445V + 0.920444V^2 \quad (R^2 = 0.957)$$

สำหรับสมการความชื้นสมดุลของพริกจะใช้สมการของ Hossain (2003) ซึ่งเขียนได้ดังนี้

$$M_e = -65.2206 - 0.06922T + 0.022734T^2 - 29.4079rh + 68.31193rh^2 - 63.4257V + 56.42796V^2 \quad (R^2 = 0.946)$$

กรณีของกาแฟจะใช้สมการการอบแห้งชั้นบางของ (Berbert et al, 1995) ซึ่งเขียนได้ดังนี้

$$\frac{M - M_e}{M_0 - M_e} = \exp \left[-105.756 t^{0.60564} e^{-2751.51/T} \right] \quad (4.25)$$

เมื่อ M_0 และ M_e คือ ความชื้นเริ่มต้นและความชื้นสมดุลของกาแฟตามลำดับ T คืออุณหภูมิของอากาศที่ใช้อบแห้ง K และ t คือ เวลาที่ใช้ในการอบแห้ง

ความชื้นสมดุล (M_e) สามารถคำนวณได้จาก (Berbert et al, 1995) :

$$M_e = 1.1281[-\ln(1 - rh)/(T + 40.535)]^{0.5405} \quad (4.26)$$

เมื่อ rh คือ ความชื้นสัมพัทธ์ของอากาศ (%) และ T คือ อุณหภูมิที่ใช้อบแห้ง ($^{\circ}\text{C}$)

5. วิธีการหาผลเฉลยของสมการตู้อบแห้ง

ผู้วิจัยจะทำการแก้ระบบสมการ ที่ประกอบด้วย 4.19, 4.21, 4.23, 4.24 และ 4.25 โดยวิธี finite difference โดยจะแบ่ง\data ของผลิตตามแนวการ ให้ลงของอากาศเป็น section ที่มีความยาว Δx (รูปที่ 4.4) จากนั้นจะแปลงระบบสมการดังกล่าวให้อยู่ในรูปสมการ finite difference ดังต่อไปนี้

$$D_d G_d W_d (C_f + C_v H) \left[\frac{T_{fd,x+\Delta x,t+\Delta t} - T_{fd,x,t+\Delta t}}{\Delta x} \right] = h_{c,p-f} (T_{p,t+\Delta t} - T_{fd,t+\Delta t}) \quad (4.27)$$

$$\rho_{s,p} (C_p + C_w M_t) \left[\frac{T_{p,t+\Delta t} - T_{p,t}}{\Delta t} \right] = [h_{fg} + C_v (T_p - T_{fd})] D_d G_d \left[\frac{H_{x+\Delta x,t+\Delta t} - H_{x,t+\Delta t}}{\Delta x} \right] + h_{c,pf} (T_{fd,t+\Delta t} - T_{p,t+\Delta t}) \quad (4.28)$$

$$D_d G_d \left[\frac{H_{x+\Delta x, t+\Delta t} - H_{x, t+\Delta t}}{\Delta x} \right] = -P_{s,p} \left[\frac{M_{t+\Delta t} - M_t}{\Delta t} \right] \quad (4.29)$$

ส่วนสมการการอบแห้งชั้นบางสามารถแปลงได้ดังนี้

- กรณีของพริก

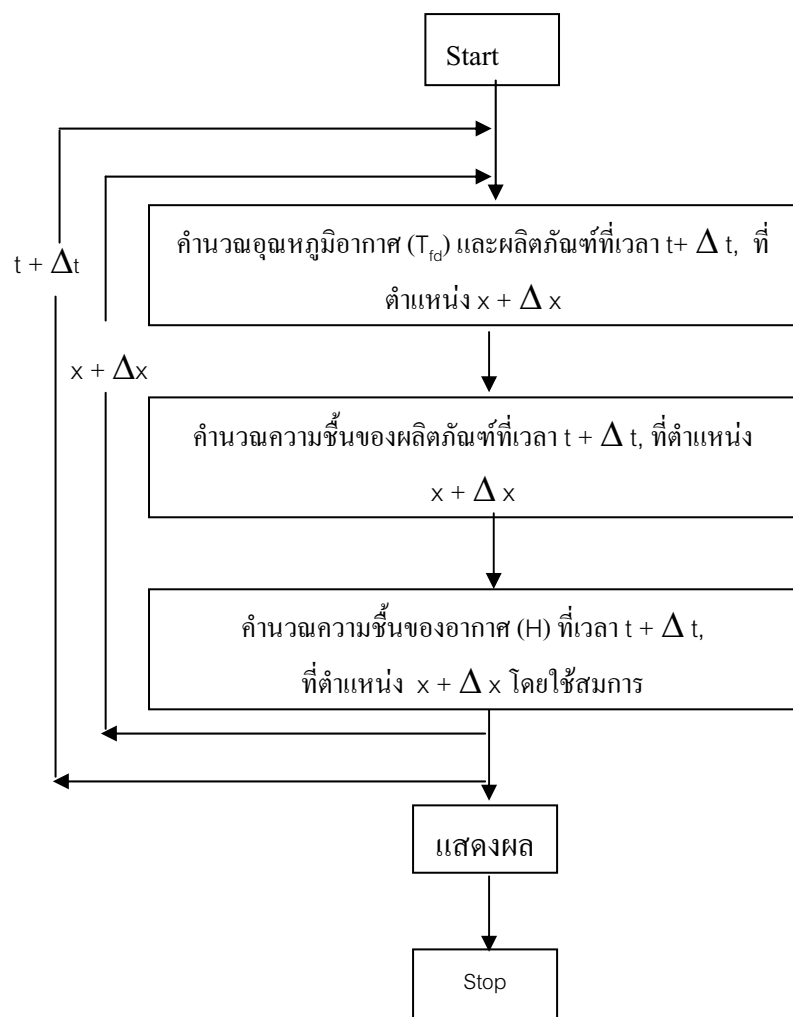
$$M_{t+\Delta t} = M_{e,t+\Delta t} + (M_0 - M_{e,t+\Delta t}) \exp \left[-k_{t+\Delta t} (t+\Delta t)^n_{t+\Delta t} \right] \quad (4.30)$$

- กรณีของการแพะ

$$M_{t+\Delta t} = M_{e,t+\Delta t} + (M_0 - M_{e,t+\Delta t}) \exp \left[-105.756 (t+\Delta t) e^{-2751.51 / T_{t+\Delta t}} \right] \quad (4.31)$$

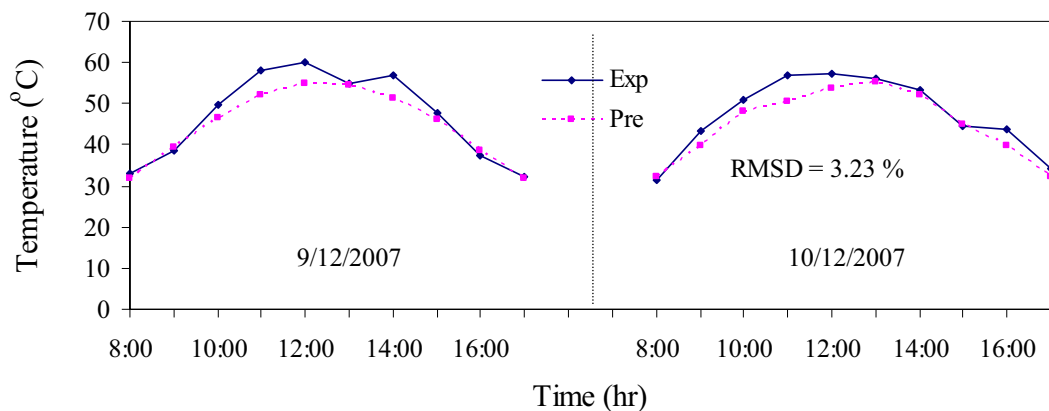
ในการคำนวณจะเริ่มจากการคำนวณอุณหภูมิของอากาศในตู้อบ (T_{fd}) อุณหภูมิของผลิตภัณฑ์ (T_p) ที่เวลา $t + \Delta t$ ที่ section 1 จากนั้นจะใช้อุณหภูมิที่ได้คำนวณหาความชื้นของผลิตภัณฑ์โดยการใช้สมการอบแห้งชั้นบาง และนำค่าความชื้นที่ได้ไปคำนวณความชื้นของอากาศ (H) ที่เวลา $t + \Delta t$ จากนั้นใช้กระบวนการเดิมไปคำนวณอุณหภูมิและความชื้นที่ section ถัดไปจนถึง section สุดท้าย หลังจากนั้นจะเริ่มคำนวณที่ section 1 ใหม่ โดยเพิ่มเวลาเป็น $t + 2\Delta t$ จะทำเช่นนี้ซ้ำๆ จนได้ความชื้นสุดท้ายของผลิตภัณฑ์

ผู้จัดได้เขียนโปรแกรมคอมพิวเตอร์ภาษา Fortran ใช้ในการคำนวณโดยมีลำดับการคำนวณตามแผนภูมิดังนี้

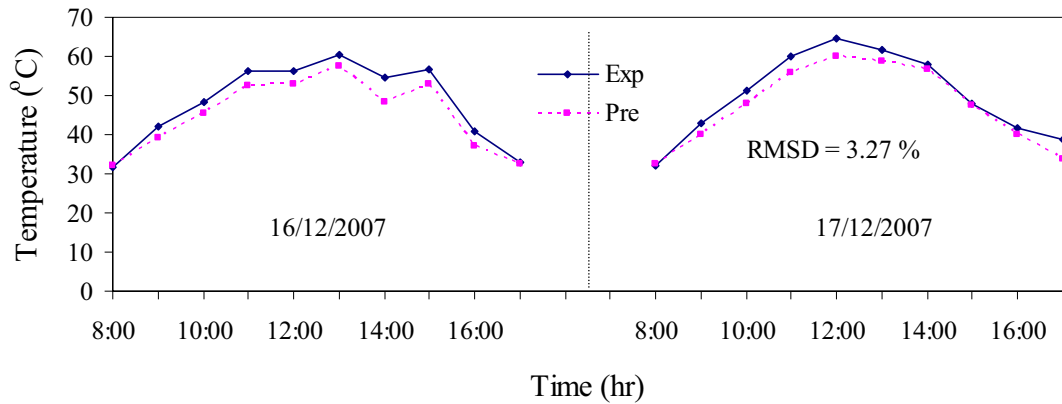


4.2 การทดสอบแบบจำลอง

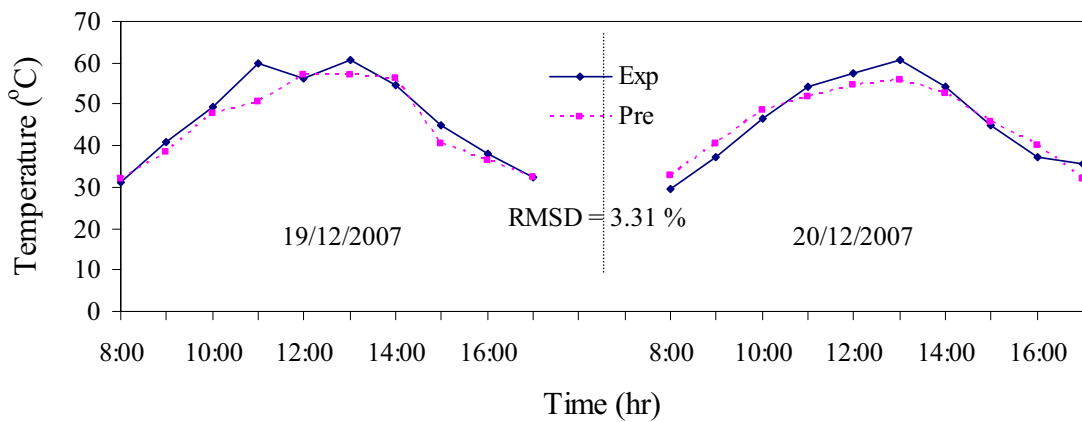
ในการทดสอบแบบจำลองที่ได้พัฒนาขึ้นมาแล้ว ผู้วิจัยจะทำการจำลองแบบการทำงานของระบบแห่งทั้งระบบ และนำผลมาเปรียบเทียบกับการทดลอง สำหรับค่าตัวแปรต่างๆ ในแบบจำลองกรณีตัวแปรทางเรขาคณิต เช่นขนาดขององค์ประกอบของแผงรับรังสีคิววิ่งอาทิตย์จะใช้ขนาดที่เป็นจริง สำหรับสมบัติทางความร้อน เช่น สัมประสิทธิ์การถ่ายเทความร้อนต่างๆ จะคำนวณตามสูตรที่กล่าวไว้แล้ว โดยใช้ค่าพารามิเตอร์ในสูตรจากเอกสารอ้างอิงต่างๆ ในด้านของสมบัติของพริกจะใช้ตามรายงานของ Hossain (2003) และข้อมูลความเข้มรังสีคิววิ่งอาทิตย์ อุณหภูมิและความชื้นสัมพัทธ์ของอากาศ แวดล้อมจะใช้ค่าที่ได้จากการวัดจริงที่ทำการทดลอง โดยการ simulation จะทำทุกๆ 10 นาทีเท่ากับช่วงเวลาการเก็บข้อมูล ผลการเปรียบเทียบค่าอุณหภูมิที่ออกจากแผงรับรังสี แสดงไว้ในรูปที่ 4.5-4.9 และผลการเปรียบเทียบการลดลงของความชื้นของผลิตภัณฑ์แสดงไว้ในรูปที่ 4.10-4.14



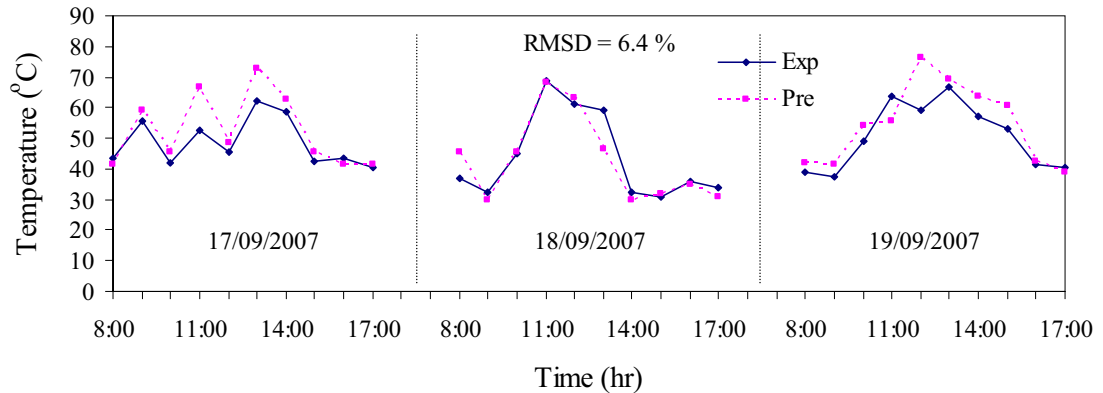
รูปที่ 4.5 การเปรียบค่าอุณหภูมิอากาศบริเวณทางออกของแผงรับรังสีคิววิ่งอาทิตย์ที่ได้จากแบบจำลองและจากผลการทดลองของกาแฟระหว่างวันที่ 9-10 ธันวาคม พ.ศ.2550



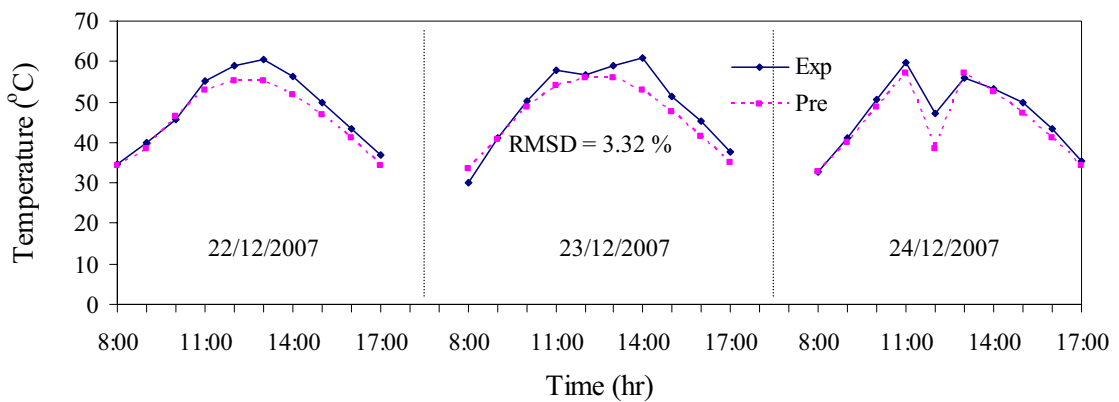
รูปที่ 4.6 การเปรียบเทียบอุณหภูมิอากาศบริเวณทางออกของแพงรับรังสีดวงอาทิตย์ที่ได้
จากแบบจำลองและจากผลการทดลองของกานแฟรงค์วันที่ 16-17 ธันวาคม พ.ศ.2550



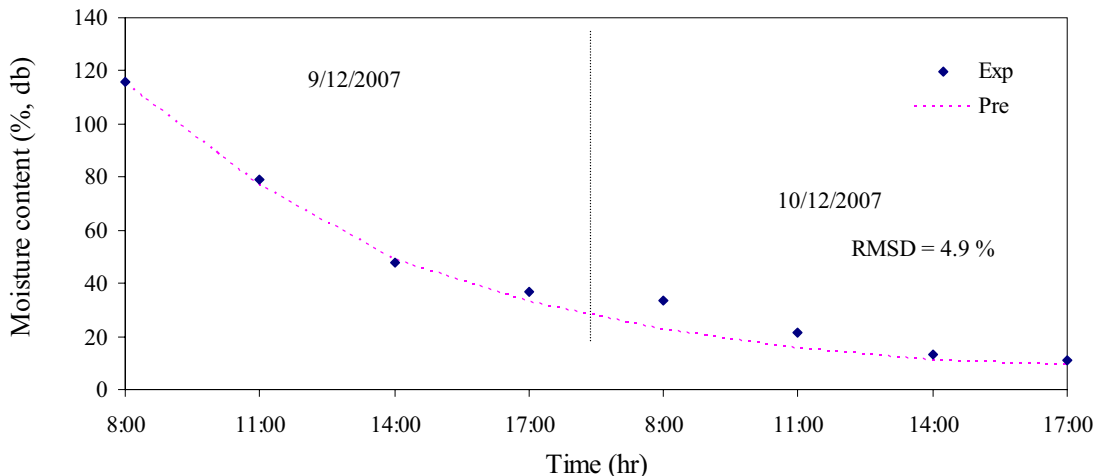
รูปที่ 4.7 การเปรียบเทียบอุณหภูมิอากาศบริเวณทางออกของแพงรับรังสีดวงอาทิตย์ที่ได้
จากแบบจำลองและจากผลการทดลองของกานแฟรงค์วันที่ 19-20 ธันวาคม พ.ศ.2550



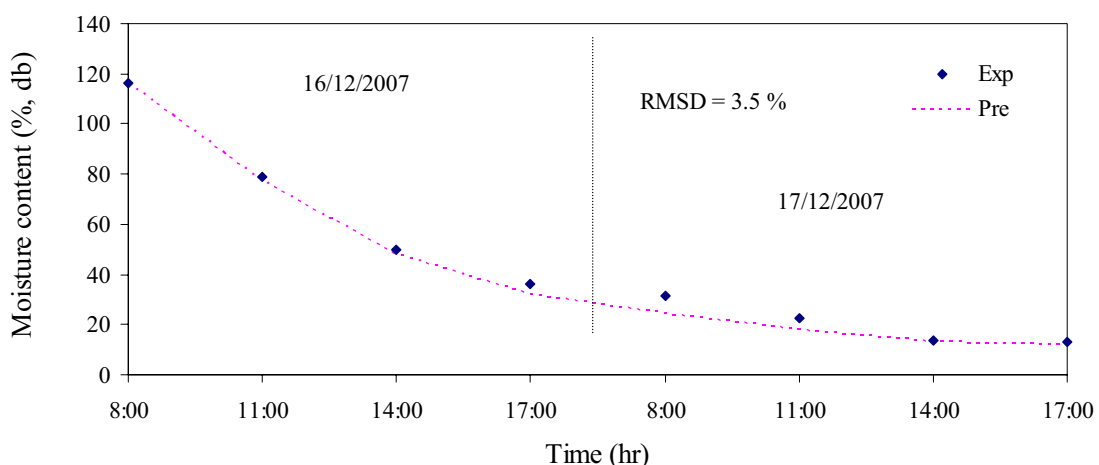
รูปที่ 4.8 การประค่าอุณหภูมิอากาศ บริเวณทางออกของแผงรับรังสีคงอาทิตย์ที่ได้
จากแบบจำลองและจากผลการทดลองของพริกระหว่างวันที่ 17-19 กันยายน พ.ศ.2550



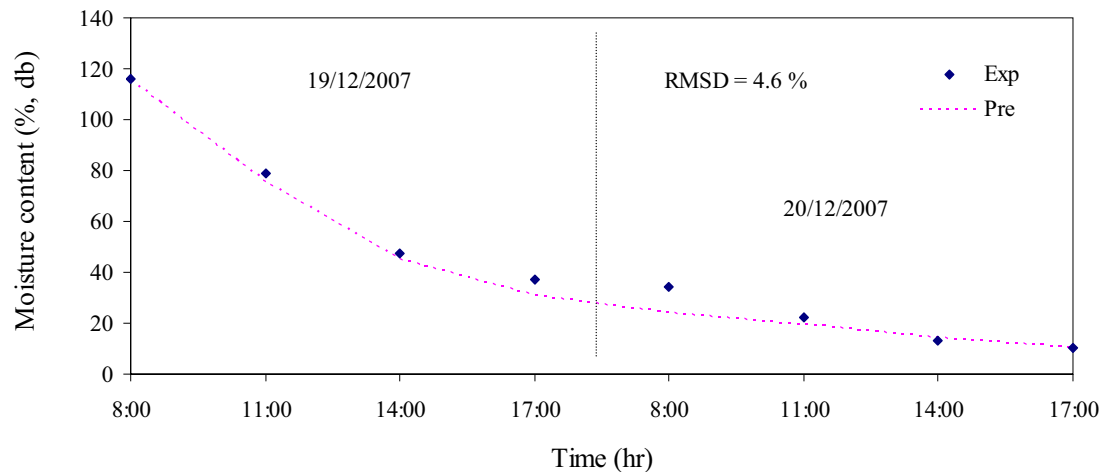
รูปที่ 4.9 การประค่าอุณหภูมิอากาศ บริเวณทางออกของแผงรับรังสีคงอาทิตย์ที่ได้
จากแบบจำลองและจากผลการทดลองของพริกระหว่างวันที่ 22-24 ธันวาคม พ.ศ.2550



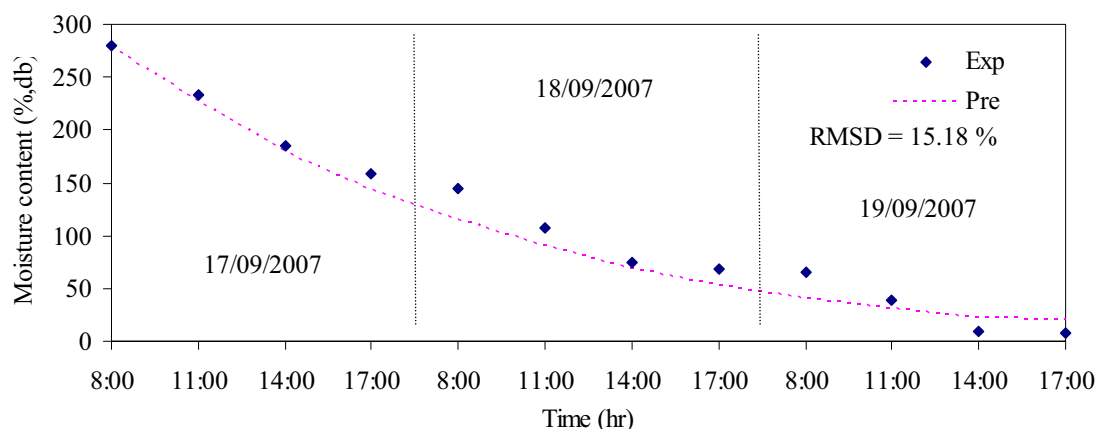
รูปที่ 4.10 ผลการคำนวณความชื้นของผลิตภัณฑ์ (กาแฟ) ที่อบแห้ง โดยอาศัยแบบจำลองเมื่อเปรียบเทียบกับค่าที่ได้จากการวัด ในช่วงวันที่ 9-10 ธันวาคม พ.ศ.2550



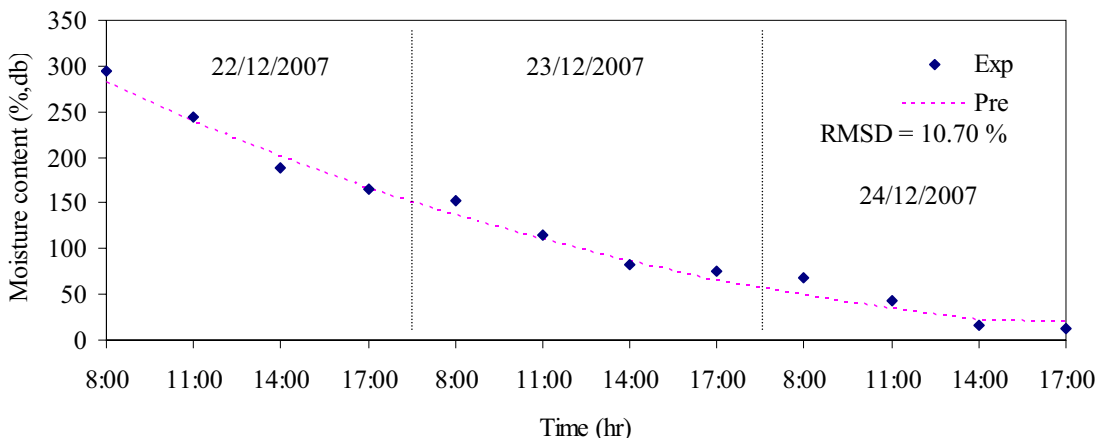
รูปที่ 4.11 ผลการคำนวณความชื้นของผลิตภัณฑ์ (กาแฟ) ที่อบแห้ง โดยอาศัยแบบจำลองเมื่อเปรียบเทียบกับค่าที่ได้จากการวัด ในช่วงวันที่ 16-17 ธันวาคม พ.ศ.2550



รูปที่ 4.12 ตัวอย่างผลการคำนวณความชื้นของผลิตภัณฑ์ (กาแฟ) ที่อบแห้ง โดยอาศัยแบบจำลองเมื่อเปรียบเทียบกับค่าที่ได้จากการวัด ในช่วงวันที่ 19-20 ธันวาคม พ.ศ.2550



รูปที่ 4.13 ผลการคำนวณความชื้นของผลิตภัณฑ์(พริก)ที่อบแห้ง โดยอาศัยแบบจำลองเมื่อเปรียบเทียบกับค่าที่ได้จากการวัด ในช่วงวันที่ 17-19 กันยายน พ.ศ.2550



รูปที่ 4.14 ตัวอย่างผลการคำนวณความชื้นของผลิตภัณฑ์(พริก)ที่อบแห้ง โดยอาศัยแบบจำลองเมื่อเปรียบเทียบกับค่าที่ได้จากการวัด ในช่วงวันที่ 22-24 กันยายน พ.ศ.2550

จากผลการจำลองการทำงานของแพลงรับรังสีคงอิฐพนวจว่ากรณีที่ห้องฟ้าแจ่มใส อุณหภูมิอากาศที่ทางออกของแพลงรับรังสีที่คำนวณได้มีค่าใกล้เคียงกับค่าอุณหภูมิที่ได้จากการวัด แต่ในกรณีที่รังสีคงอิฐมีการเปลี่ยนแปลงอย่างรวดเร็วนี้องจากเมฆ อุณหภูมิจากการ simulation จะมีค่าต่ำกว่าผลการวัด แต่ยังคงมีรูปแบบการเปลี่ยนแปลง เมื่อพิจารณาค่าความแตกต่างของอุณหภูมิที่ออกจากแพลงรับรังสีคงอิฐซึ่งได้จากการวัดและการคำนวณพบว่าค่า root mean square different (RMSD) จะแปรค่าอยู่ในช่วง 3-7 % ซึ่งถือว่ามีความคลาดเคลื่อนค่อนข้างน้อย

สำหรับผลการทำนายค่าความชื้นของผลิตภัณฑ์ ในการจำลองการทำงานของศูนย์อบแห้งพบว่า กราฟการลดลงของความชื้นในผลิตภัณฑ์วันแรกที่ได้จากการคำนวณมีลักษณะใกล้เคียงกับผลที่ได้จากการทดลอง สำหรับในวันที่ 2 และ 3 จะพบว่าค่าความชื้นของพริกจากแบบจำลองจะมีค่าสูงกว่าค่าที่ได้จากการทดลองเล็กน้อย ซึ่งอาจเป็นผลมาจากการคลาดเคลื่อนของตัวแปรที่ใช้ในแบบจำลอง และแบบจำลองการอบแห้งชั้นบางรวมถึงแบบจำลองความชื้นสมดุลที่ยังมีความคลาดเคลื่อน เมื่อนำค่าความชื้นของผลิตภัณฑ์ที่วัดได้มาเปรียบเทียบกับที่ได้จากการแบบจำลองพบว่า RMSD มีอยู่ในช่วง 3-15 %

จากการทดลองนี้แสดงว่าแบบจำลองสามารถนำไปใช้ในการทำนายค่าสมรรถนะของเครื่องอบแห้งในสภาพของการอบแห้งต่างๆ ได้ค่อนข้างถูกต้อง นอกจากนี้ยังสามารถใช้ในการศึกษา

ผลของตัวแปรต่างๆ ที่มีผลต่อสมรรถนะของเครื่องคอมพิวเตอร์ เช่นจะเป็นประโยชน์ต่อการปรับปรุงสมรรถนะของเครื่องคอมพิวเตอร์ให้ดีขึ้น หรือใช้ในงานด้าน optimization ต่อไปได้

บทที่ 5 สรุป

ในงานวิจัยนี้ผู้วิจัยได้ทำการทดสอบสมรรถนะของระบบอุ่นแห้งพลาสติกที่ใช้ตู้อบแห้งแบบถูกและแพงรับสีดวงอาทิตย์ที่เป็นหลังคาโรงเรือน ระบบอบแห้งดังกล่าวจัดสร้างขึ้นที่วิทยาลัยเกษตรและป่าไม้จำปาสัก เมืองปากเซ แขวงจำปาสัก ประเทศ สปป.ลาว ตามโครงการความร่วมมือระหว่างประเทศไทยกับประเทศสปป.ลาว ระบบอบแห้งนี้ประกอบด้วยแพงรับรังสีดวงอาทิตย์ขนาด 1×6 ตารางเมตร จำนวน 24 แผง แพงรับรังสีดวงอาทิตย์ดังกล่าวติดตั้งอยู่บนหลังคาของโรงเรือนซึ่งเป็นอาคารชั้นเดียว ขนาดพื้นที่ใช้สอย 9×12 ตารางเมตร โดยแพงรับรังสีดวงอาทิตย์นี้ทำหน้าที่เป็นหลังคาของโรงเรือนด้วย สำหรับตู้อบแห้งเป็นแบบถูกโดยผลิตภัณฑ์ที่วางเป็นชั้นบางในถุง และอากาศสามารถ流进 อบแห้งจะถูกเปลี่ยนเป็นแนวทางกับถุง ตู้อบแห้งดังกล่าวมีพื้นที่ของถุงความจุ 25.2 ลิตร ในการอบ ไนดาในด้านของระบบระบายอากาศจะใช้พัดลม DC แบบ axial fan 72 วัตต์จำนวน 2 ตัว ซึ่งใช้กำลังไฟจากแบตเตอรี่โซล่าเซลล์ขนาด 50 วัตต์จำนวน 6 แผง

ผู้วิจัยได้ทำการติดตั้งอุปกรณ์วัดอุณหภูมิ ความชื้น และความเข้มรังสีดวงอาทิตย์ จำนวน 2 ตู้ ในการทดลองใช้ระบบอบแห้งดังกล่าวเพื่ออบแห้งกาแฟจำนวน 3 ครั้ง ในระหว่างวันที่ 9-22 ธันวาคม 2550 ผลการทดลองพบว่าระบบอบแห้งดังกล่าวสามารถใช้อุ่นแห้งกาแฟจำนวน 100 กิโลกรัม จากความชื้นประมาณ 56% (wb) ให้ลดเหลือ 10% (wb) โดยใช้เวลา 2 วันซึ่งเร็วกว่าการอบแห้งโดยการตากแดดตามธรรมชาติซึ่งใช้เวลา 3-4 วัน นอกจากนี้ผู้วิจัยยังได้ทำการทดลองอบแห้งพริกจำนวน 2 ครั้ง ครั้งละ 100 กิโลกรัม ผลการทดลองพบว่าเครื่องอบแห้งนี้สามารถใช้อุ่นแห้งพริกจากความชื้น 74% (wb) ให้ลดเหลือ 14% (wb) โดยใช้เวลา 3 วันซึ่งเร็วกว่าการตากแดดตามธรรมชาติที่ใช้เวลา 7-8 วันและพบว่าผลิตภัณฑ์ที่อบแห้งในระบบอบแห้งนี้ไม่เสียหายจากการเปียกฝนและไม่ถูกรบกวนจากสัตว์และแมลงต่างๆ ผลิตภัณฑ์ที่ได้มีคุณภาพดี

นอกจากนี้ผู้วิจัยยังได้พัฒนาแบบจำลองทางคณิตศาสตร์ของระบบอบแห้งดังกล่าวและได้หา solution ของแบบจำลองดังกล่าวโดยใช้วิธี finite difference หลังจากนี้ได้นำการจำลองไปใช้จำลองการทำงานของเครื่องอบแห้งดังกล่าวด้วยคอมพิวเตอร์ (computer simulation) โดยผลที่ได้พบว่า อุณหภูมิของอากาศจากแพงรับรังสี และความชื้นของผลิตภัณฑ์ ที่คำนวณได้จากแบบจำลองส่วนใหญ่มีค่าใกล้เคียงกับผลที่ได้จากการทดลอง แบบจำลองดังกล่าวสามารถที่จะนำไปใช้ออกแบบขนาดของระบบ ให้เหมาะสมกับสภาพภูมิอากาศในบริเวณใดๆ ได้ และยังสามารถนำไป

ศึกษาผลของตัวแปรต่างๆ ที่มีต่อสมรรถนะของเครื่องอบแห้งเพื่อใช้เป็นแนวทางในการปรับปรุงเครื่องอบแห้งให้ดีขึ้น

จากการทดสอบสมรรถนะของระบบอบแห้งนี้พบว่าอาการที่ออกจากตู้อบแห้งยังมีอุณหภูมิค่อนข้างสูงและความชื้นสัมพัทธ์ต่ำ ซึ่งยังคงมีศักยภาพในการอบแห้งสูงดังนั้นผู้วิจัยจึงเสนอแนะว่าควรขยายขนาดของตู้อบแห้งให้มีความกว้างและความยาวเพิ่มขึ้นเพื่อใช้ประโยชน์สูงของอาคารร้อนที่ได้จากแผงรับรังสีดวงอาทิตย์และทำให้ระบบอบแห้งสามารถใช้อบแห้งผลิตภัณฑ์ได้มากขึ้น

បររលាយករណ

- Bakker –Arkema, F.W. and Hall, C.W., 1974. Drying Cereal Grains. AVT, Westport, Connecticut.
- Bala, B. K., 1998. Solar Drying System, Agrotech Publishing Academy, Udaipur, India.
- Boon-Long, P., Hirun, A., Siriplabbla, P., Therdtoon, P., Sittiphong, N., Siratnapanta,T., Sucharitakul, T., Rerkkriangkrai, P., 1984. Solar-assisted tobacco curing, Proceedings of the Regional Seminar on Solar Drying, 28-31 August 1984, Yogyakarta, Indonesia.
- Duffie, J.A., Beckman, W.A., 1991. Solar Engineering of thermal Processes, John Wiley and sons, New York.
- Exell, R.H.B., Kornsakoo, S., 1976. A low-cost solar rice dryer. Appropriate Technology, 5, 23-25.
- Exell, R.H.B., Tim seasoning with solar energy, Proceedings of the International Conference on Energy and Environment, 27-30 November, Bangkok, Thailand, (1990).
- Hossain, A., 2003. Forced convection solar drying of chilli, A thesis submitted as a part of Farm Power and Machinery at Bangladesh Agricultural University.
- Janjai, S., Doe, P.E., 1991. A simple procedure for computing solar radiation for solar grain dryer simulations, Proceedings of the ISES Congress, 18-24 August 1991, Denver, USA.
- Janjai, S., Hirunlabh, J., 1993. Experimental study of solar fruit dryer, Proceedings of the ISES Solar World Congress, Budapest vol 8, 123-128.
- Janjai, S., Esper, A. and Muhlbauer, W., 1998. A study of the performance of Sipakorn-Hohenheim type solar dryer, ASEAN Seminar and Workshop on Drying Technology, June 3-5, 1998, Phitsanulok, Thailand.
- Janjai, S., Esper, A., Muhlbauer, W., 2000. Development of a small-scaled solar fruit dyer, Research report, Department of Physics, Silpakorn University, Thailand.
- Janjai, S., Chantaraksa, W., Hirunlabh, J, 2001. Performance of a solar dryer for lemongrass, Proceeding of a Symposium on Food Security, 3-7 January, 2001, Chiang Mai, Thailand.
- Janjai, S., Praditwong P, 1999. Performance of a solar fruit dryer, Proceeding of World Renewable Congress, UK.

- Janjai, S. Laksanaboonsong, J. Nunez, M. and Thongsathitya, A. Development of a method for generating operational solar radiation maps from satellite data for a tropical environment. *Solar Energy* 78, pp. 739-751, 2005.
- Janjai, S. and Tung, P. Performance of a solar dryer using hot air from roof-integrated solar collectors for drying herbs and spices, *Renewable Energy* 30, pp. 2085-2095, 2005.
- Janjai, S. Assessment of Solar energy Potentials for Loa's People's Democratic Republic, Research of Department of Alternative Energy Development and Efficiency, Minstry of Energy of Thailand,2007.
- Janjai, S. Assessment of Solar energy Potentials for Cambodia, Research of Department of Alternative Energy Development and Efficiency, Minstry of Energy of Thailand,2008.
- Kays, W.M. and Crawford, M.E. 1980. Convective heat and mass Transfer, 2nd ed., cGraw-Hill, New York, pp. 182-184
- Lutz, K., Muhlbauer, W., Muller, J., Reisinger, G., 1987. Development of Multi-purpose solar crop dryer for arid zones. *Solar Wind Technology* 4, 417-424.
- Muhlbauer, W., 2003. Private communication , Institute of Agricultural Engineering in the Tropics and Subtropics , Hohenheim University , Germany.
- Page, G.E. 1949. Factors influencing the maximum rate of air drying of shelled corn in thin layers. M.S. Thesis, Purdue University, West Lafayette, Indiana.
- Praditwong P., Janjai S., 1990. Performance of a solar drying storage-bin for paddy, Proceedings of World Renewable Energy Congress , Reading, UK.
- Rakwichian, W., and B. Sudaprasert , Developmant of a fruit solar dryer for the industrial scale, proceedings of the International Conference on Energy and Environment, 27-30 Movember 1990, Bangkok Thailand, (1990).
- Rukkwamsuk, P. Private communication, School of Energy and Materials, King Mongkut University of Technology, Bangkok, Thailand, 2005
- Sodha, M.S., 1987. Solar Crop Drying. CRC Press, Boca Raton, Florida.
- Soponronnarit, S., Watabutr, W., Therdyothin, A., 1986. A drying-storage solar hut: The technical aspect. *Renewable Energy Review Journal* 8(1), 49-60.
- Thongprasert, S., Thongprasert, M., Boonyavanichkul, S. Mahittafngkul, J., 1985. An economic study on solar rice dryer, National Energy and Administration, Thailand.

Wibulswas, P., Opaskiatkul, S. Hanpadunghum, S., 1977. Performance of a solar cabinet dryer, Proceeding of Renewable Energy and Application, Bangkok.

Wibulswas, P., Thaina, S., 1980. Comparative performance of cabinet dryers with separate air heaters, Paper presented at the workshop on Fuel and Power in the Third World, Bordeaux, France.

ณัฐวุฒิ คุณภี, 2534. การพัฒนาระบบอบแห้งผลไม้ที่ใช้พลังงานแสงอาทิตย์เป็นพลังงานเสริม, วิทยานิพนธ์ปริญญามหาบัณฑิต, สาขาวิชาโลหะพลังงาน, สถาบันเทคโนโลยีพระจอมเกล้าธนบุรี.

ชาดา แก้วประเสริฐ, 2546. การศึกษาสมรรถนะของเครื่องอบแห้งพลังงานแสงอาทิตย์แบบอุ่นคงค่า ลมที่ใช้แผ่นโพลีคาร์บอเนตเป็นผนววนป้องกันความชื้น, วิทยานิพนธ์ปริญญามหาบัณฑิต, สาขาวิชาฟิสิกส์, มหาวิทยาลัยศิลปากร.

ภาคผนวกที่ 1

การสร้างระบบอบแห้ง

ระบบอบแห้งนี้ประกอบไปด้วยตู้อบแห้งและแผงรับรังสีคิวองอาทิตย์ ดำเนินการสร้างที่ภาควิชาฟิสิกส์ คณะวิทยาศาสตร์ มหาวิทยาลัยศิลปากร จังหวัดนครปฐม จากนั้นได้นำรุ่นที่ 1 ติดตั้งที่ วิทยาลัยเกษตรและป่าไม้จำปาสัก เมืองปากเซ แขวงจำปาสัก ประเทศ สปป.ลาว โดยผู้วิจัยได้ร่วมในการสร้างและติดตั้งระบบอบแห้งดังกล่าวตามรายละเอียดดังนี้

A1.1 แผงรับรังสีคิวองอาทิตย์

แบ่งแผงรับรังสีแต่ละแผงเป็น 2 ส่วน โดยส่วนแรกมีความยาว 2.44 เมตร และส่วนที่สอง ยาว 3.56 เมตร ทั้งนี้เพื่อให้สะดวกในการขนส่งและการนำเข้าไปประกอบบนหลังคาโรงอบแห้ง

ในการสร้างแผงรับรังสีคิวองอาทิตย์แต่ละแผงจะเริ่มจาก สร้างโครงซึ่งทำด้วยเหล็กกล่องมีพื้นที่หน้าตัดเป็นรูปสี่เหลี่ยม จากนั้นจะบุด้านล่างด้วยแผ่นสังกะสี และทำการบรรจุโฟมเนื้อแน่น ลงบนแผ่นสังกะสีแล้วปิดด้านบนด้วยแผ่นสังกะสีอีกแผ่นหนึ่ง หลังจากนั้นทาสีดำด้านบนแผ่นสังกะสีเพื่อให้สามารถดูดกลืนรังสีคิวองอาทิตย์ได้ดี ส่วนแผ่นโพลีкарบอเนตจะนำเข้าไปปิดหลังจากนำแผงรับรังสีขึ้นไปวางบนโครงหลังคาแล้ว



รูปที่ A1.1 แสดงโครงของแผงรับรังสีคิวองอาทิตย์ของระบบอบแห้ง

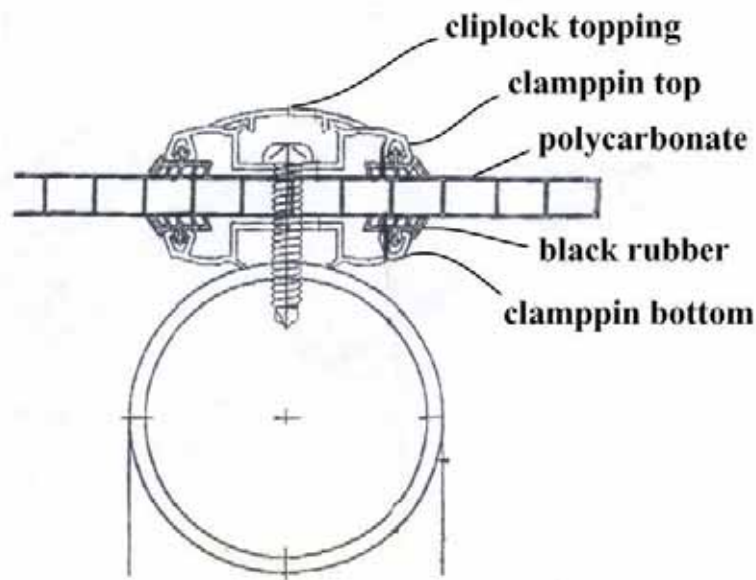


รูปที่ A1.2 แสดงแพงรับรังสีดวงอาทิตย์ซึ่งสร้างที่โรงฝึกงานของภาควิชาฟิสิกส์มหาวิทยาลัยศิลปากร



รูปที่ A1.3 แสดงแพ่นโพลีкар์บอเนตสำหรับใช้เป็นแพ่นปิดแพงรับรังสีดวงอาทิตย์

เนื่องจากการสร้างเครื่องอบมีขนาดใหญ่จำเป็นต้องใช้แผ่นโพลีкар์บอเนตหลายแผ่น ดังนั้นจึงเชื่อมต่อกันด้วยชุดเชื่อมรอยต่ออะลูมิเนียมสำเร็จรูป ดังแสดงในรูปที่ 3.6



รูปที่ A1.4 แสดงลักษณะของชุดเชื่อมต่ออะลูมิเนียม สำหรับเชื่อมรอยต่อระหว่างแผ่นโพลี
คาร์บอเนต

A1.2 ตู้อบแห้ง

ตู้อบมีลักษณะเป็นชั้นๆ โดยวางผลิตภัณฑ์บนถาดแบบชั้นบาง ตู้อบแห้งคั่งกล่าวประกอบด้วย ส่วนบรรจุผลิตภัณฑ์ และส่วนซ่อมรักษาระยะอากาศ โดยส่วนบรรจุผลิตภัณฑ์ มีขนาดกว้าง 0.8 เมตร ยาว 2.4 เมตร และสูง 1.8 เมตร มีประตูปิดเปิดด้านหน้า สำหรับนำผลิตภัณฑ์เข้าออก สำหรับ ส่วนรักษาระยะอากาศจะอยู่ใต้ส่วนบรรจุผลิตภัณฑ์ มีขนาดกว้าง 0.8 เมตร ยาว 0.6 เมตร และสูง 1.8 เมตร



รูปที่ A1.5 แสดงการสร้างโครงสร้างของตู้อบอบแห้งแบบถาด

A1.3 ໂຮງອນແຫ່ງ

ສຕານທີ່ສ້າງໂຮງອນແຫ່ງອູ່ທີ່ວິທາລັບເກຍດຽກຮ່ອງຮຽມປະຈຳແບວງຈຳປາສັກ ເມືອງປາກເຊ ແຂວງຈຳປາສັກ ສປປ.ລາວ ໃນກາຮ່າງໂຮງເຮືອນນີ້ຈະເຮີຍກວ່າ ໂຮງອນແຫ່ງ ໂດຍຈະເຮີ່ມດ້ວຍກາຮ່າງສູງ ໂຮງເຮືອນ ດ້ານບນຈະເຂື່ອມຄານເຫັນທີ່ມະຫວາງເສາແຕ່ລະຕິ່ນແລະເຂື່ອມຄານຢ່ອຍບນຄານເຫັນ ເພື່ອໃຊ້ ໃນກາຮ່າງແຜງຮັບຮັງສຶຄວງອາທິຍ໌ ຈາກນັ້ນນຳແຜງຮັບຮັງສຶຄວງອາທິຍ໌ແຕ່ລະແຜງຊື່ງສ້າງສຳເຮັງແລ້ວຈຶ່ນໄປວາງກັນຄານຂອງໂຮງອນແຫ່ງຈຳຄນບຸກແຜ ແລ້ວຈາກນັ້ນຈະນຳແຜ່ນ ໂພລີກາຮົນອນເນັດໄປປົດດ້ານບນ ໂດຍໄຫ້ບອນຂອງແຜ່ນ ໂພລີກາຮົນອນເນັດໄສແຕ່ລະແຜງວາງຕ່ອກັນແລ້ວໃຊ້ຊຸດຂະລຸມເນີຍມເຂື່ອມຮອຍຕ່ອເພື່ອ ເຂື່ອມຮອຍຕ່ອອົງແຜ່ນ ໂພລີກາຮົນອນເນັດແຕ່ລະແຜງ ສຸດທ້າຍສ້າງທ່ອອາກາສໃຫ້ຈ່ວຂອງໂຮງອນແຫ່ງ ຜຶ່ງທຳ ຈາກຂະລຸມເນີຍມທີ່ມີໂຟມເນື້ອແນ່ນອູ່ກາຍໃນ ສຳຫັບນໍາອາກາສລົງນາໃຊ້ໃນເຄື່ອງອນແຫ່ງ



ຮູບທີ່ A1.6 ແສດງກາຮ່າງອາກາຮອນແຫ່ງ



รูปที่ A1.7 แสดงการนำแผงรับรังสีดวงอาทิตย์ขึ้นไปติดตั้งบนโครงหลังคา



รูปที่ A1.8 แสดงการติดตั้งแผงรับรังสีดวงอาทิตย์



รูปที่ 3.13 แสดงภาพถ่ายของห้องน้ำอาคารจากแพรับรังสีด้วงอาทิตย์มายังตู้อบแห้ง

เครื่องดังกล่าวจะสร้างที่โรงฝึกงานของภาควิชาพลิกส์ มหาวิทยาลัยศิลปากรแล้วจึงขนย้ายไปติดตั้งในโรงอบแห้งวิทยาลัยเกษตรกรรมประจำแขวงจำปาศัก เมืองปากเซ แขวงจำปาศัก สปป. ลาว



รูปที่ 2.53 แสดงภาพถ่ายส่วนประกอบของเครื่องอบแห้ง เพื่อขนส่งไป สปป.ลาว



รูปที่ 2.54 แสดงภาพถ่ายการขนอุปกรณ์จากโรงฝึกงาน ภาควิชาพิสิกส์ มหาวิทยาลัยศิลปากร เพื่อส่งไปยัง สปป.ลาว



รูปที่ 2.55 แสดงภาพถ่ายการขนอุปกรณ์ลงที่สถานที่ก่อสร้างด้วยแบบที่วิทยาลัยเกษตรกรรมและป่าไม้จำปาสัก

ภาคผนวกที่ 2

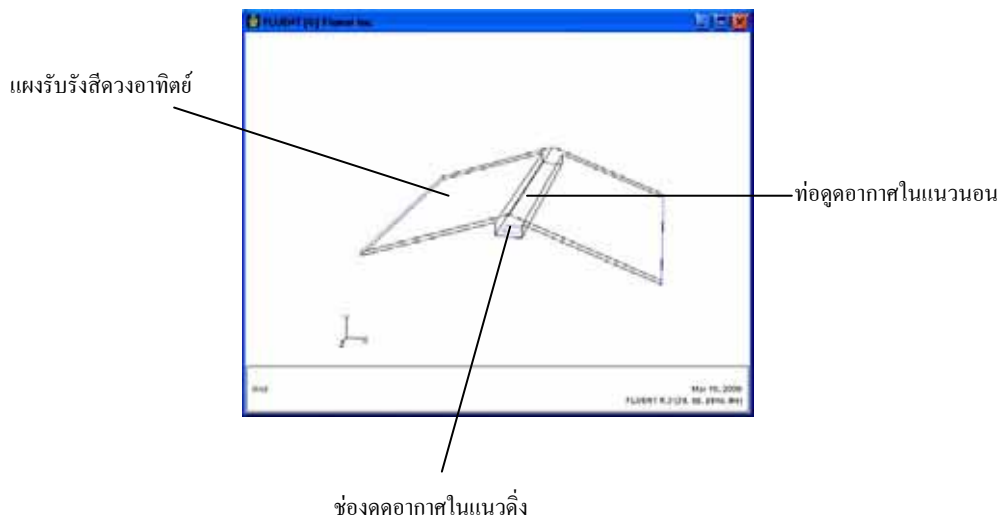
การทดสอบสมรรถนะเบื้องต้นของระบบลมแห้งด้วยโปรแกรมคอมพิวเตอร์

การทดสอบสมรรถนะเบื้องต้นของระบบลมแห้งด้วยโปรแกรมคอมพิวเตอร์ CFD (Computational Fluid Dynamics) โดยจะแบ่งโครงสร้างให้เป็น grid ในโปรแกรม GAMBIT ก่อน จากนั้นนำรันในโปรแกรม Fluent เพื่อทำการกระจายของอุณหภูมิ ขนาดและทิศทางการไหลของอากาศที่ตำแหน่งต่างๆของระบบลมแห้ง โดยจะแยกพิจารณาเป็นสองส่วน คือ แรงรับรังสีดวงอาทิตย์ และตู้อบแห้ง

A2.1 แรงรับรังสีดวงอาทิตย์

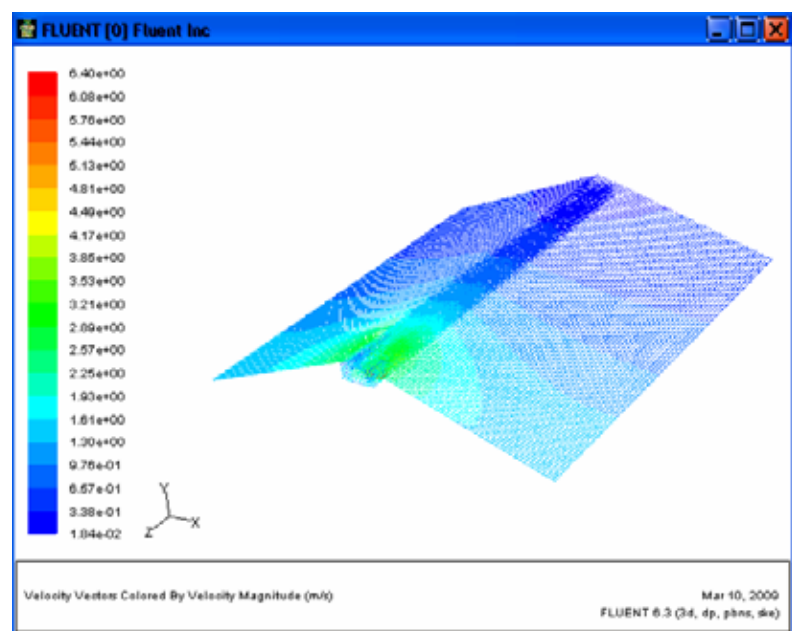
แรงรับรังสีดวงอาทิตย์เมื่อได้รับรังสีดวงอาทิตย์จะทำให้อากาศภายในร้อน จากนั้นใช้พัดลมไฟฟ้ากระแสตรงดูดอากาศร้อนดังกล่าวไปยังตู้อบแห้ง โดยมีแรงขับเคลื่อนเป็นแหล่งกำเนิดไฟฟ้าให้กับพัดลม แรงรับรังสีดวงอาทิตย์นี้มีพื้นที่รับแสงรวม 144 ตารางเมตร แบ่งเป็นสองด้าน ด้านละ 72 ตารางเมตร ประกอบกันเป็นรูปสามเหลี่ยมหน้าจั่ว มีมุมที่ฐานประมาณ 30 องศา วางตัวในแนวตะวันออก ตะวันตกเพื่อรับรังสีดวงอาทิตย์ได้มากที่สุดทั้งปี

ส่วนของโปรแกรม Fluent จะกำหนดให้ความเร็วลมที่ดูดอากาศเท่ากับ 7 เมตรต่อวินาที พื้น (bottom) ของตัวรับแสง custody ความร้อนเท่ากับ 300 วัตต์ต่อตารางเมตร อุณหภูมิของอากาศที่เข้าเท่ากับ 27 องศาเซลเซียส ผลการวิเคราะห์แสดงดังรูปที่ A2.1-A2.3

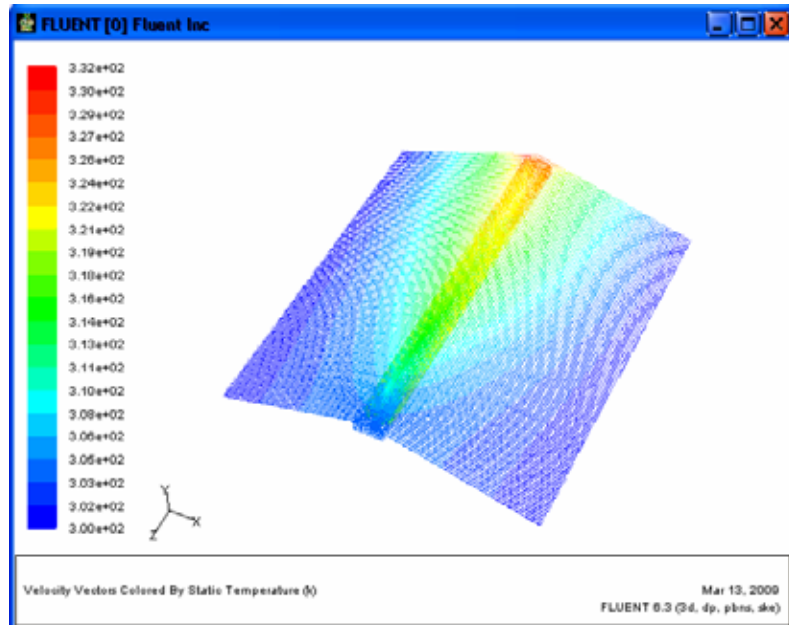


รูปที่ A2.1 แสดงโครงสร้างของแผงรับรังสีคิววิงอาทิตย์ ซึ่งมีตำแหน่งช่องดูดอากาศในแนวตั้งอยู่
เยื่องไปทางผนังด้านข้างของโรงอบแห้ง (เป็นตำแหน่งที่ใช้งานจริง)

จากนั้นทำการรันโปรแกรม ได้ผลของการวิเคราะห์ความเร็วและทิศทางการไหลของอากาศ อุณหภูมิ
ของอากาศในแต่ละตำแหน่งของระบบอบแห้ง ดังรูปที่ 2-3



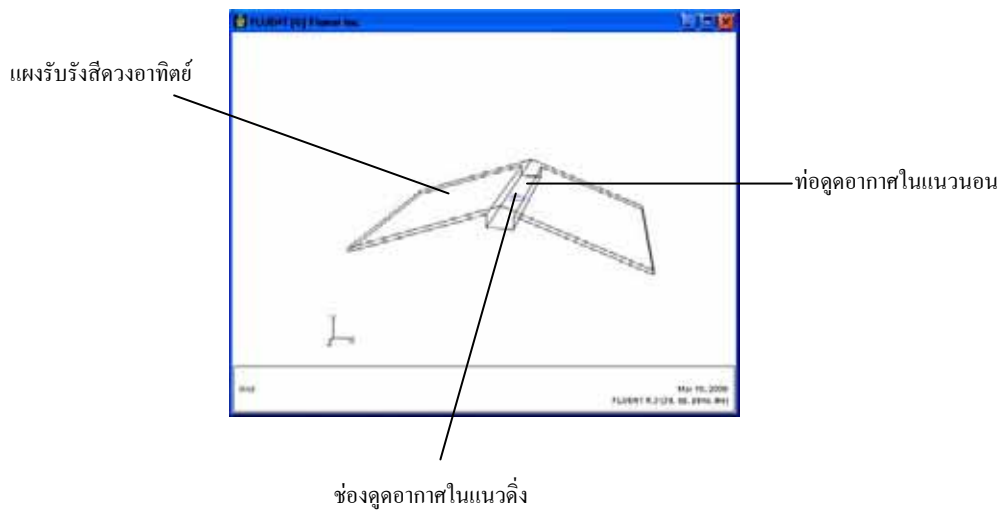
รูปที่ A2.2 แสดงขนาดและทิศทางการไหลของอากาศในตำแหน่งต่างๆ ซึ่งมีตำแหน่งช่องดูด
อากาศในแนวตั้งอยู่เยื่องไปทางผนังด้านข้างของโรงอบแห้ง (ตำแหน่งที่ใช้งานจริง)



รูปที่ A2.3 แสดงอุณหภูมิของอากาศที่ตำแหน่งต่างๆ ของแพลงรับรังสีดวงอาทิตย์ซึ่งมีตำแหน่งซ่องคูดอากาศในแนวดิ่งอยู่เยื้องไปทางผนังด้านข้างของโรงอบแห้ง (ตำแหน่งที่ใช้งานจริง)

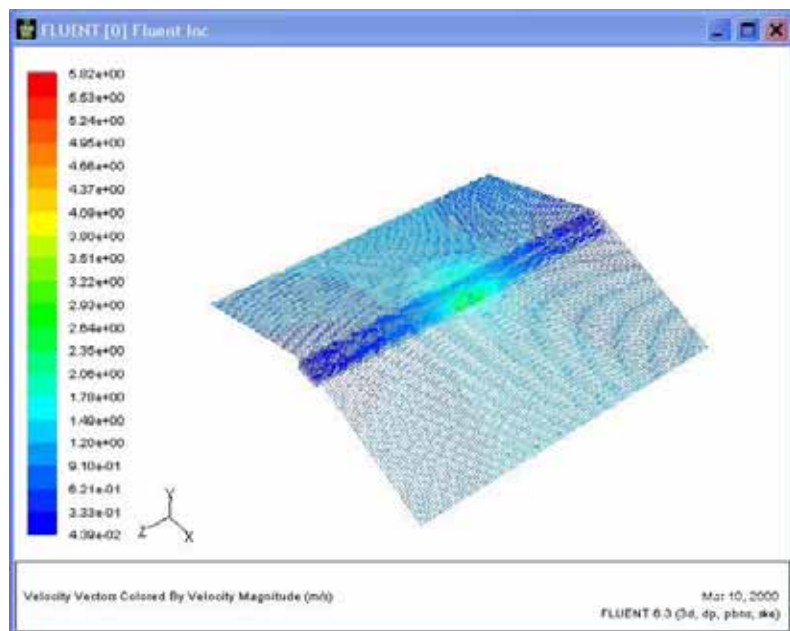
พิจารณาขนาดและทิศทางการไหลของอากาศ อากาศจะถูกดูดเข้าทางชายคาชีน ไปจนถึงจั่วหลังคาจากนั้น ไหลไปยังท่อคูดอากาศในแนวอนและสุดท้ายจะถูกดูดผ่านช่องคูดอากาศในแนวดิ่ง พิจารณาบริเวณท่อคูดอากาศในแนวอนส่วนที่อยู่ใกล้กับช่องคูดอากาศในแนวดิ่งจะมีความเร็วมากกว่าตำแหน่งอื่น ส่งผลให้อุณหภูมิของอากาศบริเวณนี้มีค่าต่ำกว่าอีกด้านหนึ่งเนื่องจากความเร็วและอุณหภูมิอากาศยังการกระจายตัวได้ไม่ดีทำให้ได้ประโยชน์จากการแพลงรับรังสีดวงอาทิตย์ไม่เต็มที่

เพื่อหาโครงสร้างที่เหมาะสมผู้วิจัยจึงได้เปลี่ยนโครงสร้างต่างๆ ของแพลงรับรังสีดวงอาทิตย์ เพื่อหาโครงสร้างที่ทำให้การกระจายตัวของอากาศสม่ำเสมอมากขึ้น ดังจะเสนอในรูปที่ 4-6

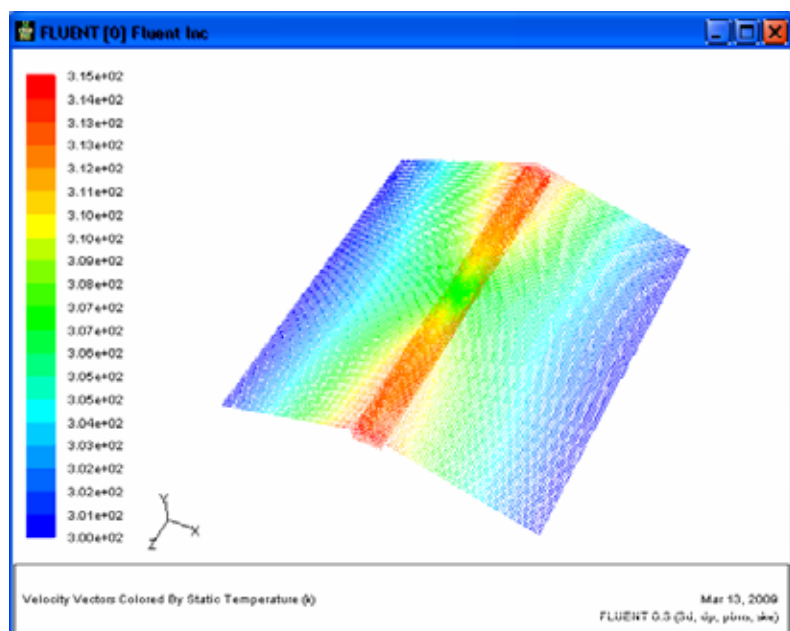


รูปที่ A2.4 แสดงโครงสร้างของแผนรับรังสีคิวองอาทิตย์ กรณีที่ช่องดูดอากาศในแนวตั้งอยู่กึ่งกลาง โรงอบแห้ง

จากรูปที่ A2.4 ช่องดูดอากาศอยู่กางของหลังคา กำหนดให้ความเร็วลมที่ดูดอากาศอากาศเท่ากับ 7 เมตรต่อวินาที พื้น (bottom) ของตัวรับแสงความร้อนเท่ากับ 300 วัตต์ต่อตารางเมตร อุณหภูมิของอากาศที่เข้าเท่ากับ 27 องศาเซลเซียส จากนั้นทำการรันโปรแกรมได้ผลของขนาดและทิศทางการไหลของอากาศอุณหภูมิของอากาศในแต่ละตำแหน่งของระบบօรงอบแห้งดังรูปที่ A2.5-A2.6



รูปที่ A2.5 แสดงขนาดและทิศทางการไหลของอากาศในตำแหน่งต่างๆ กรณีที่ช่องดูดอากาศในแนวคิ่งอยู่กึ่งกลางโรงอบแห้ง

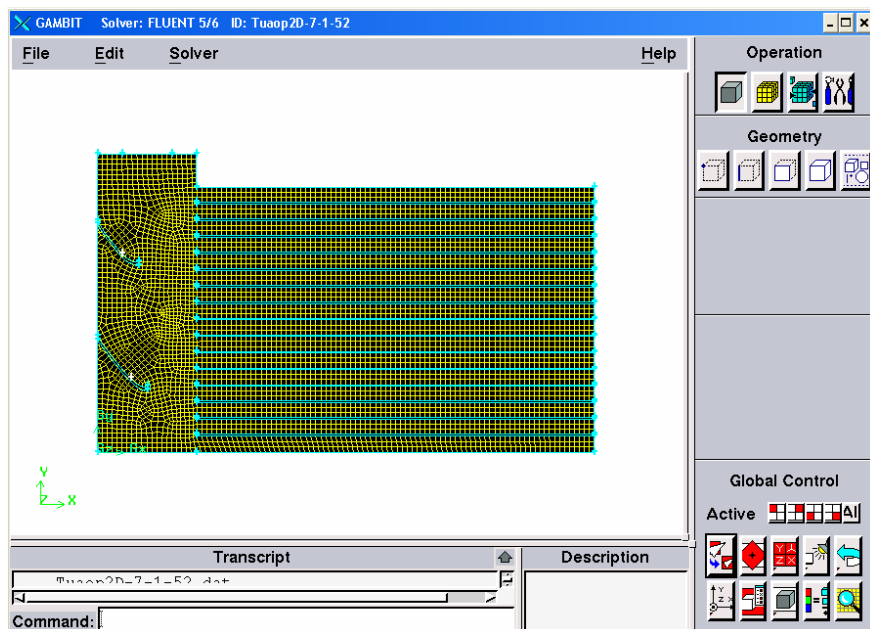


รูปที่ A2.6 แสดงอุณหภูมิของอากาศที่ตำแหน่งต่างๆ ของแพรวับรังสีดวงอาทิตย์กรณีที่ช่องดูดอากาศในแนวคิ่งอยู่กึ่งกลางโรงอบแห้ง

พิจารณาบริเวณท่อดูดอากาศในแนวโนนขนาดของความเร็วลมจะมีค่าใกล้เคียงกันทั้งสองด้าน ส่งผลให้อุณหภูมิของอากาศสม่ำเสมอ ทำให้ได้ประโยชน์จากแรงรับรังสีดวงอาทิตย์เต็มที่

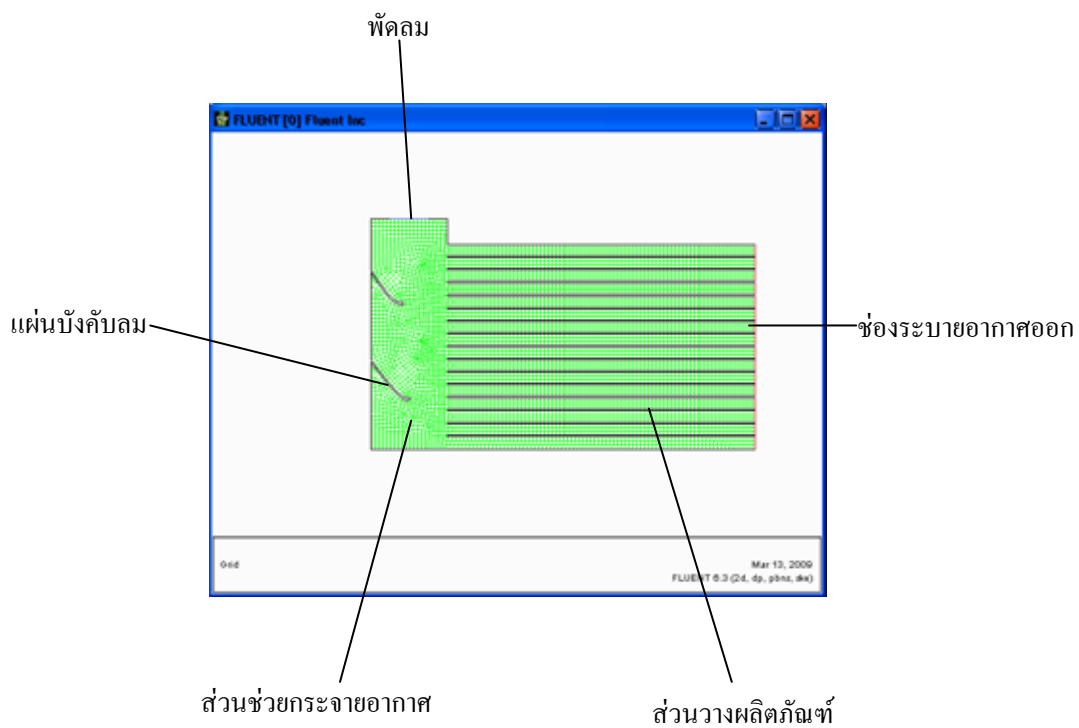
A2.2 ตู้อบแห้ง

ผู้วิจัยเริ่มต้นสร้าง grid ในโปรแกรม GAMBIT โดยส่วนของตู้อบจะมีภาคเป็นชั้นโดยวางผลิตภัณฑ์บนภาคแบบชั้นบางและให้อาหารร้อนไฟฟ้าผ่านผลิตภัณฑ์จากด้านข้าง มีแผ่นบังคับลมเพื่อช่วยให้อากาศไหลอย่างสม่ำเสมอ ตู้อบดังกล่าวประกอบด้วย 2 ส่วน ได้แก่ ส่วนบรรจุผลิตภัณฑ์ และส่วนซึ่งกระจายอากาศ โดยส่วนบรรจุผลิตภัณฑ์ มีขนาดกว้าง 0.8 เมตร ยาว 2.4 เมตร และสูง 1.8 เมตร มีประตูปิดเปิดด้านหน้า สำหรับนำผลิตภัณฑ์เข้าออก สำหรับส่วนกระจายอากาศจะอยู่ใต้ส่วนบรรจุผลิตภัณฑ์ มีขนาดกว้าง 0.8 เมตร ยาว 0.6 เมตร และสูง 1.8 เมตร ดังรูปที่ A2.7

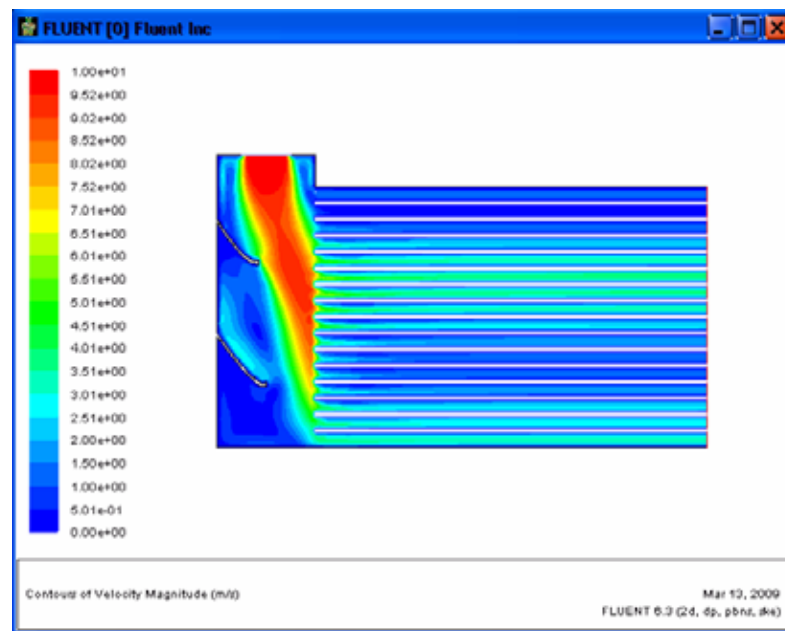


รูปที่ A2.7 แสดงการสร้าง grid ของตู้อบแห้งด้วยโปรแกรม GAMBIT

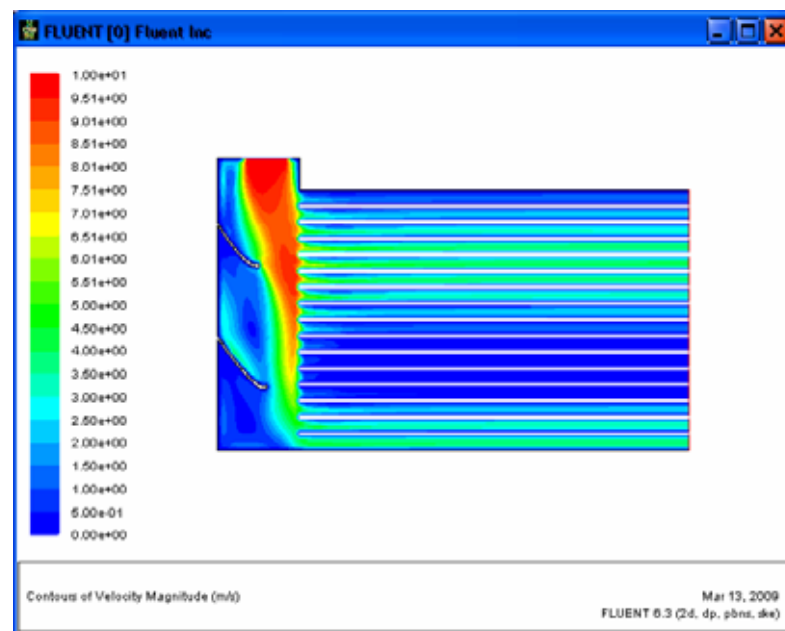
เนื่องจากตู้อบมีความสมมาตร ดังนั้นจึงสร้างโครงสร้างแบบสองมิติเพื่อพิจารณาขนาดและทิศทางการไหลของอากาศ ดังรูปที่ A2.8



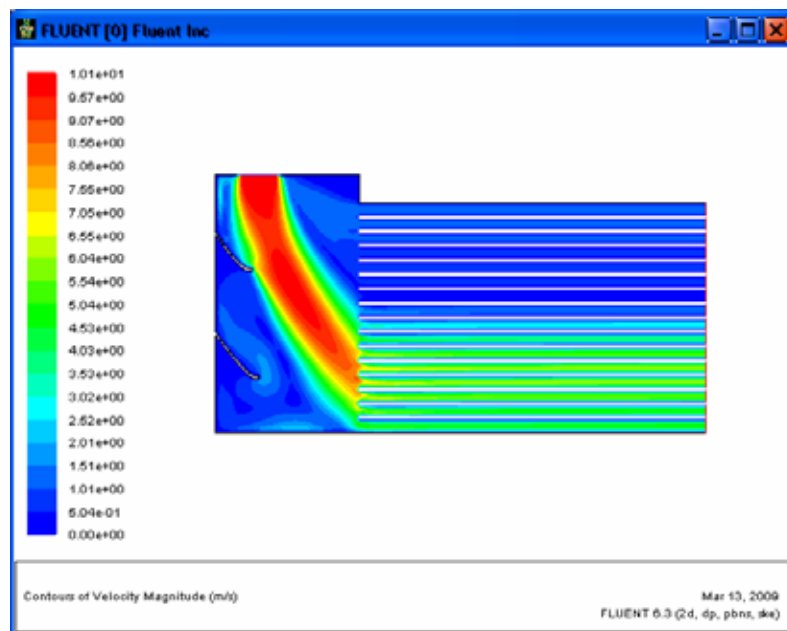
รูปที่ A2.8 แสดง grid ของตู้อบแห้ง กรณีส่วนช่วยกระจายอากาศ 0.6 เมตร



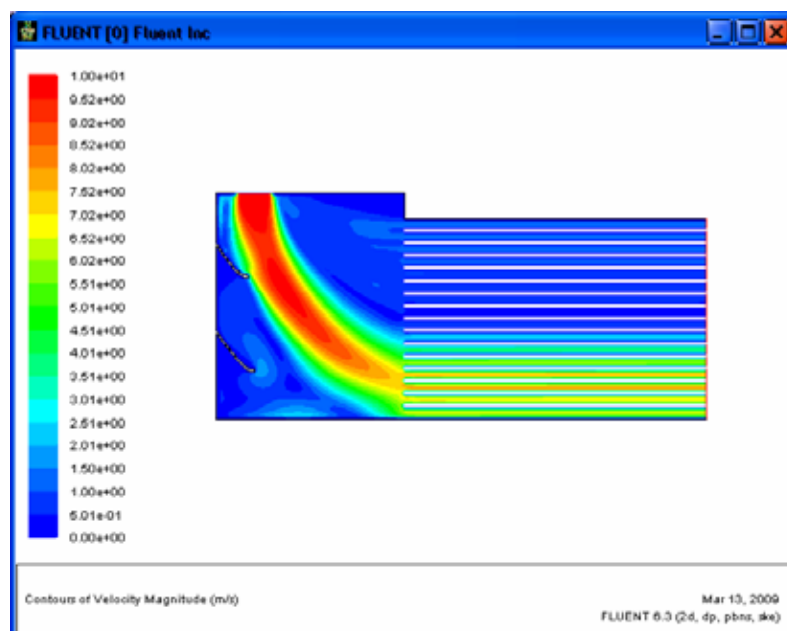
รูปที่ A2.9 แสดงขนาดและทิศทางของอากาศที่ตำแหน่งต่างๆกรณีส่วนช่วยกระจายอากาศ 0.6 เมตร ผู้วิจัยได้ทำการแปรค่าความกว้างของส่วนช่วยระบายอากาศให้มีความกว้าง 0.5 เมตร 1.0 เมตร 1.5 เมตร และศึกษาการกระจายตัวของขนาดและทิศทางการไหลของอากาศ ผลที่ได้แสดงดังรูปที่



รูปที่ A2.10 แสดงขนาดและทิศทางของอากาศตำแหน่งต่างๆกรณีส่วนช่วยกระจายอากาศ 0.5 เมตร



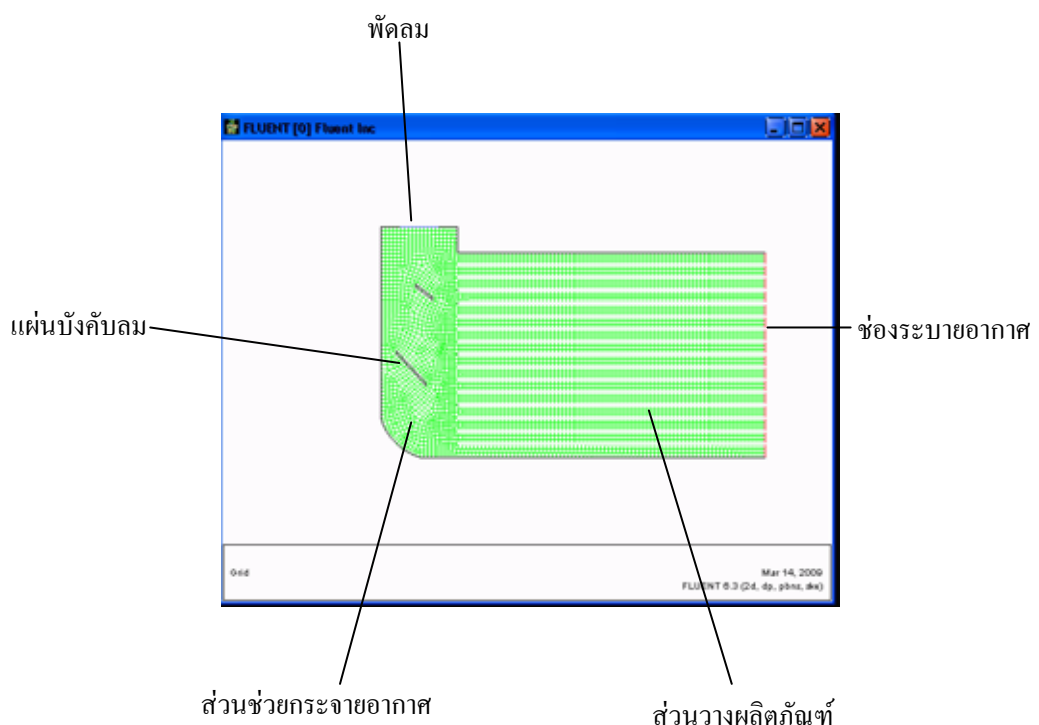
รูปที่ A2.11 แสดงขนาดและทิศทางของอากาศตำแหน่งต่างๆกรณีส่วนช่วงระหว่างจายอากาศ 1.0 เมตร



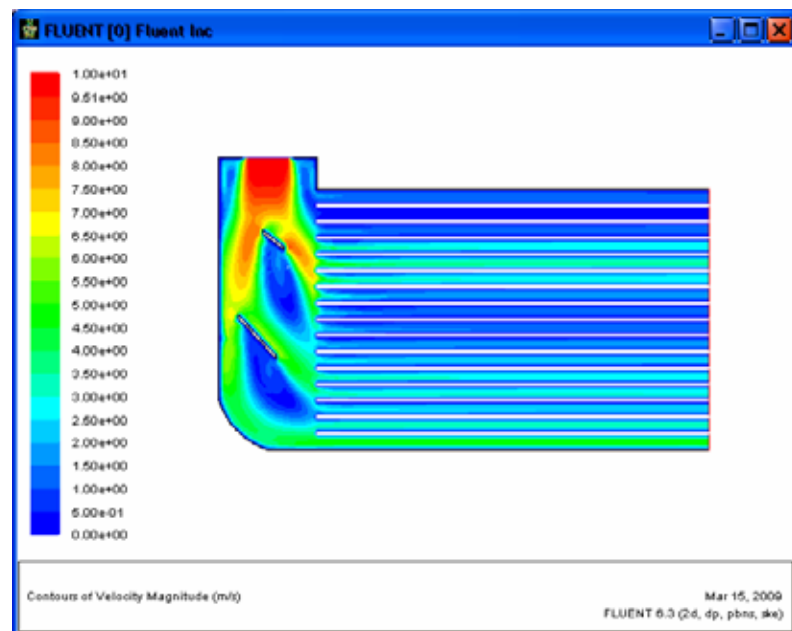
รูปที่ A2.12 แสดงขนาดและทิศทางของอากาศตำแหน่งต่างๆกรณีส่วนช่วงระหว่างจายอากาศ 1.5 เมตร

พิจารณาการกระจายตัวของอากาศแบบต่างๆ พนบว่าส่วนพักอากาศยาว 0.6 เมตรทำให้อากาศกระจายตัวดีที่สุด เมื่อขยายส่วนช่วยกระจายให้ยาวมากกว่า 0.6 เมตรความเร็วของอากาศด้านล่างของตู้อบจะมากกว่าด้านบนของตู้อบ เมื่อลดส่วนช่วยกระจายสั้นกว่า 0.6 เมตร ความเร็วของอากาศด้านบนของตู้อบจะมีขนาดมากกว่าด้านล่างของตู้อบ

นอกจากนี้ผู้วิจัยยังทำการประค่าขนาดของแผ่นบังคับลมตามรูปที่ A2.13 ได้ผลการกระจายตัวของขนาดและทิศทางของอากาศดีที่สุดดังรูปที่ A2.14



รูปที่ A2.13 แสดง grid ของตู้อบแห่งกรณีส่วนช่วยกระจายอากาศ 0.6 เมตร (เป็นแบบที่ใช้งานจริง)



รูปที่ 3.44 แสดงขนาดและทิศทางของอากาศที่ตำแหน่งต่างๆ กรณีส่วนช่วยกระจายอากาศ 0.6 เมตร
(เป็นแบบที่ใช้งานจริง)

ประวัติผู้วิจัย

ชื่อ	นายอาทิตย์ สารสมบูรณ์
ที่อยู่	283/232154 หมู่ 1 ตำบลตลาดหญ้า อำเภอเมือง จังหวัดกาญจนบุรี 71190
ประวัติการศึกษา	
พ.ศ.2544	จบมัธยมศึกษาปีที่ 6 โรงเรียนวัดวิสุทธารังษี อำเภอเมือง จังหวัดกาญจนบุรี
พ.ศ.2548	จบการศึกษาระดับปริญญาบัณฑิต สาขาวิชาฟิสิกส์ มหาวิทยาลัยศิลปากร จังหวัดนนทบุรี
พ.ศ.2549	ศึกษาต่อระดับปริญญาวิทยาศาสตร์มหาบัณฑิต สาขาวิชาฟิสิกส์ มหาวิทยาลัยศิลปากร จังหวัดนนทบุรี